

UNIVERSIDAD NACIONAL AUTONOMA DE MEXICO

FACULTAD DE CIENCIAS



**Aplicación de Dos Tipos de Control
al Modelo Matemático
de un Colector Solar Tipo Canal
Parabólica**

Tesis que para obtener el título de

F I S I C O

presenta:

Víctor Enrique Delgado Cervantes

México, 1985



Universidad Nacional
Autónoma de México



UNAM – Dirección General de Bibliotecas Tesis Digitales Restricciones de uso

DERECHOS RESERVADOS © PROHIBIDA SU REPRODUCCIÓN TOTAL O PARCIAL

Todo el material contenido en esta tesis está protegido por la Ley Federal del Derecho de Autor (LFDA) de los Estados Unidos Mexicanos (México).

El uso de imágenes, fragmentos de videos, y demás material que sea objeto de protección de los derechos de autor, será exclusivamente para fines educativos e informativos y deberá citar la fuente donde la obtuvo mencionando el autor o autores. Cualquier uso distinto como el lucro, reproducción, edición o modificación, será perseguido y sancionado por el respectivo titular de los Derechos de Autor.

INDICE

CAPITULO 1

INTRODUCCION.

1.1	Comentarios sobre la utilización de la energía solar.	1.1
1.2	Ubicación de este trabajo dentro del contexto general del proyecto colector solar.	1.1
1.3	Objetivos de este trabajo.	1.3
1.4	Estructura de este trabajo.	1.4

CAPITULO 2

SISTEMA DEL GENERADOR SOLAR.

2.1	Introducción.	2.1
2.2	Generador Solar.	2.1
2.2.1	Descripción y funcionamiento del generador.	2.1
2.3	Colector Solar.	2.4
2.3.1	Descripción y funcionamiento de un tubo colector.	2.4
2.3.2	Modelo matemático de un tubo colector.	2.6
2.3.2.1	Balance energético para el tubo envolvente.	2.9
2.3.2.2	Balance energético para el tubo absorbedor.	2.13
2.3.2.3	Balance energético para el fluido.	2.16
2.3.3	Modelo de parámetros concentrados.	2.20
2.3.4	Parámetros físicos del colector.	2.25
2.3.5	Condiciones de operación.	2.27

CAPITULO 3

DEDUCCION DE UNA FORMULA DE CONTROL PARA LA TEMPERATURA DE SALIDA DEL COLECTOR SOLAR.

3.1	Introducción.	3.1
3.2	Propiedades de las soluciones en estado estacionario.	3.2
3.3	Primera solución aproximada en estado estacionario.	3.11
3.4	Otras simplificaciones a la solución en estado estacionario.	3.18

CAPITULO 4

APLICACION DE LA FORMULA DE CONTROL PARA ESTADO ESTACIONARIO AL MODELO DEL COLECTOR SOLAR.

4.1	Introducción.	4.1
4.2	Obtención de los parámetros de la fórmula de control.	4.1
4.3	Aplicación de la fórmula de control al modelo del colector.	4.6
4.3.1	Introducción.	4.6
4.3.2	Tiempos de respuesta del sistema. Intervalo de muestreo.	4.6
4.3.3	Pruebas con los parámetros A y B.	4.19
4.4	Conclusiones.	4.29

CAPITULO 5

CONTROLADORES AUTOAJUSTABLES.

5.1	Introducción.	5.1
5.2	Controladores de varianza mínima.	5.3
5.3	Controladores autoajustables.	5.8
5.3.1	Caso de controlador autoajustable con componente continua y perturbación medible.	5.10

CAPITULO 6

APLICACION DE UN CONTROLADOR AUTOAJUSTABLE AL MODELO DEL COLECTOR SOLAR.

6.1	Introducción.	6.1
6.2	Un cambio de variable.	6.2
6.3	Aplicación del control al modelo del colector solar.	6.3
6.4	Comparación del control para estado estacionario con el controlador autoajustable.	6.4

CAPITULO 7

CONCLUSIONES.

7.1

APENDICE A. Descripción de programas y diagrama de flujo del programa COLECT.FOR

APENDICE B. Identificación por mínimos cuadrados.

Referencias.

CAPITULO 1

INTRODUCCION

1.1 Comentarios sobre la utilización de la energía solar.

Una solución alternativa a la crisis de energéticos (principalmente de petróleo, gas natural, carbón y madera) que se ha venido acelerando en los últimos años, es la utilización de la energía solar para su conversión en energía mecánica y/o eléctrica.

En países industrializados como Estados Unidos, Francia, Alemania Occidental, Japón, etc. la investigación en el campo del aprovechamiento de la energía solar ha tenido gran importancia y apoyo desde hace varias décadas.

En el Instituto de Ingeniería de la Universidad Nacional Autónoma de México (IIUNAM) a partir de los primeros años de la década de los setentas se iniciaron proyectos a largo plazo en el campo del aprovechamiento de la energía solar con el fin de preparar personal y crear las bases necesarias para tener la capacidad técnica suficiente que permitiera la construcción de dispositivos fototermomecánicos capaces de transformar energía solar en energía eléctrica y/o mecánica.

1.2 Ubicación de este trabajo dentro del contexto general del proyecto colector solar.

Uno de los resultados de los estudios realizados en el IIUNAM (1,2) fue el de diseñar y construir un generador solar para la conversión de energía solar en energía mecánica y ésta a su vez en energía eléctrica. Ese generador está basado en captadores solares de concentración, por ser los dispositivos con mayor eficiencia y la solución más adecuada técnica y económicamente para el país.

Para elaborar el programa de trabajo se consideró al sistema total (generador) dividido en cinco subsistemas:

1. Subsistema solar.
2. Subsistema termodinámico.
3. Subsistema mecánico.
4. Subsistema eléctrico.
5. Subsistema de control.

1. Subsistema solar.

Incluye la parte relativa a elementos físicos del sistema: tubos, tanques, colectores, absorbedores, seguidores, superficies reflejantes y selectivas, medición de radiación y adquisición de datos.

2. Subsistema termodinámico.

Incluye la parte relativa al estudio de las diferentes alternativas de ciclos de trabajo y flujos de trabajo, haciendo estudios teóricos y experimentales de detalle de las diversas partes que componen al generador, tales como: el generador de vapor, sistema de almacenamiento térmico e intercambiadores de calor llegando hasta el arreglo final de este subsistema.

3. Subsistema mecánico.

Incluye la parte relativa a comparar los diversos expansores disponibles en el mercado y seleccionar el óptimo para el generador, construir un motor rotatorio de 35 KW, seleccionar otras componentes mecánicas tales como la bomba de expansión y un volante de inercia.

4. Subsistema eléctrico.

Incluye la parte relativa al estudio de las características eléctricas del generador, análisis de interruptores, controles, reguladores, almacenamiento eléctrico, arrancadores y cargadores de baterías llegando hasta el arreglo final de este subsistema.

5. Subsistema de control.

Incluye el diseño del sistema de adquisición de datos y control en tiempo real que comprende la determinación de los puntos de adquisición de datos y control, selección de los elementos sensores y actuadores, desarrollo de los algoritmos de control, integración, implantación y prueba

del sistema generador solar.

Como, el nombre del trabajo lo indica, este estudio se encuentra ubicado dentro del subsistema de control, en particular dentro del punto de desarrollo de algoritmos de control.

1.3 Objetivos de este trabajo.

De una manera simple, se puede decir que el funcionamiento de un generador solar de captadores de concentración está basado en el balance energético entre la energía solar "capturada" por los captadores y la energía (térmica) cedida tanto al fluido de trabajo que circula por los mismos como al medio ambiente. Cabe mencionar aquí que en realidad, dentro del sistema completo del generador solar la energía total cedida al medio ambiente no se debe exclusivamente a los captadores, en todos los elementos del sistema se tiene una pérdida de energía en mayor o menor grado hacia el medio ambiente (por ejemplo, en los tubos de comunicación entre las diferentes partes del sistema por las que circula el fluido de trabajo, en el tanque de almacenamiento, etc.). En ese balance energético está basado el diseño del generador solar del IIUNAM.

Para simplificar su estudio el modelo del generador (capítulo 2) se dividió en varias partes, una de las cuales es una red de colectores solares tipo canal parabólica (captador de concentración). El estudio del control del flujo en uno de estos colectores es la parte central de este trabajo.

Como se verá en la descripción del sistema generador y su funcionamiento (capítulo 2), un punto importante dentro de la operación de todo el sistema es el control de la velocidad con la que el fluido de trabajo del sistema pasa a través de los colectores, por lo que se marcaron como objetivos de este estudio los siguientes puntos:

1. Conocer y manejar las técnicas de los controladores autoajustables.
2. Aplicar un controlador autoajustable al modelo matemático de un colector solar tipo canal parabólica.
3. Aplicar un controlador de estado estacionario al colector solar en su evolución dinámica en un día promedio.
4. Comparar los resultados de los puntos 2 y 3 para conocer

las ventajas y las desventajas de cada uno de ellos.

1.4 Estructura de este trabajo.

El primer paso para alcanzar los objetivos fijados es conocer el funcionamiento del generador solar (sistema completo), el funcionamiento de un colector solar tipo canal parabólica y la deducción del modelo matemático del funcionamiento de dicho colector. Esto se hace en el capítulo 2 de este trabajo. En dicho capítulo, también se presentan las hipótesis de operación del modelo matemático del colector solar.

En el capítulo 3 se presenta la deducción de una fórmula de control del colector deducida en base a simplificaciones hechas a su modelo matemático de estado estacionario. Esta fórmula es bastante simple y contempla los detalles más importantes en el funcionamiento del colector, por lo que es una primera ley de control para aplicar al colector. En el capítulo 4 se aplica dicha fórmula al modelo dinámico del colector dentro de su evolución en un día con características ambientales promedio y se analizan los resultados de la prueba.

En el capítulo 5 se presenta la teoría de los controladores autoajustables y se deduce el tipo de controlador que se aplicará, en el capítulo 6, al modelo matemático del colector solar.

Finalmente en el capítulo 7 se dan las conclusiones de este trabajo así como los alcances del mismo y los pasos sugeridos para su continuación.

Como apéndices se incluyen:

1. Diagrama de flujo del programa utilizado para la simulación del colector solar (implementación del modelo matemático en computadora) y la aplicación de un controlador autosintonizable a ésta simulación de funcionamiento.
2. Identificación por mínimos cuadrados. Método de identificación usado comúnmente en controladores autoajustables.

CAPITULO 2

SISTEMA DEL GENERADOR SOLAR.

2.1 Introducción.

En este capítulo se presenta el modelo matemático del colector solar que se utilizará como planta para comparar los resultados de la aplicación de dos técnicas de control:

- un control fijo preestablecido
- un control autosintonizable

Se describe primero el sistema completo del generador solar, su funcionamiento en general y después se toma una parte de este: un colector, como un subsistema del sistema completo para su estudio en particular.

En los siguientes puntos se resume el modelo matemático desarrollado en (5) para el generador solar y se presentan todas las condiciones que se tendrán para la simulación de su funcionamiento a través de una computadora PDP 11/40.

2.2 Generador Solar.

2.2.1 Descripción y funcionamiento del generador.

El Instituto de Ingeniería de la UNAM está a cargo de la construcción de un sistema prototipo para la transformación de energía solar en energía térmica, ésta en mecánica y ésta, a su vez, en energía eléctrica.

Este sistema recibe el nombre de generador solar y consiste de (fig.1):

1. Un tanque de almacenamiento de fluido.

2. Una red de colectores solares tipo canal parabólica.
3. Un tanque intercambiador de calor.
4. Bombas para impulsar el flujo a través del sistema.
5. Válvulas de control de flujo de fluido.
6. Un motor de vapor.
7. Un condensador.

La planta funciona a base de fluido, aceite THERM GL450. Su selección, así como las características físicas de las demás partes del generador, se determinaron en el diseño del sistema (17).

El fluido se encuentra en el tanque de almacenamiento (1), en los tubos colectores (2) y en la espiral del intercambiador de calor (3).

En el funcionamiento del sistema se presentan dos etapas diarias, la de arranque y la de operación normal.

En la etapa de arranque, el fluido que se encuentra en los colectores debe alcanzar la temperatura de funcionamiento determinada en el diseño del sistema. El fluido que se encuentra en los colectores se hace circular por estos sin pasar por el tanque de almacenamiento hasta que alcanza la temperatura mencionada. Para ello se cierran las válvulas de entrada y salida del tanque de almacenamiento (5). Al alcanzar la temperatura deseada se abren las válvulas de entrada y salida del tanque de almacenamiento y empieza la operación normal del sistema.

En la etapa de operación normal, el fluido se hace circular por los tubos colectores donde se calienta debido a la concentración de la radiación solar incidente y regresa al tanque de almacenamiento (1) de donde se manda, ya caliente, a circular por el intercambiador de calor (3). El paso del fluido por un colector se detallará más adelante con el fin de establecer su modelo matemático.

El aceite se manda primero al tanque de almacenamiento y no directamente al intercambiador de calor ya que el tanque funciona como un almacén térmico que permite el funcionamiento de la planta durante un periodo aproximado de 6 hrs. sin importar las posibles variaciones en la radiación incidente a lo largo del día. El modelo del tanque de almacenamiento se puede consultar en (3).

El tanque de almacenamiento se considera perfectamente aislado de tal manera que el aceite que contiene no se enfría. Para

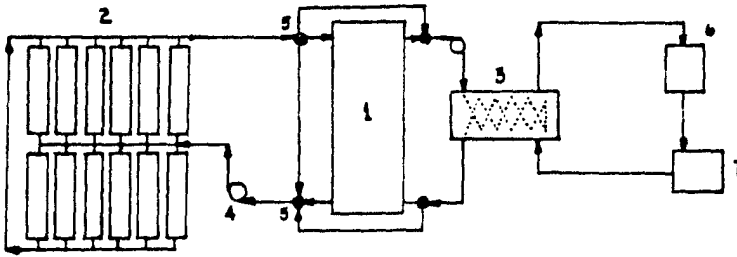


FIG. 1.

GENERADOR SOLAR

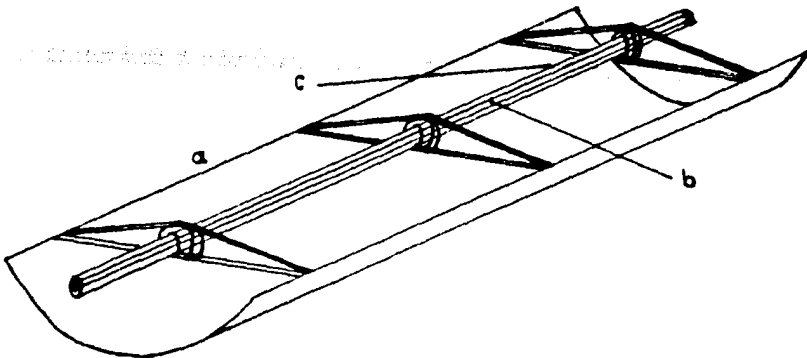


FIG. 2.

COLECTOR SOLAR

alcanzar rápidamente la temperatura de operación del sistema se ha pensado en calentar directamente el aceite dentro del tanque de almacenamiento para reducir el tiempo de la etapa de arranque.

El intercambiador de calor (3) es un tanque que contiene agua, la cual es evaporada por el paso del fluido caliente a través de la espiral interior. El vapor obtenido pasa por el ducto de salida hacia la máquina de vapor en donde la energía térmica se transforma en energía mecánica y ésta a su vez en eléctrica.

Después de pasar por la máquina de vapor, éste pasa a un condensador (7) para regresar en forma de agua al tanque intercambiador de calor.

El aceite pierde calor al circular por la espiral del intercambiador y regresa frío a la parte inferior del tanque de almacenamiento, de donde se manda nuevamente a circular por la red de colectores con lo que se cierra el ciclo de funcionamiento del generador.

Para su modelado y estudio el generador solar se subdividió en varias partes:

- a. tubos de conducción del fluido.
- b. red de colectores solares.
- c. tanque de almacenamiento.
- d. tanque intercambiador de calor.
- e. máquina térmica y condensador.

En este trabajo sólo se considera una de estas partes, la de los colectores solares.

2.3 Colector Solar.

2.3.1 Descripción y funcionamiento de un tubo colector.

Se considera un sólo colector solar. El objetivo de este estudio es controlar, mediante las dos técnicas de control mencionadas la temperatura de salida del fluido manteniéndola en el valor óptimo determinado por el diseño de la planta completa (17), teniendo como única variable de control la velocidad con que circula el aceite a

través del colector.

El colector solar consta de (fig.2):

- a) espejo cilíndrico-parabólico
- b) tubo absorbedor
- c) tubo envolvente

a) Espejo cilíndrico-parabólico.

Es un espejo con la geometría que indica su nombre y en este estudio se considera siempre orientado hacia el sol de tal manera que los rayos incidentes sobre él se concentran en su eje focal. En realidad la orientación se realiza automáticamente con un motor de pasos comandado por un heliotropo electrónico (18).

b) Tubo absorbedor.

Es un tubo fijo al espejo, su eje longitudinal coincide con el eje focal del espejo y por él circula el fluido a calentar. Este tubo, de material de alta capacidad calorífica, está recubierto en su exterior por una película de alta absorptancia y baja emitancia con el fin de aumentar la absorción de la energía radiante que se concentra en el tubo y calienta al fluido y de reducir la pérdida de calor por radiación al medio ambiente. Además, para aumentar la eficiencia en absorción entre el tubo y el fluido, este se mantiene circulando en régimen turbulento.

c) Tubo envolvente.

Es un tubo de vidrio también concéntrico con el eje focal del espejo y de diámetro mayor que el tubo absorbedor, de tal manera que deja un espacio anular entre ambos. Este se coloca con el fin de reducir las pérdidas de calor por convección entre el tubo absorbedor y el medio ambiente. El espacio anular entre ambos tubos puede estar al vacío o con algún gas a presiones determinadas en el diseño del sistema. La selección de una u otra opción determina distintos valores en los parámetros de funcionamiento del sistema.

La etapa de funcionamiento del generador con un solo colector puede verse así:

El fluido entra por uno de los extremos del tubo absorbedor (fig.2) a razón de

$$\dot{m} \text{ kg/seg} \quad \left(\dot{m} = \frac{dm}{dt} \right)$$

y a una temperatura de entrada

$$T_i \text{ } ^\circ\text{C}$$

El fluido circula a través del tubo calentándose debido a su transferencia de calor con el tubo. Finalmente el fluido sale por el extremo opuesto del absorvedor a una temperatura de salida

$$T_o \text{ } ^\circ\text{C}$$

Es esta temperatura la que se quiere controlar para alcanzar el valor determinado en el diseño del sistema para que el segundo ciclo del generador solar opere adecuadamente. En el segundo ciclo el fluido pasa al tanque de almacenamiento y de ahí al intercambiador de calor para evaporar el agua y poder operar la máquina de vapor que transforma finalmente la energía solar en energía eléctrica.

2.3.2 Modelo matemático de un tubo colector.

Se llama tubo colector al conjunto de tubo envolvente, tubo absorvedor y fluido. El modelo matemático usado en este trabajo para simular el funcionamiento del colector se basa esencialmente en el balance energético de cada elemento diferencial del tubo colector.

Este balance energético se analiza por separado para cada elemento de tubo envolvente, tubo absorvedor y fluido considerando las ganancias de energía de cada uno de ellos debido a la difusión en cada elemento, a sus interacciones con el medio ambiente y/o con los elementos adyacentes y, en el caso del fluido, la transferencia de calor por transporte de masa.

Este análisis arroja un modelo constituido por tres tipos de ecuaciones diferenciales parciales no lineales. Un tipo de ecuación para cada elemento del tubo colector.

A continuación se presentan las ecuaciones y los términos de cada una de ellas deducidas para un elemento diferencial en cada uno de los tubos y del fluido bajo las siguientes suposiciones:

- i) La radiación incidente sobre el tubo envolvente y absorvedor está uniformemente distribuida sobre su superficie exterior. Esto se considera válido principalmente por dos razones: Primera, el tubo absorvedor sobre el que tiene más efecto la no uniformidad de radiación incidente es de cobre, un material de alta conductividad térmica. Segunda, el aceite circula en régimen turbulento, lo que impide que en cualquier sección transversal del tubo colector se forme alguna distribución de temperaturas.
- ii) La eficiencia del espejo no se incluye salvo para fijar el valor total de radiación incidente a partir de su área efectiva de captación.
- iii) Se considera que el espacio anular existente entre el tubo envolvente y el absorvedor se encuentra al vacío, de tal manera que no hay intercambio de energía por convección entre los tubos. Solo se considera el intercambio de energía por radiación infrarroja.
- iv) De las suposiciones anteriores y de la turbulencia en el flujo del fluido se puede suponer que las variables de interés para cada elemento del tubo colector varían solo longitudinalmente a pesar de que en la realidad estos valores tienen también dependencia radial.

Considérese un corte transversal de tubo colector (fig 3)

- d_{ve} diámetro exterior del tubo envolvente
- d_{vi} diámetro interior del tubo envolvente
- d_{ce} diámetro exterior del tubo absorvedor
- d_{ci} diámetro interior del tubo absorvedor

Área neta de la cara del tubo envolvente

$$A_v = \pi \left[\frac{d_{ve}^2}{4} - \frac{d_{vi}^2}{4} \right]$$

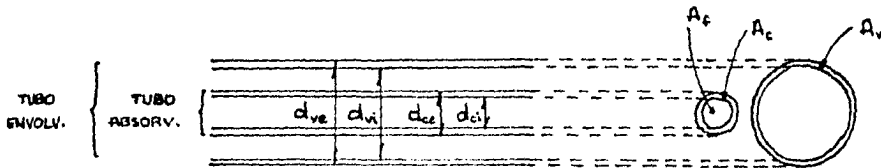


FIG. 3

CORTE TRANSVERSAL DEL TUBO COLECTOR.

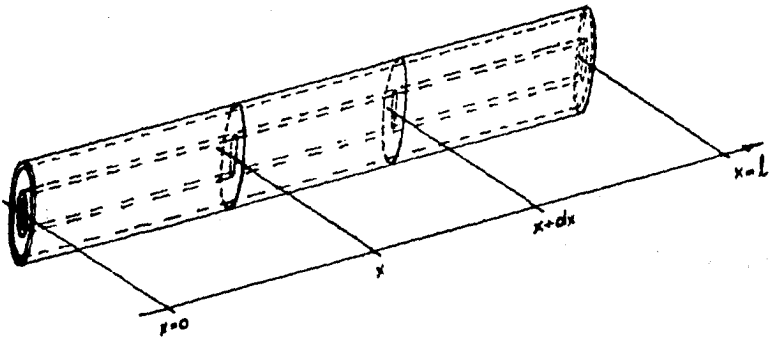


FIG. 4

ELEMENTO DIFERENCIAL.

Área neta de la cara del
tubo absorbedor

$$A_c = \pi \left[\left(\frac{d_{ce}}{2} \right)^2 - \left(\frac{d_{ci}}{2} \right)^2 \right]$$

Área neta de la cara del
fluido

$$A_f = \pi \left[\left(\frac{d_{ci}}{2} \right)^2 \right]$$

De todo lo anterior se puede definir un elemento diferencial del tubo colector como el volumen de tubo comprendido entre dos cortes transversales al eje longitudinal separados una distancia dx (fig. 4).

En seguida se presentan los balances energéticos para elementos diferenciales de cada una de las partes del tubo colector.

2.3.2.1. Balance energético para el tubo envolvente.

La energía interna del tubo puede expresarse como:

$$U(x,t) = \rho_v(x,t) \cdot C_v(t) \cdot T(x,t)$$

donde:

$U(x,t)$ densidad de energía interna para el envolvente
 ρ_v

$\rho_v(x)$ densidad del tubo envolvente
 ρ_v

$C_v(x)$ calor específico del tubo envolvente
 C_v

$T(x,t)$ temperatura del tubo envolvente
 T

Si se suponen constantes

$$\rho_v(x,t) \text{ y } C_v(t)$$

entonces el incremento de energía interna de un elemento diferencial de tubo envolvente en un intervalo de tiempo dt está relacionado con el incremento en su temperatura a través de:

$$\frac{\partial U_v(x,t)}{\partial t} A_v dt dx = \rho_v(x) C_v(x) \frac{\partial T_v(x,t)}{\partial t} A_v dt dx \quad (2.1)$$

El incremento de energía interna del elemento diferencial de tubo envolvente puede calcularse con el balance energético donde intervienen los siguientes términos:

a) difusión térmica

$$\frac{\partial}{\partial x} \left[K_v(x,t) \frac{\partial T_v(x,t)}{\partial x} \right] A_v dt dx \quad (2.2)$$

donde:

$K_v(x,t)$ coeficiente de difusión térmica del tubo envolvente

A_v área neta transversal del tubo envolvente

b) radiación solar recibida por el tubo

No se consideran las contribuciones correspondientes a las imperfecciones geométricas del espejo, a la reflectancia de este ni a los errores de seguimiento del sol.

$$\alpha_f \frac{Q(t)}{v} dx dt \quad (2.3)$$

donde:

α_f absortancia del tubo envolvente

$Q(t)$ radiación solar

a apertura del espejo cilindrico-parabólico del colector

c) pérdidas de calor al medio ambiente

i) por radiación

$$\sigma \epsilon_s \frac{S}{V} \int_0^L \left[(T_v + 273)^4 - T_s^4 \right] dx \quad (2.4)$$

donde:

σ constante de Steffan-Boltzman

ϵ_s emitanca del tubo envolvente

S perimetro exterior del tubo envolvente

T_s temperatura de cielo $T_s = (T_a + 273) - 4$ (16)

ii) por convección

$$h_v \frac{S}{V} \int_0^L (T_v - T_a) dx \quad (2.5)$$

donde:

h_v coeficiente de convección del tubo envolvente

$h_v = 4.9 + 3.67 V$ con V la vel. de viento

T_v temperatura del tubo envolvente

T_a temperatura ambiente

d) intercambio de calor por radiación infrarroja entre el tubo absorbador y el tubo envolvente

$$\epsilon_0 \sigma \int_{-}^{+} \left[(T_c + 273)^4 - (T_v + 273)^4 \right] dt \quad (2.6)$$

donde:

T_c temperatura del tubo absorbedor

ϵ_0 emittancia equivalente para ambos tubos

$$\epsilon_0 = \frac{S_{ec} dx}{\frac{1}{\epsilon_c} + \left(\frac{d}{e_c} / \frac{d}{e_v} \right) \left(\frac{1}{\epsilon_v} - 1 \right)}$$

con:

S_{ec} perimetro exterior del tubo colector

con lo que ϵ_0 resulta ser multiplo de dx , es decir,

$$\epsilon_0 = (\text{constante}) * dx$$

Por conservación de la energía la suma algebraica de los términos (2.2) a (2.6) da el incremento de energía interna del elemento diferencial de tubo envolvente y utilizando la ecuación (2.1) puede escribirse la siguiente ecuación diferencial que describe la evolución de la temperatura de dicho tubo:

$$\rho_v(x) C_v(x) \frac{\partial T_v(x,t)}{\partial t} A dx = \frac{\partial}{\partial x} \left[K_v(x,t) \frac{\partial T_v(x,t)}{\partial x} \right] A dx +$$

$$\alpha_v a Q(t) dx dt - \sigma \epsilon_0 S_{ev} \int_{-}^{+} \left[(T_v + 273)^4 - T_s^4 \right] dx dt -$$

$$h \frac{B}{v} (T_v - T_a) dx dt + \epsilon \sigma_0 \left[(T_c + 273)^4 - (T_v + 273)^4 \right] dt$$

(2.7)

2.3.2.2. Balance energético para el tubo absorvedor.

La energía interna del tubo puede expresarse como:

$$U_c(x,t) = \rho_c(x,t) \cdot C_c(x) \cdot T_c(x)$$

donde:

$U_c(x,t)$ densidad de energía interna para el absorvedor

$\rho_c(x)$ densidad del tubo absorvedor

$C_c(x)$ calor específico del tubo absorvedor

$T_c(x,t)$ temperatura del tubo absorvedor

Si se suponen constantes

$$\rho_c(x,t) \text{ y } C_c(x)$$

entonces el incremento de energía interna de un elemento diferencial de tubo absorvedor en un intervalo de tiempo dt está dado por:

$$\frac{\partial U_c(x,t)}{\partial t} A dx dt = \rho_c(x) C_c(x) \frac{\partial T_c(x,t)}{\partial t} A dx dt \quad (2.8)$$

El incremento de energía interna del elemento diferencial de tubo absorvedor puede calcularse con el balance energético donde intervienen los siguientes términos:

a) difusión térmica

$$\frac{\partial}{\partial x} \left[K(x,t) \frac{\partial T(x,t)}{\partial x} \right] = \frac{A}{c} \frac{dT(x,t)}{dt} \quad (2.9)$$

donde:

- $K(x,t)$ coeficiente de difusión térmica del tubo
 c absorvedor
- A área neta transversal del tubo absorvedor
 c

b) radiación solar recibida por el tubo

Aquí hay que considerar que de la radiación solar incidente en el tubo absorvedor una parte es absorbida y otra reflejada. De la radiación reflejada una parte se refleja a su vez en la cara interior del tubo envolvente volviendo a incidir sobre el tubo absorvedor, teniendo así una serie de reflexiones múltiples. Esto está considerado en el coeficiente de absorptancia-transmitancia calculado en (5).

$$(\tau \alpha)_c$$

lo que nos da:

$$(\tau \alpha)_c Q(t) a \, dx \, dt \quad (2.10)$$

donde:

- α absorptancia del tubo absorvedor
 c
- $Q(t)$ radiación solar
- a apertura del espejo cilíndrico-parabólico del colector

c) intercambio de calor por radiación infrarroja entre el tubo absorvedor y el tubo envolvente

$$\epsilon_0 \int_0^L \left[(T_c + 273)^4 - (T_v + 273)^4 \right] dt \quad (2.11)$$

donde:

T_c temperatura del tubo absorbedor
 ϵ_0 emitancia equivalente para ambos tubos

d) pérdida de energía por convección del tubo al fluido

$$S_{ic} h_f (T_c - T_f) dx dt \quad (2.12)$$

donde:

S_{ic} perímetro interior del tubo absorbedor
 h_f coeficiente de convección del fluido

Por conservación de la energía la suma algebraica de los términos (2.9) a (2.12) da el incremento de energía interna del elemento diferencial de tubo absorbedor y utilizando la ecuación (2.8) puede escribirse la siguiente ecuación diferencial que describe la evolución de la temperatura de dicho tubo:

$$\rho_0(x) C(x) \frac{\partial T(x,t)}{\partial t} A dx = \frac{\partial}{\partial x} \left[K(x,t) \frac{\partial T(x,t)}{\partial x} \right] A dx + (\tau \alpha) a Q(t) dx dt - S_{ic} h_f (T_c - T_f) dx dt +$$

$$\rho_f \int_{c}^{v} (T_c + 273)^4 - (T_v + 273)^4 dt \quad (2.13)$$

2.3.2.3. Balance energético para el fluido.

La energía interna del fluido puede expresarse como:

$$U_f(x,t) = \rho_f(x,t) \cdot C_f(x) \cdot T_f(x)$$

donde:

- $U_f(x,t)$ densidad de energía interna para el fluido
- $\rho_f(x)$ densidad del fluido
- $C_f(x)$ calor específico del fluido
- $T_f(x,t)$ temperatura del fluido

Si se suponen

$$\rho_f(x,t) \text{ y } C_f(x)$$

entonces el incremento de energía interna de un elemento diferencial de fluido en un intervalo de tiempo dt está dado por:

$$\frac{\partial U_f(x,t)}{\partial t} A_f dx dt = \rho_f(x) C_f(x) \frac{\partial T_f(x,t)}{\partial t} A_f dx dt \quad (2.14)$$

con

- A_f Área interior del tubo absorbedor, i.e.,
Área que presenta el flujo del fluido

El incremento de energía interna del elemento diferencial de

fluido puede calcularse con el balance energético donde intervienen los siguientes términos:

a) calor recibido por convección desde el tubo absorbedor

$$\int_{ic} S_f h_f (T_c - T_f) dx dt \quad (2.15)$$

donde:

S_{ic} perímetro interior del tubo absorbedor
 h_f coeficiente de convección del fluido

b) difusión térmica

$$K_f(x,t) \frac{\partial^2 T_f(x,t)}{\partial x^2} A_f dx dt \quad (2.16)$$

donde:

$K_f(x,t)$ coeficiente de difusión térmica del fluido
 A_f Área transversal del fluido (Área interna del tubo absorbedor)

c) transporte de masa

$$- \frac{\partial h_f(x,t)}{\partial x} A_f dx dt$$

donde:

$h_f(x,t)$ = flujo de entalpía del fluido

Este flujo de entalpía se puede expresar como:

$$h(x,t) = G(x,t) H(x,t) = G(x,t) \left[e(x,t) + b p(x,t) v(x,t) \right]$$

con:

- $G(x,t)$ flujo de masa por unidad de área
- $H(x,t)$ entalpía específica
- $e(x,t)$ energía interna del fluido por unidad de masa
- b constante de conversión de unidades
- $p(x,t)$ presión absoluta
- $v(x,t)$ volumen específico

suponiendo al fluido incompresible, la presión a lo largo del tubo constante y tomando:

$$e(x,t) = C_f(x,t) T_f(x,t)$$

se tiene que:

$$-\frac{\partial h(x,t)}{\partial x} A_f dx dt = -G(t) \frac{\partial}{\partial x} \left[C_f(x) T_f(x,t) \right] A_f dx dt \quad (2.17)$$

Otra vez por conservación de energía se tiene que de (2.14) a (2.17) resulta la ecuación que se empleará para describir la dinámica del fluido dentro del colector:

$$\rho_f C_f(x) \frac{\partial T_f(x,t)}{\partial t} A_f dx dt = K_f(x,t) \frac{\partial^2 T_f(x,t)}{\partial x^2} A_f dx dt +$$

$$S_{ic} h_c (T_c - T_f) dx dt - G(t) \frac{\partial}{\partial x} \left[C_f(x) T_f(x,t) \right] A_f dx dt$$

Finalmente se tiene que el modelo dinámico del colector está dado por las tres ecuaciones (2.7), (2.13) y (2.18) que se reescriben a continuación:

$$\begin{aligned} \frac{\rho_0(x) C(x)}{v} \frac{\partial T(x,t)}{\partial t} - A \frac{dt}{v} dx &= \frac{\partial}{\partial x} \left[K(x,t) \frac{\partial T(x,t)}{v \partial x} \right] \frac{A dt dx}{v} + \\ \alpha f a Q(t) \frac{dx dt}{v} - \text{sig} \frac{\text{eps}}{v} S \left[(T + 273)^4 - T_s^4 \right] dx dt &- \\ h S (T - T_c) \frac{dx dt}{v} + \text{eps} \frac{\text{sig}}{c} \left[(T_c + 273)^4 - (T + 273)^4 \right] dt & \end{aligned} \quad (2.7)$$

$$\begin{aligned} \frac{\rho_0(x) C(x)}{c} \frac{\partial T(x,t)}{\partial t} - A \frac{dt}{c} dx &= \frac{\partial}{\partial x} \left[K(x,t) \frac{\partial T(x,t)}{c \partial x} \right] \frac{A dt dx}{c} + \\ (\tau \alpha f) a Q(t) \frac{dx dt}{c} - S \frac{h}{lc} (T - T_c) \frac{dx dt}{c} + \\ \text{eps} \frac{\text{sig}}{c} \left[(T_c + 273)^4 - (T + 273)^4 \right] dt & \end{aligned} \quad (2.13)$$

$$\frac{\rho_0 C(x)}{f} \frac{\partial T(x,t)}{\partial t} - A \frac{dx dt}{f} = K(x,t) \frac{\partial^2 T(x,t)}{\partial x^2} - A \frac{dx dt}{f} +$$

$$\rho h (T_c - T_f) \frac{dx}{dt} - \rho(t) \frac{\partial}{\partial x} \left[C_f(x) T_f(x,t) \right] A \frac{dx}{dt} \quad (2.18)$$

2.3.3 Modelo de parámetros concentrados.

El modelo presentado en el punto anterior es un modelo de ecuaciones no-lineales que permiten considerar variaciones continuas en la dirección axial (x) del colector y en el tiempo.

Para propósitos de control se discretizará el modelo matemático en la dirección axial (x), para producir un modelo que permita conocer sólo la temperatura del fluido a la salida del tubo absorbedor como función del tiempo, suponiendo conocidos los valores (funciones del tiempo) de:

- flujo másico del fluido $\dot{m}(t)$
- temperatura de entrada del fluido al colector $T_i(t)$
- radiación solar incidente $Q(t)$

más los valores de los parámetros físicos del colector, i.e., coeficientes de los distintos materiales de los tubos envolvente y absorbedor, longitud del colector, coeficientes del fluido, etc.

Esta discretización se logra considerando al colector dividido en N tramos de longitud Dx y suponiendo que el valor de cada una de las variables de interés, aunque sigue siendo función del tiempo, no cambia dentro de cada tramo (fig. 5).

Para cada uno de los tramos se plantea un modelo dinámico que, obviamente resulta de las ecuaciones (2.7), (2.13) y (2.18).

Para deducir el modelo dinámico para un tramo a partir del modelo matemático, se hace primero una aproximación de la primera y segunda derivadas de una función con respecto a x en términos de la longitud de los tramos Dx y de los valores de la función en cada tramo.

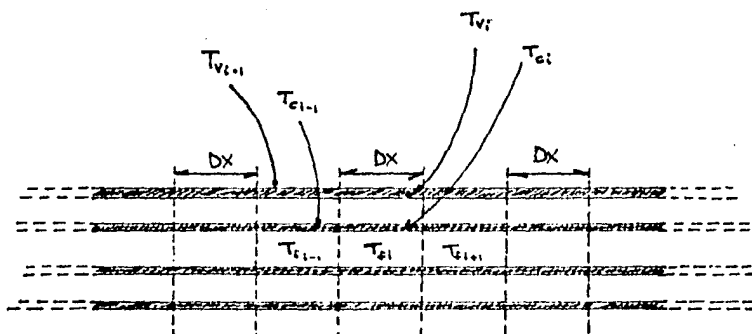


FIG. 5

DIVISION DEL COLECTOR EN TRAMOS DE LONG. DX

Esta aproximación se hace en base a la serie de Taylor para la función y su primera derivada.

Sea

$$T_{fi}$$

el valor de la temperatura del fluido en el i -ésimo tramo del colector. La expansión en serie de Taylor de esta función alrededor del tramo i , tomando como incremento $-Dx$ es

$$T_{fi-1} = T_{fi} - Dx \frac{dT_{fi}}{dx} + \frac{Dx^2}{2!} \frac{d^2 T_{fi}}{dx^2} + \dots \quad (2.19)$$

despreciando los términos de orden mayor o igual a 2, tenemos que la aproximación que se usará para la primera derivada es

$$\frac{dT_{fi}}{dx} = \frac{T_{fi} - T_{fi-1}}{Dx} \quad (2.20)$$

La aproximación para la segunda derivada se obtiene de la expansión en serie para el tramo i , tomando como incremento Dx y $-Dx$

$$T_{fi-1} = T_{fi} - Dx \frac{dT_{fi}}{dx} + \frac{Dx^2}{2!} \frac{d^2 T_{fi}}{dx^2} + \dots \quad (2.21)$$

$$T_{fi+1} = T_{fi} + Dx \frac{dT_{fi}}{dx} + \frac{Dx^2}{2!} \frac{d^2 T_{fi}}{dx^2} + \dots \quad (2.22)$$

sin tomar en cuenta los términos de orden mayor o igual a 3 y sumando miembro a miembro (2.21) y (2.22) resulta

$$T_{fi+1} + T_{fi-1} = 2 T_{fi} + Dx \frac{d^2 T_{fi}}{dx^2}$$

de donde se tiene finalmente la aproximación que se usará para la segunda derivada

$$\frac{d^2 T_{fi}}{dx^2} = \frac{T_{fi+1} - 2 T_{fi} + T_{fi-1}}{Dx^2} \quad (2.23)$$

Si estas últimas aproximaciones se sustituyen en las ecuaciones (2.7), (2.13) y (2.14), considerando además que los calores específicos tanto de los tubos como del fluido son constantes a lo largo del colector, que

$$m_f = \rho_f A_f Dx \quad \text{masa de un tramo de fluido}$$

$$m_c = \rho_c A_c Dx \quad \text{masa de un tramo de tubo absorbedor}$$

$$m_v = \rho_v A_v Dx \quad \text{masa de un tramo de tubo envolvente}$$

$$\dot{m}_f = G_f A_f \quad \text{gasto másico del fluido}$$

multiplicando ambos miembros de cada ecuación por

$$\frac{Dx}{dt \, dx}$$

(para considerar el calor transferido por unidad de volumen) y tomando

como última simplificación la suposición de que los términos de difusión en los tubos así como el intercambio de energía por transporte de masa en el fluido no contribuyen significativamente y que se pueden despreciar junto a los demás términos, se tiene que el modelo de parámetros concentrados para el colector está dado por las tres siguientes ecuaciones:

- para cada Dx del tubo envolvente:

$$m C \frac{dT}{v v dt} = \text{alfa} \frac{Q(t)}{v} a Dx + \text{eps} \frac{\sigma}{o} \left[(T + 273)^4 - (T + 273)^4 \right]_{ci}^{vi}$$

$$- \frac{\sigma \text{eps}}{v} S \left[(T + 273)^4 - T^4 \right]_{vi}^s Dx - \frac{h}{v} S \frac{(T - T)}{ve vi a} Dx \quad (2.24)$$

- para cada Dx del tubo absorbedor:

$$m C \frac{dT}{c c dt} = (\text{tau alfa}) \frac{Q(t)}{c} a Dx + \frac{\sigma \text{eps}}{o} \left[(T + 273)^4 - (T + 273)^4 \right]_{ci}^{vi}$$

$$- \frac{h}{f} S \frac{(T - T)}{ci ci fi} Dx \quad (2.25)$$

- para cada Dx del fluido:

$$m C \frac{dT}{f f dt} = \frac{S}{ci f} h \frac{(T - T)}{ci fi} Dx - \frac{m C}{f f fi} (T - T)_{fi-1} \quad (2.26)$$

Estas ecuaciones se usarán en lo sucesivo como modelo del colector solar.

2.3.4 Parámetros físicos del colector.

Se presentan los valores de los parámetros físicos del colector determinados en (5) y que se usarán en todo lo que sigue de este trabajo.

Se muestran primero los valores de los parámetros físicos del colector y a continuación los valores de los parámetros del tubo absorbedor, tubo envolvente y fluido.

Se considera el colector de longitud:

$$L = 12 \text{ m}$$

y el espejo cilíndrico-parabólico con una apertura de captación de:

$$a = 2.5 \text{ m}$$

lo que da un área efectiva de captación de 30 m^2 .

En la utilización del modelo de parámetros concentrados se considera al colector dividido en 4 tramos. Esto da una longitud de tramo

$$Dx = 3 \text{ m}$$

Se escogió este número de tramos ya que las pruebas hechas en (5) tanto con 3 y 6 tramos no arrojaron diferencias significativas.

Parámetros para el tubo envolvente (vidrio):

absortancia	alf	0.0473
	v	
emitancia	eps	0.94
	v	
diam. interior	d	0.0614 m
	iv	

diam. exterior	d _{ev}	0.0655 m
densidad	ρ _v	2723.04 Kg/m ³
calor específico	C _v	836 J/Kg °C
emitancia equiv.	ε _o	0.008036 Dx
coef. de convecc.	h _v	= 4.9 + 3.67*V(t)

V(t) vel. de viento que se considera constante e igual a 5 m/s por lo que resulta

$$h_v = 23.25$$

Parámetros para el tubo absorbedor (cobre):

absortancia	α _c	0.87
emitancia	ε _c	0.09
diam. interior	d _{ic}	0.0253 m
diam. exterior	d _{ec}	0.0286 m
densidad	ρ _c	8795.00 Kg/m ³
calor específico	C _c	418 J/Kg °C
producto absort-emitancia	α _f τ	0.8008

Parámetros para el fluido (aceite THERM GL450):

densidad	ρ _f	783 Kg/m ³
----------	----------------	-----------------------

calor específico

$$C_f = 2386.78 \text{ J/Kg } ^\circ\text{C}$$

coef. de convección

$$h_f = 70 + 0.018 \left(\frac{0.8}{m} \right) T_f$$

este coef. se determinó considerando un flujo del fluido en régimen turbulento (5).

2.3.5 Condiciones de operación.

El conjunto de ecuaciones que dan el modelo de parámetros concentrados del colector y que representan la planta, se implementaron en una computadora PDP 11/40 y se resolvieron de la manera que en seguida se indica.

El conjunto de ecuaciones se integró numericamente utilizando un método de Adams-Multon de orden y paso variable. Esta integración se realizó por medio de una subrutina de propósito general llamada AMGEAR desarrollada en el IIMAS de la UNAM incluida en el programa desarrollado en este trabajo.

La descripción del programa principal, llamado COLECT, así como de la subrutina AMGEAR se presenta en el apéndice 1 de este trabajo.

Mediante este programa de simulación se hicieron todas las pruebas sobre la planta.

En seguida se presentan las condiciones de operación que no cambiaron durante las pruebas realizadas con el modelo. Las condiciones que se variaron en las distintas pruebas se mencionan en el momento oportuno. Los valores de los parámetros presentados en el punto anterior no cambiaron.

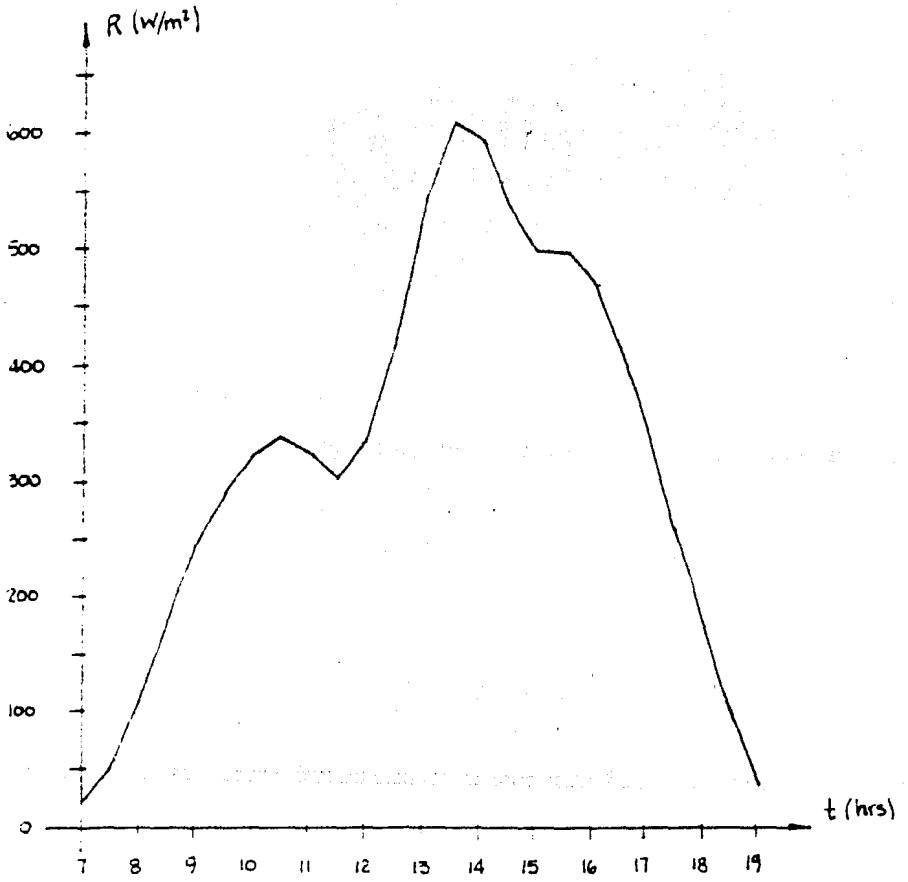
La función de radiación solar $Q(t)$ y temperatura ambiente $T_a(t)$ utilizadas son aquellas determinadas por los puntos tomados de los valores experimentales en un día arbitrario de medición (15). Las funciones se construyeron mediante la interpolación lineal entre los puntos experimentales. En las gráficas 1 y 2 se tienen los perfiles de radiación y temperatura ambiente que se utilizaron durante las pruebas.

La temperatura deseada de salida del fluido que pasa a través del colector fué siempre de 250 grados centígrados y corresponde a la determinada en el diseño de la planta (17).

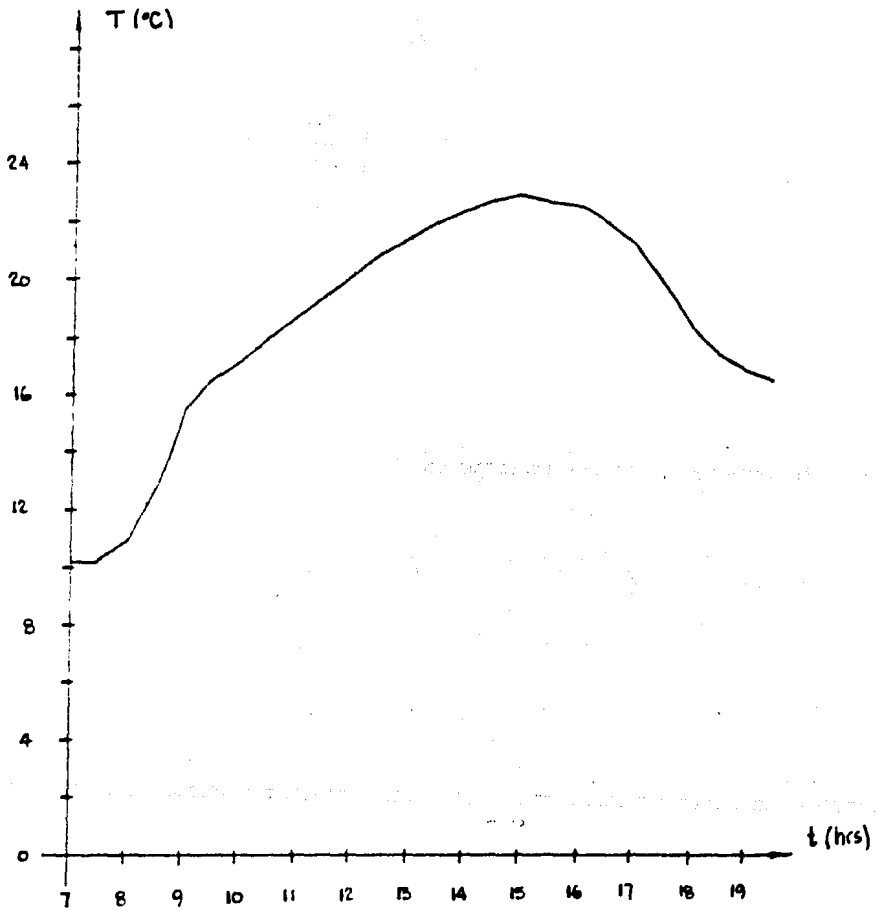
La temperatura de entrada al colector se considera constante e igual a la temperatura de entrada calculada en el diseño de la planta que es de 180 grados centígrados. Esto puede pensarse cercano a la situación real solo en el periodo de operación del generador. En el arranque el fluido circulará con el mayor gasto posible para conseguir la máxima transferencia de calor.

Para asegurar la convergencia de la solución del sistema de ecuaciones que representan el modelo de la planta es necesario arrancar con un perfil de temperatura del colector que no esté muy alejado del perfil a alcanzar. Debido a esto y a que, como ya se mencionó anteriormente, solo importa el periodo de operación normal del colector, se tomó un perfil de temperaturas determinado arbitrariamente. Este perfil se construyó considerando que en el punto inicial del colector la temperatura del aceite es igual a la temperatura de entrada en operación, 180 grados centígrados, y que en el punto final la temperatura del aceite es igual a la temperatura de salida deseada, 250 grados centígrados. En base a esto se determinó la siguiente función lineal de la temperatura como función de la posición longitudinal de los tramos del colector (graf.3), y asignándole a cada tramo la temperatura correspondiente al valor de la función en su punto medio, o sea que el perfil de temperaturas de arranque será el dado en la tabla 1, tanto para los tubos envolvente y absorvedor como para el fluido.

Durante todas las pruebas hechas con el modelo se observó que este perfil de temperaturas no causó problemas en cuanto a la convergencia de la solución y variando un poco los valores de esta tabla no se observó diferencia significativa en la convergencia.

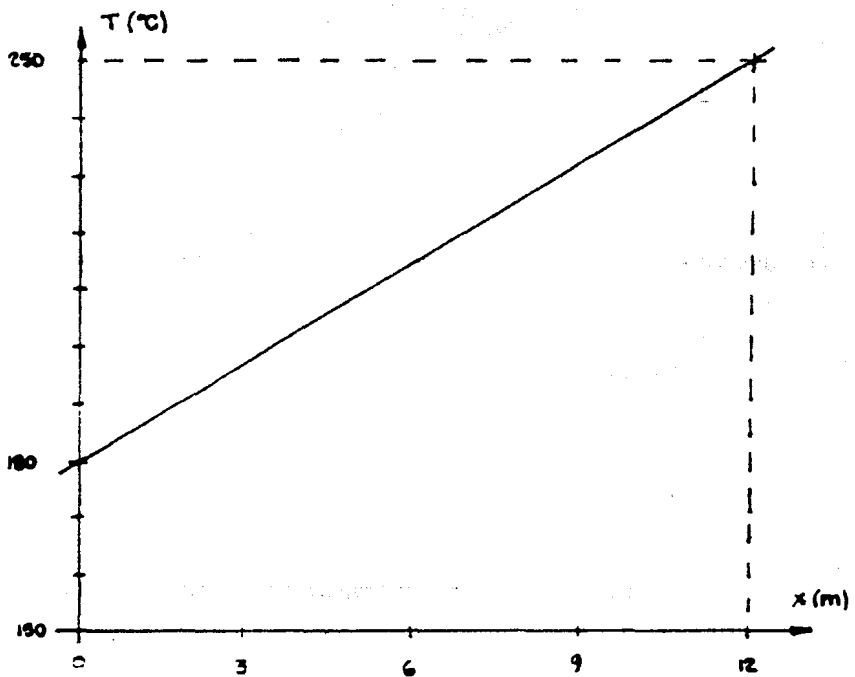


GRAFICA 1
RADIACION SOLAR (3 JUNIO-1980)



GRAFICA 2

TEMPERATURA AMBIENTE (25-NOVIEMBRE-1979)



GRAFICA 3
PERFIL INICIAL DE TEMPERATURA

TABLA 1
TEMPERATURAS INICIALES

Tramo	Temp. Envolvente	Temp. Absorvedor	Temp. Fluido
1	188.75	188.75	188.75
2	206.25	206.25	206.25
3	223.75	223.75	223.75
4	241.25	241.25	241.25

CAPITULO 3

DEDUCCION DE UNA FORMULA DE CONTROL PARA
LA TEMPERATURA DE SALIDA DEL COLECTOR SOLAR

3.1 Introducción.

En muchos casos el modelo matemático del comportamiento dinámico de la planta a controlar es muy complicado para el diseño de sus sistemas de control. Una de las simplificaciones más comunes a este problema es simular la dinámica de la planta, desde un punto de funcionamiento establecido hasta otro, como una sucesión de estados estacionarios.

En el capítulo anterior se desarrollaron las ecuaciones diferenciales que modelan el colector solar. Por simplicidad y para seguir el desarrollo elegido en (6) si se consideran sin tubo envolvente y con una radiación solar incidente $R(t) = Q(t)$ son:

$$\rho_c A_c C_c \frac{\partial T_c}{\partial t} = \alpha_f R(t) a_c - \epsilon_c \sigma_c S_c [(T_c + 273)^4 - T_a^4] - h_{ca} S_c (T_c - T_a) - h_{cf} S_c (T_c - T_f)$$

$$\rho_f A_f C_f \frac{\partial T_f}{\partial t} = S_{cf} h_{cf} (T_c - T_f) - \dot{m}_f C_f \frac{\partial T_f}{\partial x}$$

de donde, de manera directa, se tienen las siguientes ecuaciones en estado estacionario:

$$a \text{ alf } R = \text{sig eps } S \left[(T + 273)^4 - T^4 \right] + S h (T - T_a) + \frac{S h (T - T_a)}{c_i f c} \quad (3.1)$$

$$\dot{m} C_f \frac{dT}{dx} = S h (T - T_a) \quad (3.2)$$

De estas ecuaciones debe obtenerse la temperatura del fluido

T_f

por lo que es necesario resolver una ecuación diferencial no lineal. En (6) se analizan estas ecuaciones y se propone una solución aproximada que relaciona la temperatura del fluido en cada punto del tubo con las demás variables de interés como son radiación, temperatura ambiente, velocidad de viento, flujo másico, etc. Esta expresión es simple y concuerda con la solución de la ecuación diferencial por un método de integración numérica. Además de la aproximación propuesta se tienen dos niveles más de simplificación que finalmente permiten obtener una expresión para control bastante simple de la cual se calcula el flujo másico necesario para obtener una temperatura de salida deseada.

En este capítulo se presenta el camino seguido en la referencia citada para obtener la fórmula de control fijo mencionada.

3.2 Propiedades de las soluciones en estado estacionario.

En (6) se demuestra que las únicas soluciones de las ecuaciones en estado estable donde la temperatura del fluido a la salida es igual a la de entrada cumplen las siguientes condiciones:

- 1) La temperatura del fluido dentro del tubo es constante e igual al valor en sus extremos.

2) La temperatura del fluido es igual en todo punto a la temperatura del tubo y constante a lo largo de éste.

3) Estas soluciones no dependen del flujo másico ni del coeficiente de transmisión de calor h .

f

Es decir, estas únicas soluciones son las soluciones constantes y estas constituyen la transición entre las soluciones monótonamente crecientes (el fluido se calienta dentro del tubo) y las monótonamente decrecientes (el fluido se enfría).

La demostración se basa en que para la radiación $(R_a(t))$, la temperatura ambiente (T_a) y la velocidad de viento $(V(t))$ constantes, si en algún punto del colector

x_0

se tiene que

$T_f(x_0)$

es igual a

$T_c(x_0)$

es decir, que la temperatura del fluido en x_0 satisface

$$\frac{d}{dx} [T_f(x) + 273] - T_c(x) - S_c h_c (T_f(x) - T_a) = 0 \quad (3.2a)$$

entonces

$$T_f(x) = T_c(x) \quad \text{para toda } 0 \leq x \leq L$$

Esta última igualdad se obtiene de la siguiente manera. Ya que

$$T_f(x) = T_c(x) = T_{f_0} \quad (3.2b)$$

es solución del sistema de ecuaciones 3.1 y 3.2 (basta sustituir 3.2a y 3.2b en 3.1 y 3.2 para comprobarlo) entonces por unicidad de la solución de una ecuación diferencial de primer orden fijada una condición de borde se tiene que 3.2b es la única solución posible.

Ahora, para demostrar que se cumplen las condiciones 1), 2) y 3), basta ver que si

$$T_f(L) = T_f(0)$$

por continuidad de la solución y su primera derivada, debe existir al menos un punto

$$0 \leq x_0 \leq L$$

tal que

$$\left[\begin{array}{c} \frac{dT}{dx} \\ f \end{array} \right]_{x=x_0} = 0$$

y de acuerdo con la ecuación 3.2 se tiene

$$T_c(x_0) = T_f(x_0)$$

Reemplazando esta última igualdad en 3.1 es claro que en el punto

$$x = x_0$$

se tiene que

$$T_f(x_0) = T_{f_0}$$

satisface la ecuación 3.2a. Entonces resulta por 3.2b que la solución

$$T_f(x)$$

es constante e igual a

$$T_f = T_c$$

de tal manera que

$$T_f(x) = T_f(x_0) = T_f(L) \quad \text{para toda } 0 \leq x \leq L$$

y que

$$T_f(x) = T_c(x) \quad \text{para toda } 0 \leq x \leq L$$

Ahora, debido a que en todo punto

$$\left[\frac{dT_f}{dx} \right] = 0$$

y

$$T_f(x) = T_c(x)$$

la solución no depende de m ni de h .

Físicamente esto queda claro ya que si se considera un elemento diferencial de tubo en el cual el gradiente de temperatura del fluido se anula (independientemente de su velocidad) entonces el aporte energético del fluido a la diferencial de tubo es nulo. Además como se supone que el sistema se encuentra en equilibrio esto implica que no puede haber intercambio de energía del aceite con las paredes del tubo absorbedor lo cual solo es posible si se tiene que:

$$T_f = T_c$$

Por otra parte, los perfiles de temperatura del tubo colector no pueden tener máximos o mínimos, salvo en los extremos, si las condiciones de transferencia de energía al medio ambiente y la radiación son uniformes a lo largo del tubo. De esto resulta que no puede haber puntos aislados en los que el gradiente de temperatura se anule y por lo tanto las únicas soluciones para las cuales las temperaturas de los extremos son iguales son las soluciones constantes. Estas soluciones constituyen la transición entre las

soluciones monótonamente crecientes (el fluido se calienta en su paso a través del tubo) y las monótonamente decrecientes (el fluido se enfría), como se mencionó anteriormente.

La pregunta que surge naturalmente es:

¿ Bajo que condiciones se podrá obtener una temperatura de fluido deseada a la salida con una temperatura de fluido a la entrada que sea inferior ?

En seguida se demuestra que si se quiere que el colector funcione a una cierta temperatura de salida

$$T_d$$

es decir,

$$T_f(L) = T_d \quad (L \text{ longitud del tubo})$$

con

$$\dot{m} > 0$$

y sin que el fluido se enfríe dentro del tubo, la radiación incidente, que se llamará R_a , deberá ser tal que:

$$R_a \geq (\alpha_a)^{-1} \left[\sigma_c \epsilon_s \left((T_d + 273)^4 - T_f^4 \right) + \sigma_s h_c (T_d - T_f) \right] \quad (3.3)$$

Físicamente esto quiere decir que la energía captada por radiación incidente debe ser mayor o igual que la energía cedida al medio ambiente tanto por radiación como por convección.

Nombrando R_a^c al lado derecho de 3.3 e introduciendo los siguientes cambios de variables:

$$r = R_a - R_a^c$$

$$t_f(x) = T_f(x) - T_d \quad (3.4)$$

$$t_c(x) = T_c(x) - T_d$$

y sustituyendo 3.4 en 3.1 y 3.2 se tiene:

(3.5)

$$\alpha r = S_a h_{ce} t + S_c h_{ci} (t - t_f) + \text{signo} \left[\frac{S_c}{c} \left[(t + T + 273)^4 - (T + 273)^4 \right] \right]$$

$$\frac{d t_c(x)}{dx} = S_c h_{ci} (t - t_f) \quad (3.6)$$

$$T_f(L) = T_d \implies t_f(L) = 0 \implies \text{signo} \left[\frac{d t_c}{dx} \right]_{x=L} = \text{signo}(t)_{x=L}$$

o sea que para

$$t_f(L) = 0$$

los tres miembros del lado derecho de 3.5 tienen el mismo signo que t_c

de donde si

$$r < 0$$

entonces

$$t_c(L) < 0$$

y si

$$r > 0$$

entonces por 3.6 se tiene que

$$\left. \frac{d t}{d x} \right|_{x=L} < 0$$

Como los perfiles de temperatura en estado estacionario son funciones monótonas de x entonces:

$$t(x) \geq 0$$

implica que

$$T(x) \geq T_d = T_f(L) \text{ para toda } x$$

lo cual implica que el fluido se enfría.

Con lo anterior queda demostrado que para que esto no suceda es necesario que la radiación incidente

R_a

sea mayor que la radiación

$\frac{c}{R_a}$

que se llamará en adelante radiación mínima.

A la variable

$$r_a = R_a - \frac{c}{a}$$

se llamará radiación disponible para la temperatura deseada T

Es conveniente observar que:

- i) R_a^c se define solamente en función de la temperatura

$$T_d$$

que se desea obtener a la salida del colector y de las variables externas

$$T_a \text{ y } V(t)$$

Su importancia consiste en que para radiaciones inferiores a

$$R_a^c(T_d)$$

la única manera de obtener a la salida una temperatura

$$T_d$$

con un flujo másico

$$\dot{m} > 0$$

será introduciendo el fluido a una temperatura mayor que

$$T_d$$

y dejándolo enfriar a lo largo del tubo.

- ii) Si la temperatura de entrada del fluido

$$T_i$$

y la radiación

R_a

satisfacen la ecuación 3.2a con

$$T_{fo} = T_i$$

el perfil de temperaturas dentro del tubo será constante sin importar el valor del flujo másico

$$\dot{m} \quad (\dot{m} > 0)$$

iii) De la ecuación 3.3 tenemos que la radiación mínima

$$\frac{c}{R_a}$$

es proporcional a las pérdidas cedidas al medio ambiente para la condición límite en que el fluido no altera su energía después de pasar por el colector.

Desde el punto de vista del diseño convendría tener el valor de la radiación mínima

$$\frac{c}{R_a}$$

lo más pequeño posible para así aumentar el número de horas diarias en que la radiación

$$r_a > 0 \quad (\Rightarrow h_c \text{ y } t_d \text{ pequeños})$$

y por lo tanto el fluido se calienta.

Sin embargo, en el desarrollo presentado se consideró un modelo sin envolvente por lo que el término más pesado en 3.3 es el correspondiente a pérdidas por convección de calor al medio ambiente lo que hace los resultados obtenidos en tal estudio muy sensibles a la velocidad del viento.

En el caso de un colector con envolvente esto no se presenta y las restricciones sobre

$$T_d \text{ y } h_c$$

son menores.

3.3 Primera solución aproximada en estado estacionario.

En el capítulo 3 de (6) se presenta la primera aproximación de las ecuaciones 3.5 y 3.6 y se obtiene una expresión algebraica que relaciona las variables

$$\dot{m} ; Ra ; T_i$$

cuando se pide una temperatura de salida deseada

$$T(L) = T_d$$

La aproximación consiste en considerar el último término en la ecuación 3.5

$$\left(\frac{t_c}{c} + T_d + 273 \right)^4 - \left(T_d + 273 \right)^4$$

como

$$\left(\frac{t_c}{c} + T_d + 273 \right)^4 - \left(T_d + 273 \right)^4 = 4 \left(T_d + 273 \right)^3 \frac{t_c}{c} \quad (3.7)$$

Sustituyendo 3.7 en 3.5, despejando

$$t_c = t_c(t)$$

y sustituyendo este último valor en 3.6 se llega a la ecuación diferencial para $t(x)$:

f

$$m C_f \frac{dt(x)}{dx} = \frac{a \alpha r - h' S t}{a c c e f} \left(1 + \frac{S c e}{S c i} \cdot \frac{h'}{h f} \right) \quad (3.8)$$

con la condición de frontera

$$t(L) = 0$$

donde

$$h'_c = h_c + 4 \text{ sig eps } (T + 273)^3$$

Haciendo algunos pasos algebraicos y recordando que (cap.2):

$$h_f = K_1 + K_2 m^{0.8} (T + t)_f$$

se llega a:

$$\frac{1}{C} \int dx = \int \frac{c + t}{(a + t)(b - t)} dt \quad (3.9)$$

con

$$C = \frac{m C_f}{h' S c c e} \quad ; \quad a = \frac{k_1}{k_2} m^{0.8} + T_d$$

$$b = \frac{\alpha a r}{h' c} \quad , \quad c = a + \frac{S h' c}{S k c} \cdot 0.8$$

k_1, k_2 dependen de la geometría del tubo y de las propiedades del aceite, en este caso

$$k_1 = 81 \quad \text{y} \quad k_2 = 9$$

Finalmente integrando 3.9 por fracciones simples entre los límites x y L

$$\frac{1}{c} \int_x^L dx = \int_{t(x)}^0 \left(\frac{A}{(a+t)f} - \frac{B}{(t-b)f} \right) dt$$

$$A = \frac{c-a}{b+a} \quad , \quad B = 1 + A = \frac{b+c}{b+a}$$

con la condición de frontera

$$t(L) = 0$$

resulta

$$E\left(\frac{L-x}{c}\right) = \left[\frac{A}{a} \right] \left[\frac{b-t(x)}{f} \right] \left[\frac{A}{a+b} \right] \left[\frac{b-t(x)}{f} \right] \quad (3.10)$$

o también se puede expresar como:

$$t_f(x) = b \left[1 - \frac{1 + \frac{t(x)}{f}}{1 - \frac{t}{f(x)}} \right] E^{\left(\frac{L-x}{c} \right)} \quad (3.11)$$

de manera que se puede utilizar un algoritmo recursivo para resolverla.

De esta última ecuación se obtiene la relación entre

T_a , v , R_a y la variable de control \dot{m}

o sea, por medio de 3.11 fijando las variables externas podemos ver que valores de

T_i y \dot{m}

son necesarios para obtener a la salida la temperatura deseada

T_d

Si se integra 3.9 con la condición de frontera

$$t_f(0) = 0$$

se llega a una ecuación recursiva análoga a la ecuación 3.11

$$t_f(x) = b \left[1 - \frac{1 + \frac{t(x)}{f}}{1 - \frac{t_f(x)}{b}} \right] \exp\left(-\frac{x}{c}\right) \quad (3.11.A)$$

donde a, b, c y A se definen igual que para 3.11 pero reemplazando

$$T_1 \text{ por } T_d$$

Con esta solución se comparan los resultados obtenidos con los que se obtienen integrando 3.1 y 3.2 con un método de Runge-Kutta. Como se muestra en la gráfica 1 la diferencia entre ambos no es muy grande.

También se comparan los resultados obtenidos al discretizar el tubo en n tramos de temperatura constante y luego resolviendo un sistema de 2n ecuaciones algebraicas no lineales por el método de Newton (gráfica 2).

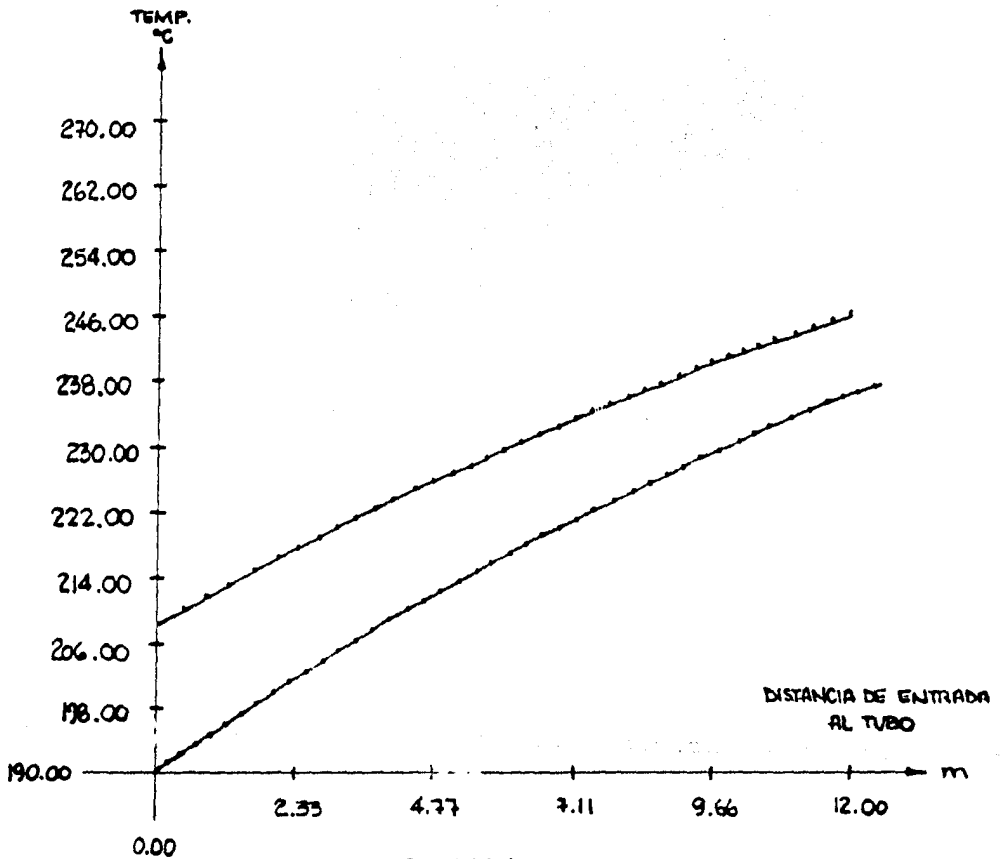
Reescribiendo la ecuación 3.10 como:

$$\frac{h S L}{c c_e} = \frac{C \ln \left[\frac{b + t(x)}{a - t(x)} \right]}{f} \cdot \frac{A b + t(x)}{f} \quad (3.12)$$

y fijando los valores:

$$v = 5 \text{ m/s} \quad T = 20^\circ \text{C}$$

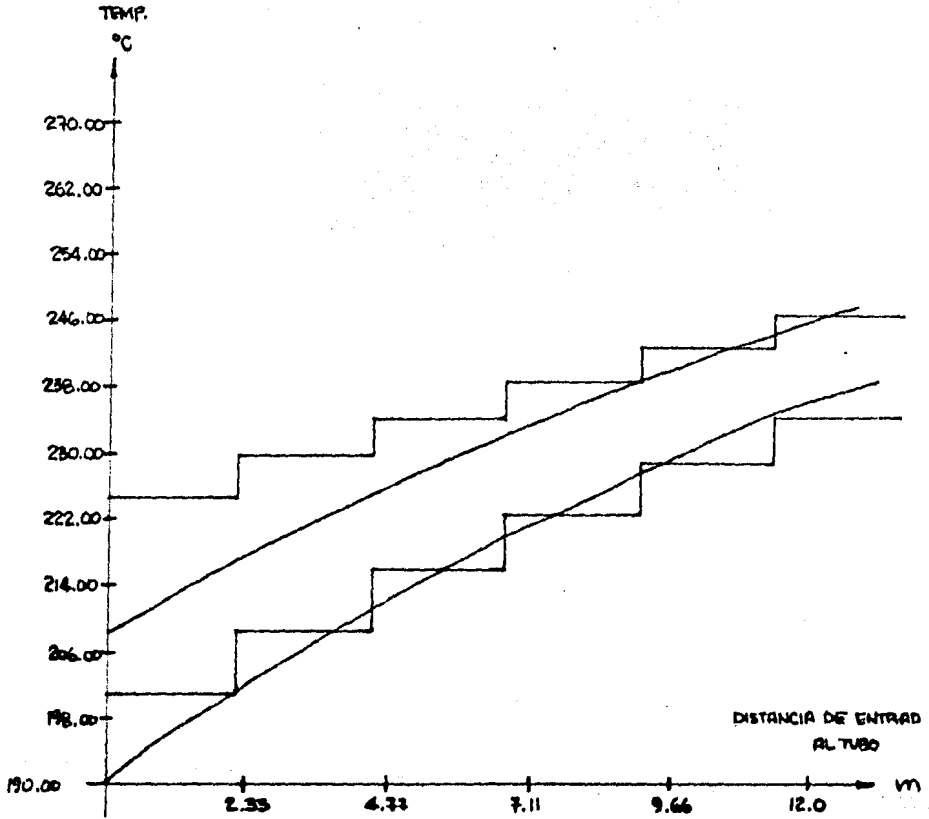
$$T_1 = 190^\circ \text{C}$$



GRAFICA 1

SOLUCION EXACTA (RUNGE-KUTTA): CURVA LLENA
 SOLUCION APROXIMADA: CURVA PUNTEADA

$$\begin{aligned}
 T_i &= 190 \text{ }^\circ\text{C} \\
 T_d &= 240 \text{ }^\circ\text{C} \\
 R_d &= 300 \text{ W/m}^2 \\
 \dot{m} &= 60.68 \text{ Kg/hr}
 \end{aligned}$$



GRAFICA 2.

SOLUCION EXACTA (RUNGE-KUTTA): CURVA SUAVE

SOLUCION APROXIMADA: CURVA ESCALONADA (DISCRETIZACION DEL TUBO)

$T_i = 190 \text{ } ^\circ\text{C}$

$T_d = 240 \text{ } ^\circ\text{C}$

$R_a = 300 \text{ w/m}^2$

$m = 60.68 \text{ kg/hr}$

se obtiene la siguiente tabla (tabla I) de valores en la que se muestran los valores de flujo en Kg/hr necesarios para obtener diferentes incrementos en la temperatura del aceite para distintos valores de radiación solar. Se muestra también el valor de la radiación disponible

$$r_a = R_a - R_a^c$$

calculada usando 3.2.a y 3.4 en función de la temperatura de salida

$$T_d = T_i + \Delta T$$

Los lugares marcados con guión corresponden a valores negativos de la radiación

$$r_a$$

o sea, radiación incidente menor que la radiación mínima.

3.4 Otras simplificaciones a la solución de estado estable.

A partir de la primera simplificación se tiene la siguiente ecuación diferencial a resolver

$$m C_f \frac{dt(x)}{dx} = \frac{\alpha r_a - h' S_c t}{1 + \frac{S_c}{c_i} + \frac{h' (t_f, m)}{c_f}} \quad (3.0)$$

$$t(L) = 0$$

El siguiente nivel de simplificación consiste en considerar

Ti	Td	Radiac.	r	m	DT
gr. C.	gr. C.	W/m2	a	kg/hr	gr. C.
			c		
			Ra-Ra		
	200		12.03	55.106	10
	210		0.88	9.910	20
190	220	200	-	-	30
	230		-	-	40
	240		-	-	50
	200		112.03	429.673	10
	210		100.88	196.423	20
190	220	300	89.68	120.129	30
	230		78.41	82.907	40
	240		67.07	60.680	50
	200		212.03	815.420	10
	210		200.88	385.660	20
190	220	400	189.68	244.980	30
	230		178.41	175.427	40
	240		167.07	133.676	50
	200		312.03	1203.935	10
	210		300.88	577.967	20
190	220	500	289.68	371.530	30
	230		278.41	269.542	40
	240		267.07	208.618	50
	200		412.03	1593.690	10
	210		400.88	771.263	20
190	220	600	389.68	499.910	30
	230		378.41	364.874	40
	240		367.07	284.424	50

TABLA 1

VALORES DEL FLUJO NECESARIO PARA OBTENER DISTINTOS INCREMENTOS DE TEMPERATURA DEL ACEITE. SE CONSIDERA: VEL. VIENTO = 5 m/s Y TEMP. AMBIENTE = 20 gr. C.

$$\frac{h'_c}{h_f} \ll 1 \quad (3.13)$$

$$h'_c = h_c + 4 \text{ sig eps } (T_d + 273)^3$$

$$h_f = K_1 + K_2 m^{0.8} (T_d + t_f)$$

que significa suponer que la energía transferida de la pared del tubo colector al fluido es mucho mayor que la transferida del tubo al medio ambiente por convección.

Esta suposición se ve favorecida cuando se tiene un colector con tubo envolvente, como en el prototipo, o cuando el colector funciona con valores altos de flujo másico debido a la turbulencia de éste.

Utilizando 3.13 en 3.8 y considerando

$$S_{ce} \text{ aproximadamente igual a } S_{ci}$$

se puede escribir 3.8 de manera simplificada como:

$$m C_f \frac{dt(x)}{dx} = a \alpha r - \frac{h'_c S}{c_{ce}} t(x) ; t(L)=0 \quad (3.14)$$

cuya solución es

$$t(x) = \frac{a \alpha r}{h'_c S / c_{ce}} \left[1 - \exp \left(- \frac{h'_c S}{c_{ce} m} \left(\frac{L-x}{m} \right) \right) \right] r(T) \quad (3.15)$$

que viene a ser una aproximación de la solución 3.11 bajo la

suposición 3.13.

Utilizando la condición de frontera

$$t_f(0) = 0$$

en vez de

$$t_f(L) = 0$$

se llega a

$$t_f(x) = \frac{\alpha}{h' S / c_{ce}} \left[1 - \exp \left[- \frac{h' S / c_{ce}}{c_f m} x \right] \right] r_a(T) \quad (3.15.A)$$

que igualmente viene a ser una aproximación a la solución 3.11.A bajo la suposición 3.13.

Una nueva simplificación resulta de observar que para valores altos del flujo másico

.

las exponenciales en 3.15 y 3.15.A se pueden aproximar por los primeros términos de su serie de Taylor alrededor del 0:

$$\exp \left[- \frac{h' S / c_{ce}}{c_f m} (L-x) \right] = 1 + \frac{h' S / c_{ce}}{c_f m} (L-x) + \dots \quad (3.16)$$

En (6) se ve que la aproximación 3.16 da lugar a un error menor del 10% para

$$m > 0.0244 \text{ kg/s} = 88 \text{ kg/hr}.$$

Usando la aproximación 3.16 se tiene la siguiente expresión lineal para el perfil de temperaturas del fluido correspondiente a la ecuación 3.15

$$t_f(x) = T_f(x) - T_d = - \frac{\alpha}{C_f} \cdot \frac{L-x}{m} \cdot r(T) \quad (3.17)$$

y para la ecuación 3.15.A

$$t_f(x) = T_f(x) - T_i = - \frac{\alpha}{C_f} \cdot \frac{r(T)}{m} \quad (3.17.A)$$

En las siguientes gráficas (3,4,5) se muestran los perfiles obtenidos de la temperatura del fluido con las aproximaciones 3.11.A, 3.15.A y 3.17.A, marcadas con 1,2,3 respectivamente para distintas condiciones de funcionamiento (estado estacionario).

La curva punteada, que se superpone prácticamente a la curva 1, es el perfil obtenido integrando 3.1 y 3.2 mediante el método de Runge-Kutta.

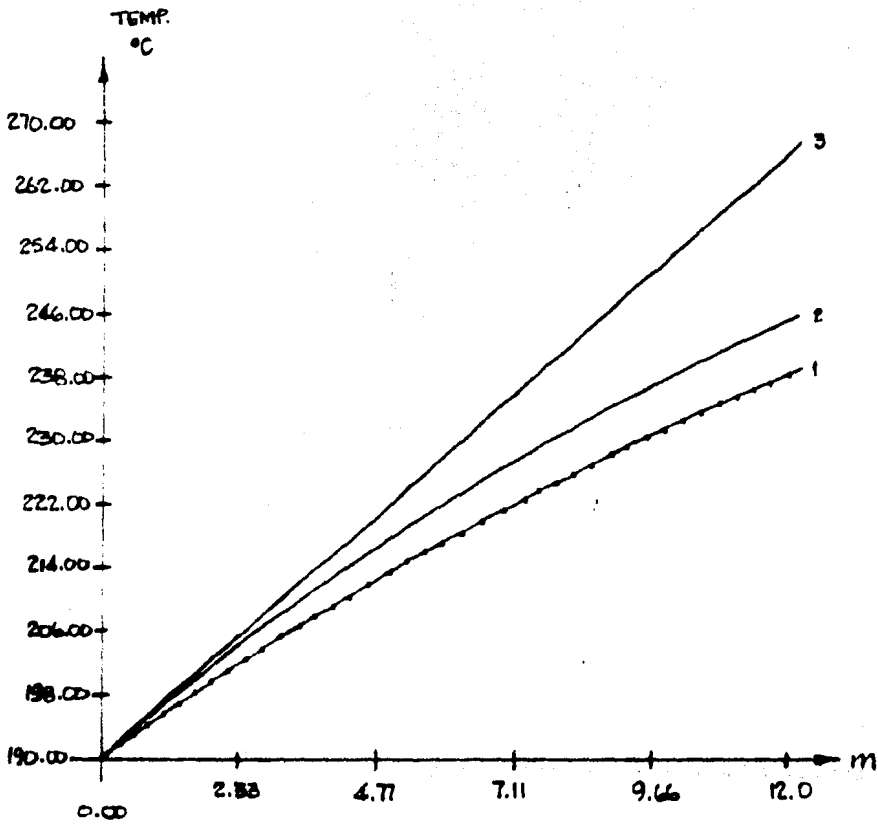
El hecho de que la aproximación 3.17.A (curva 3) de siempre perfiles más altos que el real (curva punteada) era de esperarse debido a las sucesivas simplificaciones introducidas al considerar cada vez más que el coeficiente de pérdidas sobre el perfil es menor que en la aproximación anterior.

Finalmente a partir de 3.17 se puede obtener una relación simple entre las variables atmosféricas, los parámetros del sistema y el flujo másico que permite determinar este último en función de la temperatura de salida deseada del fluido.

Se tiene

$$T_f(x) - T_d = - \frac{\alpha}{C_f} \cdot \frac{L-x}{m} \cdot r(T) \quad (3.17)$$

tomando

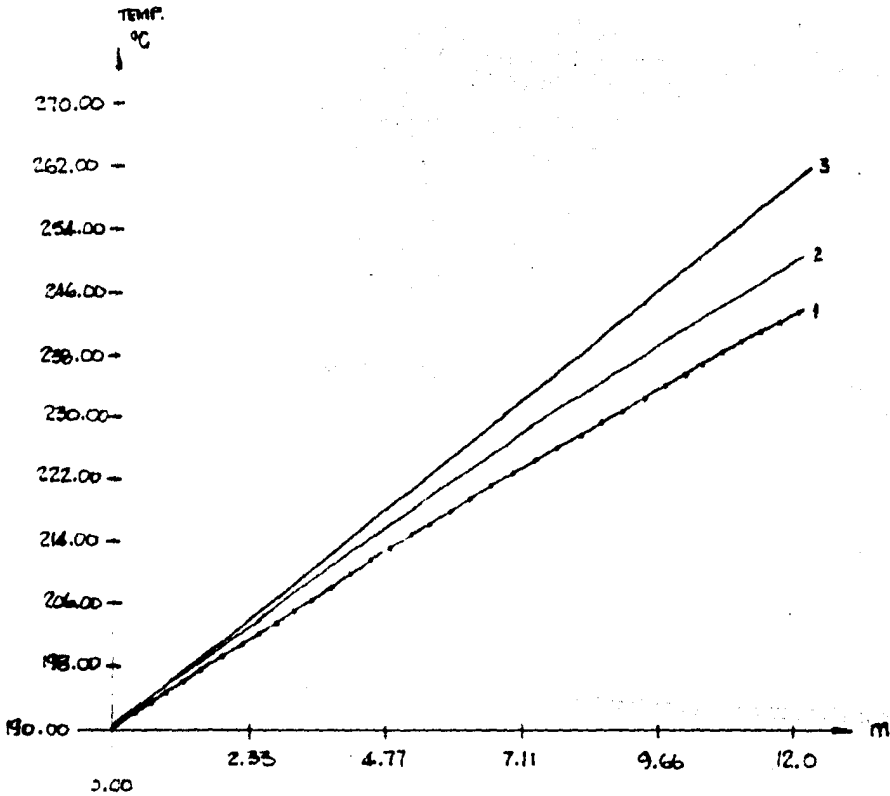


GRAFICA 3

PERFILES DE TEMPERATURA DEL FLUIDO DENTRO DEL TUBO ABSORVEDOR PARA LAS 3 DIFERENTES APROXIMACIONES:

$$R_a = 300 \text{ w/m}^2$$

$$\dot{m} = 60 \text{ kg/seg}$$

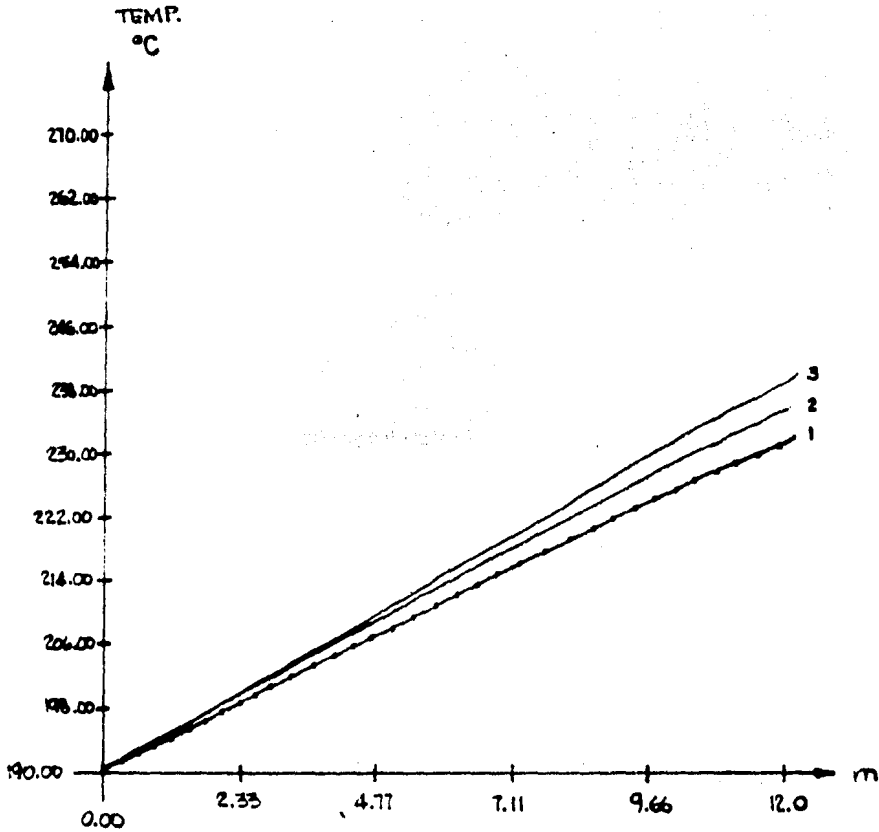


GRAFICA 4

PERFILES DE TEMPERATURA DEL FLUIDO DENTRO
DEL TUBO ABSORVEDOR PARA LAS 3 DIFERENTES
APROXIMACIONES.

$$R_a = 400 \text{ w/m}^2$$

$$\dot{m} = 120 \text{ Kg/seg}$$



GRÁFICA 5

PERFILES DE TEMPERATURA DEL FLUIDO DENTRO
DEL TUBO ABSORVEDOR PARA LAS 3 DIFERENTES
APROXIMACIONES.

$$R_a = 500 \text{ w/m}^2$$

$$\dot{m} = 250 \text{ kg/seg}$$

$$x = 0 \implies T(0) = T_i$$

queda

$$T_i - T_d = - \frac{\alpha}{C_f} \cdot \frac{1}{m} \cdot r(T)$$

de donde

$$m = \frac{\alpha L}{C_f} \cdot \frac{r(T)}{T_i - T_d}$$

y finalmente

$$m = \frac{\alpha L}{C_f} \cdot \frac{R_a - R_a^c}{T_d - T_i} \quad (3.18)$$

que es la ecuación de control deducida en (6) para el funcionamiento del colector en estado estacionario.

En (6) se concluye que esta ecuación da una estructura de controlador en estado estable que puede tener interés práctico cuando se trata de compensar perturbaciones medibles de baja frecuencia, en la radiación R_a y en la temperatura de entrada T_i .

La dificultad en su uso radica en la necesidad de conocer la radiación mínima

$$\frac{C}{R_a}$$

que depende, a través de constantes no siempre bien conocidas, de la temperatura de operación y de las variables atmosféricas (ecuación 3.3).

Se sugiere el uso de 3.18 en una planta real identificando el valor de

$$\frac{C}{R_a}$$

y esto sin afectar el hecho de que se pueda superponer una señal de control proveniente de un regulador lineal que tienda a compensar las perturbaciones atmosféricas alrededor del valor promedio utilizado para calcular

c
Ra

CAPITULO 4

APLICACION DE LA FORMULA DE CONTROL PARA
ESTADO ESTACIONARIO AL MODELO DEL COLECTOR SOLAR

4.1 Introducción

En este capítulo se presentan las pruebas hechas con la fórmula de control deducida en el capítulo anterior

$$m = \frac{\alpha L}{C} \left[\frac{R_a - R_a^c}{T_d - T_i} \right] \quad (4.1)$$

sobre el modelo del colector solar.

Primero se reescribe 4.1 de tal manera que solo dependa de dos parámetros, A y B. Después, mediante una serie de pruebas, se obtienen varias parejas de valores A,B que probándose en la fórmula de control arrojan distintos perfiles de temperatura de salida del fluido a lo largo del día. Finalmente se escogen como valores definitivos para la fórmula de control aquellos que controlan mejor el sistema en su evolución dinámica durante el día. Con esos valores se harán todas las pruebas del controlador.

4.2 Obtención de los parámetros de la fórmula de control.

En el capítulo anterior se vió que la radiación mínima R_a con la que puede operar el colector es función tanto de las variables atmosféricas como de la temperatura de salida deseada

$$Ra_c = (\alpha a)^{-1} \left[\frac{S}{c} \epsilon_s \left((T_s + 273)^4 - T_d^4 \right) + h_s (T_s - T_d) \right] \quad (4.2)$$

También se mencionó que el principal problema para la obtención del valor de la radiación mínima es que se desconocen los valores reales de las variables atmosféricas. Por esto se supondrá que la radiación mínima

$$Ra_c$$

depende linealmente de la temperatura deseada de salida del fluido

$$T_d$$

a través de una constante B en la que van incluidas implícitamente todas las variables atmosféricas involucradas. Es decir, se considerará

$$Ra_c = B * T_d \quad (4.3)$$

En realidad esta suposición no se aleja mucho de la verdadera dependencia de la radiación disponible

$$Ra_c \text{ con } T_d$$

y se puede ver enseguida.

En primer lugar, para la obtención de la radiación mínima 4.2 se supuso un colector sin envolvente. En realidad el tubo envolvente favorece la suposición 4.3 ya que disminuye considerablemente las pérdidas por convección al medio ambiente.

Además, considerando los siguientes valores para las variables y parámetros:

σ	$= 5.669 \times 10^{-8}$	constante de Steffan-Boltzman
ϵ_c	$= 0.09$	emitancia del absorvedor (cobre)
S_{ce}	$= 0.0286 \times 3.1416 \text{ m}$	perimetro exterior del absorvedor (cobre)
T_a	$= 20^\circ \text{ C}$	temperatura ambiente
T_s	$= T_a + 273 - 4$	temperatura de cielo
h_c	$= 5.7 + 3.8 v(t)$	coeficiente de convección con $v(t) = 5 \text{ m/s}$
T_d	$= 250^\circ \text{ C}$	temperatura de salida deseada
alfa	$= 0.87$	absortancia del tubo absorvedor (cobre)
a	$= 2.5 \text{ m}$	apertura de captación del espejo

* en este punto así como en todos los que involucren valores de las variables físicas del colector se considerarán los obtenidos en (9).

se tiene

$$Ra_c = (\text{alfa } a)^{-1} \left[\frac{S_{ce}}{\epsilon_c} \left((T_s + 273)^4 - T_d^4 \right) + \frac{S_{ce}}{h_c} (T_s - T_d) \right]$$

$$Ra_c = 0.46 (31.05 + 510.44)$$

$$Ra_c = 14.28 + 234.80$$

Es claro que la contribución del primer término, que depende de

$$\frac{T_d}{d}$$

es menor del 10% de la contribución del segundo término, que depende linealmente de

$$T_d$$

lo cual justifica la validez de la suposición sugerida.

El primer factor del lado derecho de 4.1 es constante de donde se puede reescribir 4.1 como:

$$\dot{m} = A \left[\frac{Q(t) - B T_d}{T_d - T_i} \right] \quad (4.3)$$

con

$$Q(t) = Ra$$

$$A = \frac{\alpha L}{C}$$

Para obtener valores representativos de A y B se procedió a tomar distintos grupos de valores constantes para

$$\dot{m} ; Q(t) ; T_i$$

dejando evolucionar el modelo (planteado en el capítulo 2) hasta que se estabilizara la temperatura de salida del fluido

$$T_d$$

Los valores constantes dados a las variables antes mencionadas fueron tales que el valor de la temperatura final de salida estable que se obtuviera fuera siempre cercano a 250 grados centígrados, que es el valor requerido como temperatura de operación en el diseño de la planta.

En la tabla 1 se presentan algunos de los diferentes grupos de valores utilizados para estas variables así como la temperatura de salida obtenida en cada caso. Solo se presentan las gráficas de estabilización de temperatura para los grupos 2, 6 y 7 (gráficas 1,2,3). Los demás casos tienen un comportamiento análogo.

Habiendo hecho esto se tomaron parejas de grupos

$$\dot{m}_1, Q_1, T_{i1}, T_{d1} \quad \text{y} \quad \dot{m}_2, Q_2, T_{i2}, T_{d2}$$

para formar el par de ecuaciones

$$\dot{m}_1 = A \left[\frac{Q_1 - B \dot{T}_{d1}}{T_{d1} - T_{i1}} \right] \quad (4.4)$$

$$\dot{m}_2 = A \left[\frac{Q_2 - B \dot{T}_{d2}}{T_{d2} - T_{i2}} \right] \quad (4.5)$$

En 4.4 y 4.5 se tienen las dos ecuaciones necesarias para obtener valores de A y B que cumplan con producir una temperatura de salida adecuada. De 4.4 y 4.5 resulta

$$A = \frac{\dot{m}_1 (T_{d1} - T_{i1})}{Q_1 - B \dot{T}_{d1}} \quad (4.6)$$

$$B = \frac{\dot{m}_1 Q_2 (T_{d1} - T_{i1}) - \dot{m}_2 Q_1 (T_{d2} - T_{i2})}{\dot{m}_1 T_{d2} (T_{d1} - T_{i1}) - \dot{m}_2 T_{d1} (T_{d2} - T_{i1})} \quad (4.7)$$

En la tabla 2 se muestran algunos de los valores de A y B obtenidos al combinar los diferentes grupos de valores de la tabla 1 en 4.6 y 4.7. Las combinaciones de los diferentes grupos se tomaron al azar procurando solamente que la temperatura promedio de salida del fluido fuera cercana a los 250 grados centígrados.

4.3 Aplicación de la fórmula de control al modelo del colector.

4.3.1 Introducción

Teniendo varias parejas de valores A, B el objetivo entonces es probar cuales de esos valores producen el mejor control de la temperatura de salida del fluido en el colector.

4.3.2 Tiempos de respuesta del sistema. Intervalo de muestreo.

Para poder ver el efecto que tiene la fórmula de control en el modelo de la planta es necesario definir el intervalo de muestreo a usar. Para definirlo debe obtenerse el tiempo de respuesta del sistema en varias condiciones.

Cualitativamente es claro que la dinámica del sistema está determinada principalmente por el flujo másico, es decir, se espera que la respuesta del sistema a cambios en la señal de control

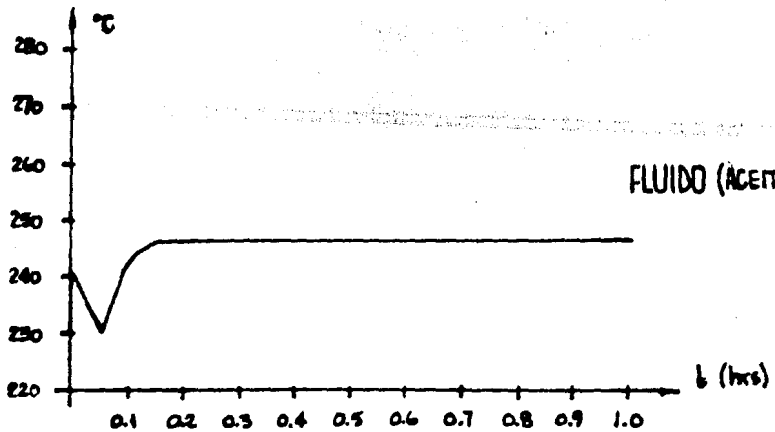
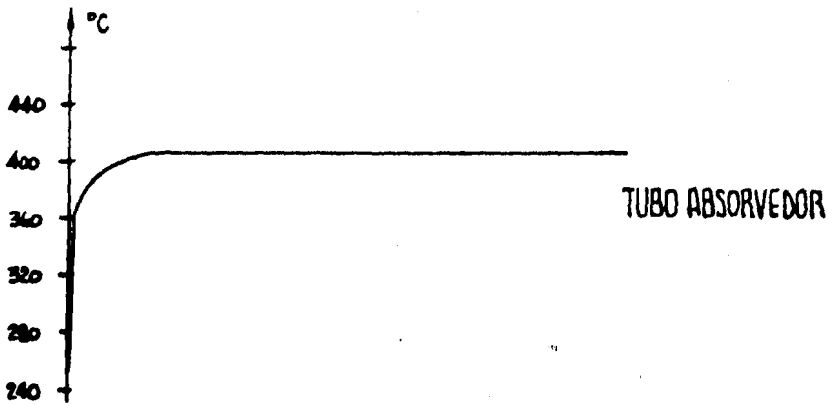
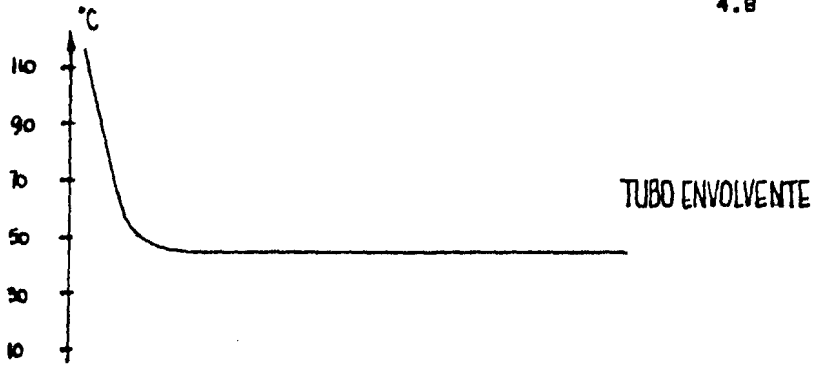
.

m

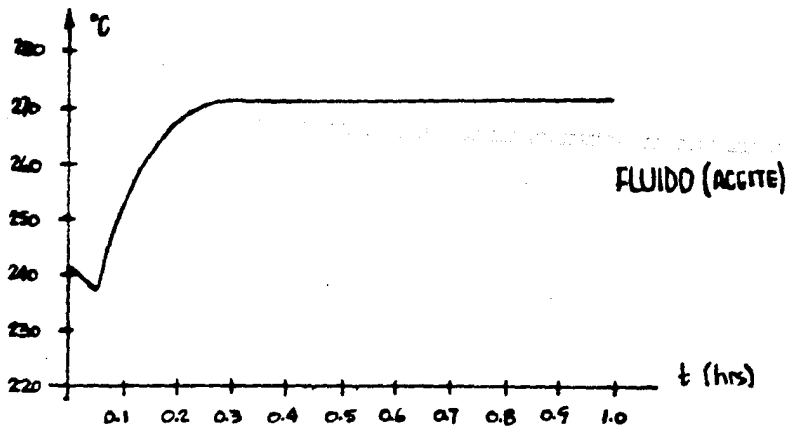
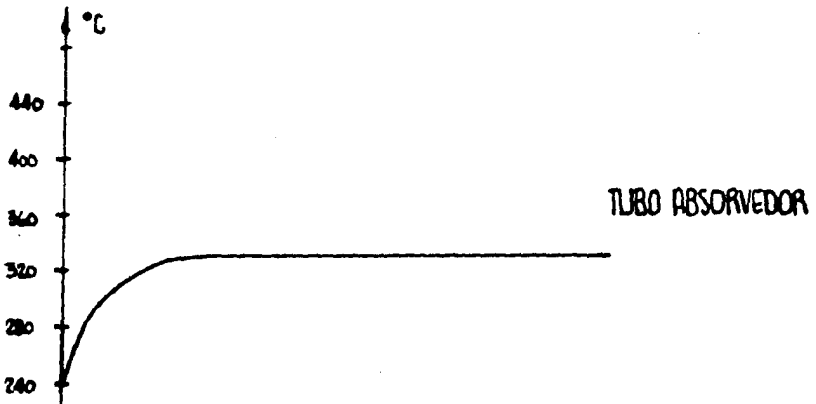
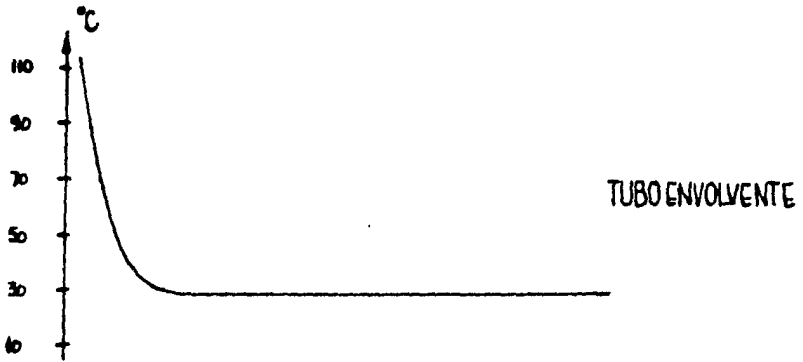
sea más rápida cuanto mayor sea la señal de control. Teniendo esto en mente se puede obtener el tiempo de respuesta del sistema para distintos valores de la señal de control.

TABLA 1

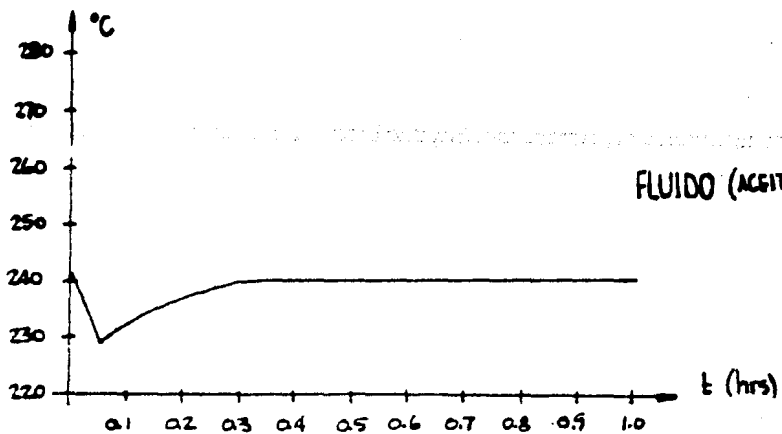
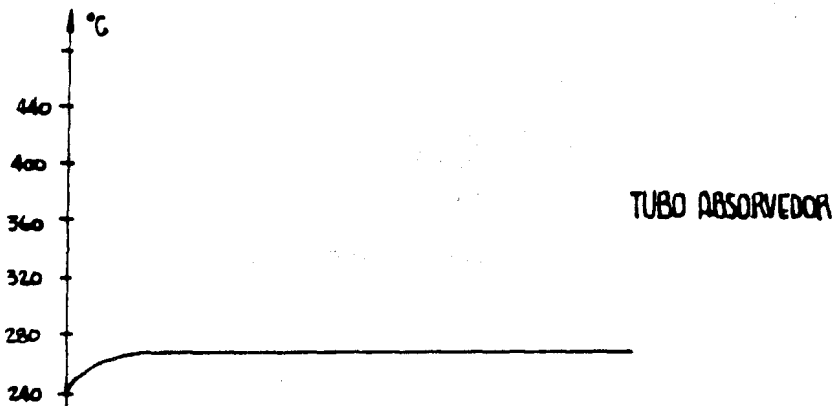
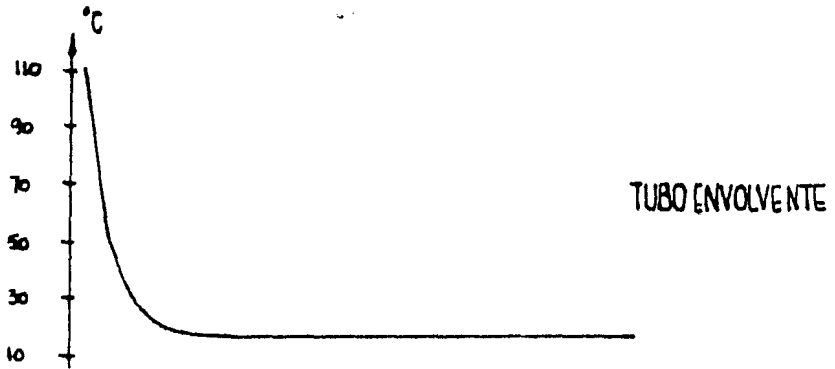
GRUPO	\dot{m} (kg/s)	Q (J/m ²)	T _i (gr.C)	T _d (gr.C)
1	250 / 3600	600	180	259.42
2	250 / 3600	500	180	246.56
3	200 / 3600	500	180	262.73
4	200 / 3600	400	180	246.50
5	150 / 3600	300	180	246.14
6	70 / 3600	200	180	271.53
7	50 / 3600	100	180	241.30



GRAFICA I



GRAFICA 2



GRAFICA 3

TABLA 2

GRUPOS	A	B
2 y 5	0.0093	0.019
2 y 4	0.0092	0.007
2 y 6	0.0090	0.042
2 y 7	0.0098	0.126
2 y 3	0.0100	0.160
3 y 5	0.0092	0.002
1 y 6	0.0093	0.030
1 y 5	0.0091	0.001

El análisis del tiempo de respuesta se hace dejando evolucionar el sistema con un valor fijo de la señal de control y valores constantes en las variables

$$Q, T, T, v$$

$$d \quad i$$

hasta que se establezca la temperatura de salida del sistema y luego aplicando un escalón en el control de aproximadamente un 5% del valor inicial. Los escalones no deben ser demasiado grandes ya que se alejaría al sistema de su punto de operación. El tiempo de respuesta se maneja como aquel en que la temperatura del fluido llega al 90% de su valor estable final.

En la tabla 3 se resumen los resultados obtenidos.

Las gráficas 4, 5 y 6 son una muestra del comportamiento del sistema durante la estabilización de la temperatura. Estas gráficas corresponden a los renglones 5, 9 y 11 de la tabla 3 respectivamente.

La relación entre el cambio de temperatura de salida del aceite y el flujo másico (dT vs. flujo másico) se presenta en la gráfica 7. La relación entre el tiempo de respuesta del sistema y el flujo másico (t_r vs. flujo másico) se presenta en la gráfica 8.

De los resultados presentados en la tabla 3 es claro que el valor del flujo másico para mantener la temperatura de salida del aceite en 250 grados centígrados con

$$Q = 400 \text{ W/m}^2$$

$$T = 20 \text{ }^{\circ}\text{C}$$

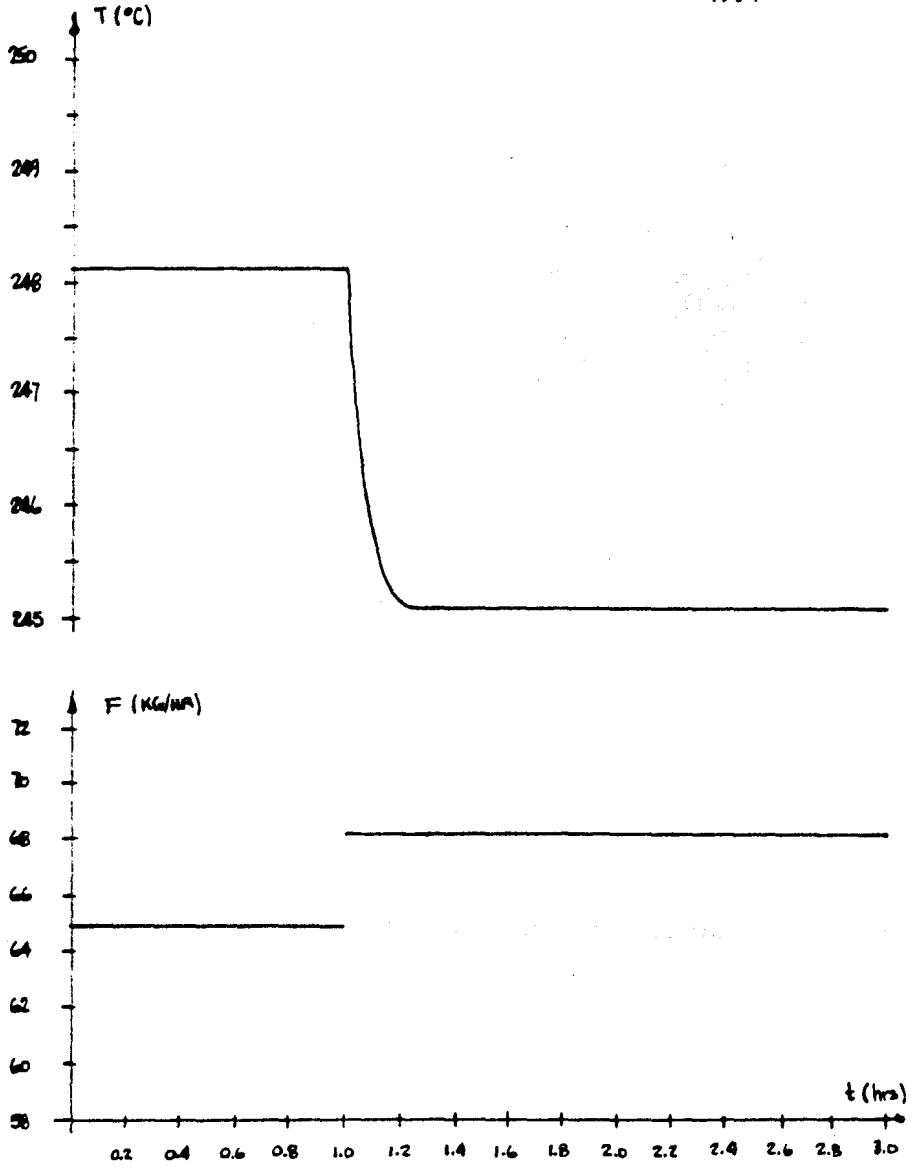
$$v = 5 \text{ m/s}$$

debe estar cercano a los 250 kg/hr. Considerando este como valor de la señal de control (flujo másico) y del análisis de la gráfica t_r vs. flujo másico se puede pensar que el tiempo de resupuesta del sistema en operación es cercano a los 9 min. y ya que

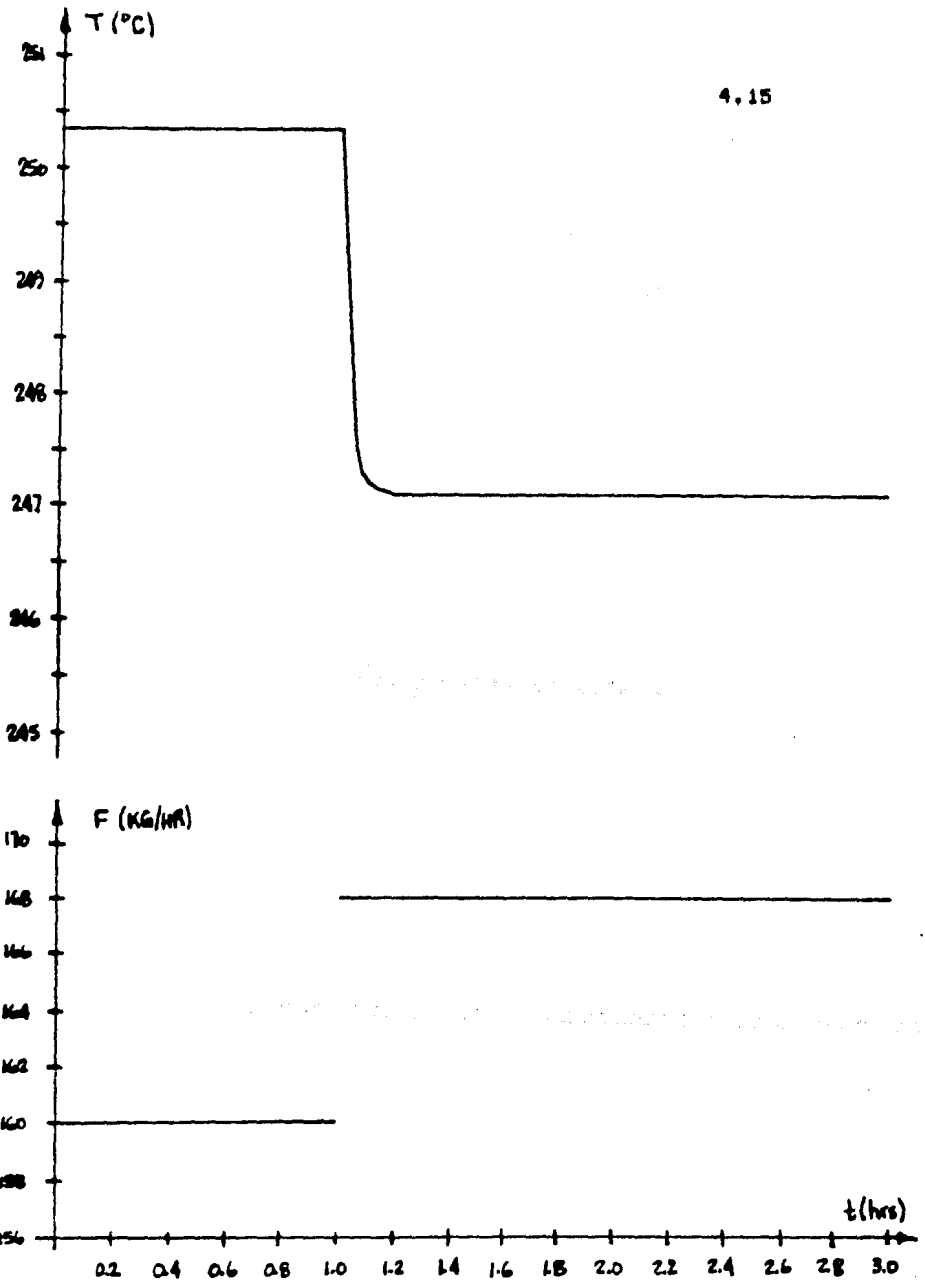
$$t_m \geq t_r / 5 \quad (\text{Teorema de Shannon [22]})$$

TABLA 3

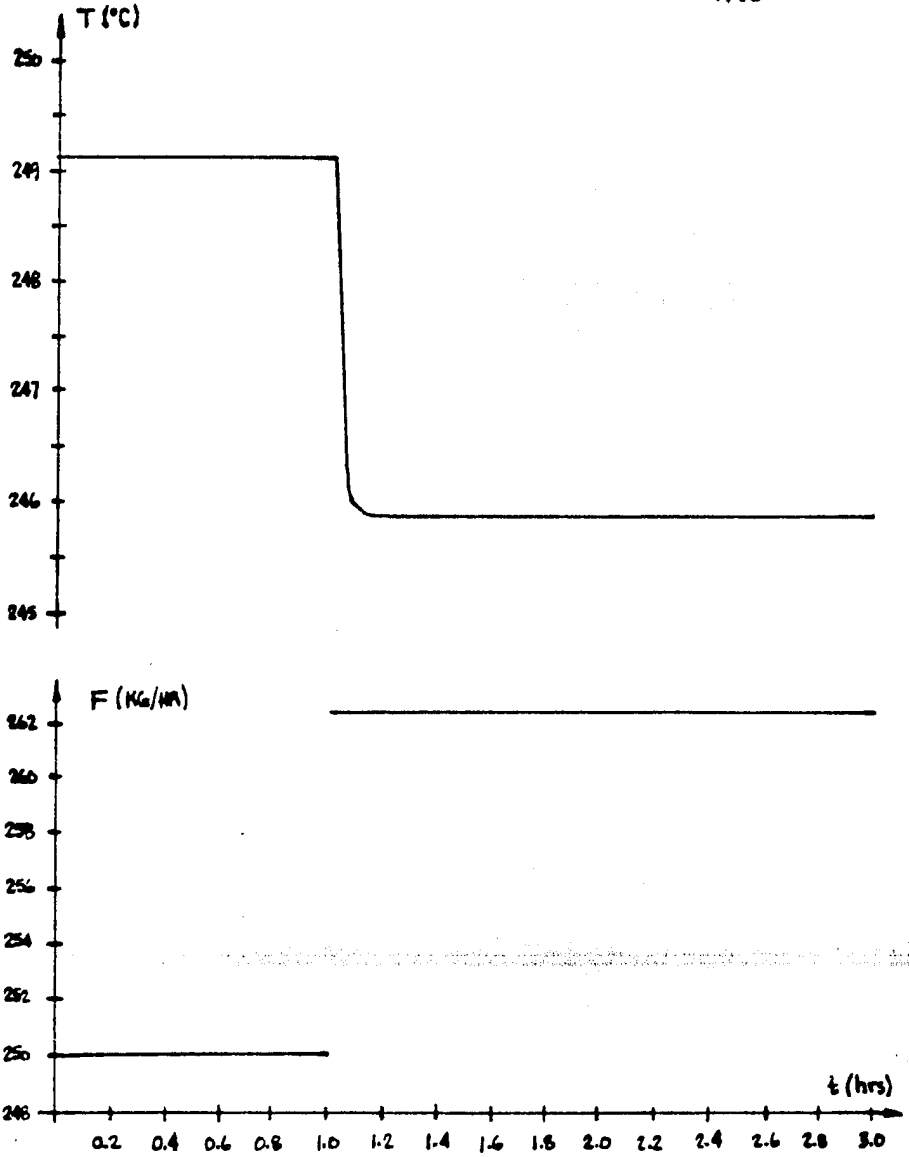
Q (W/m ²)	T _a (°C)	v (m/s)	m (kg/hr)		T (°C)		t (min)
	1		2	1	2		
20	10	5	10.0	10.5	214.551	213.213	75.75
40	10	5	20.0	21.0	230.382	228.246	50.25
80	10	5	40.0	42.0	239.419	236.768	27.00
100	10	5	48.0	50.4	243.712	240.848	24.50
140	12	5	65.0	68.2	248.138	245.041	20.75
160	12	5	80.0	84.0	244.147	241.208	15.50
210	14	5	100.0	105.0	248.369	245.222	13.62
250	15	5	120.0	126.0	248.381	245.223	12.00
340	20	5	160.0	168.0	250.367	247.105	9.25
400	20	5	200.0	210.0	246.496	243.402	10.37
520	20	5	250.0	262.5	249.151	245.929	8.62
600	25	5	300.0	315.0	246.483	243.381	8.87



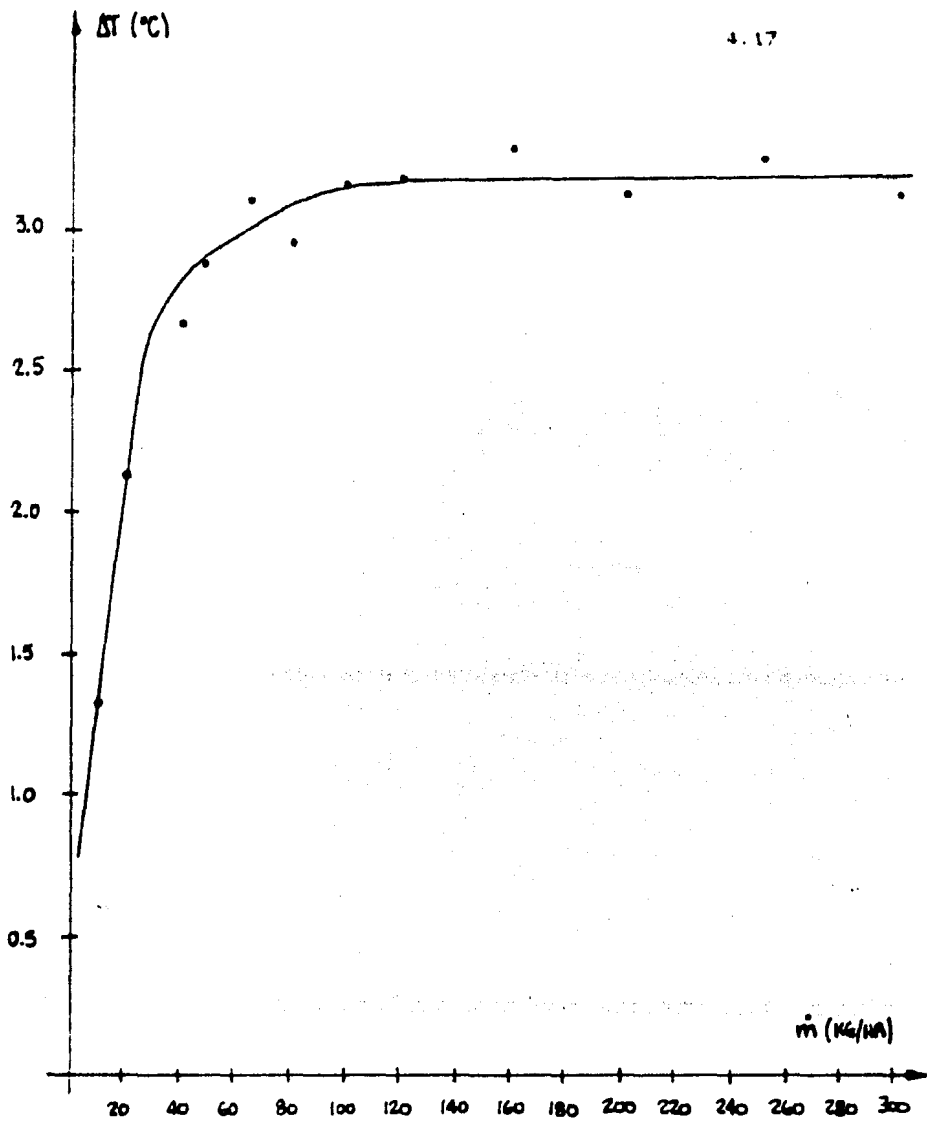
GRAFICA 4



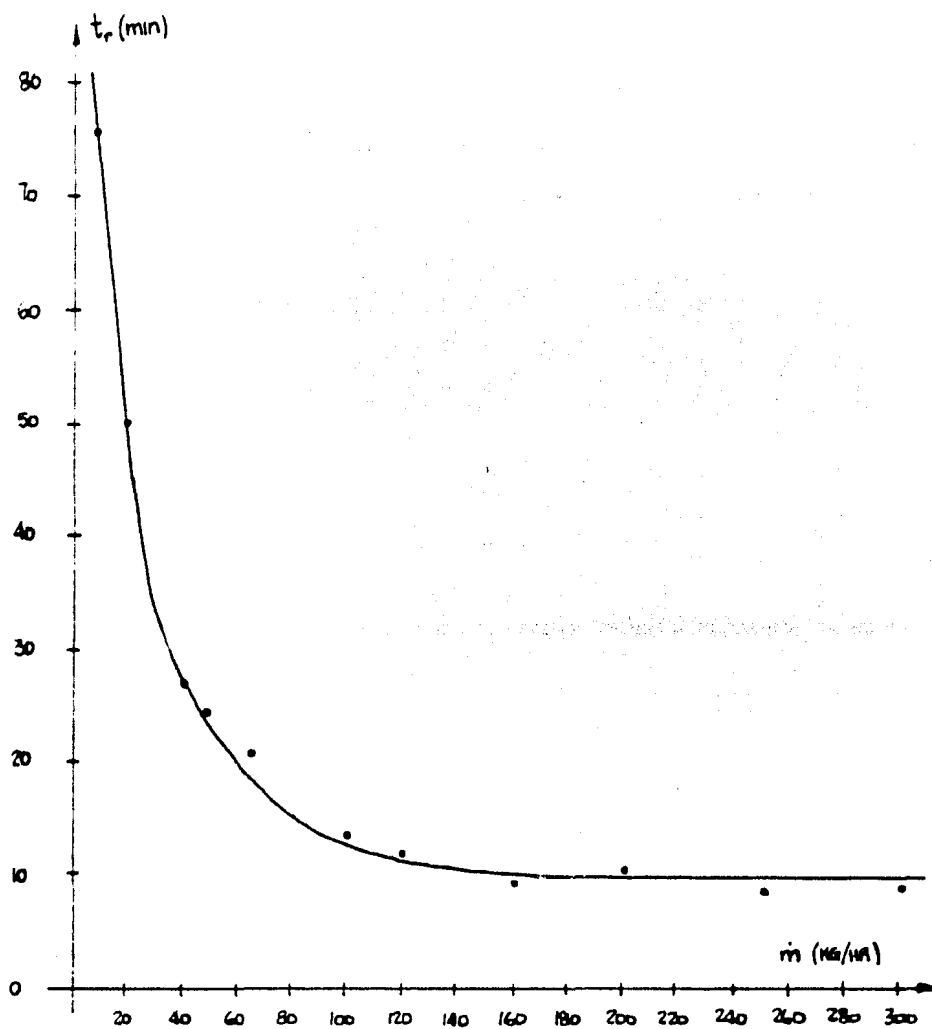
GRAFICA 5



GRAFICA 6



GRAFICA 7



GRAFICA 8

para todas las pruebas en que se utilice la fórmula de control 4.3 se tomará un tiempo de muestreo de 3 min., valor que podrá cambiar dependiendo de los resultados obtenidos.

4.3.3 Pruebas con los parámetros A y B.

Tomando el intervalo de muestreo de 3 min se probó la fórmula de control 4.3 para diferentes valores de los parámetros A y B.

Para simular la evolución dinámica del sistema en el transcurso del día es necesario tener la evolución durante el día de la radiación solar, la temperatura ambiente, la velocidad de viento y la temperatura de entrada del aceite al colector. Por considerar un modelo con envolvente, la velocidad de viento no tendrá efecto significativo (en relación con las otras variables) sobre el sistema por lo que se mantendrá constante e igual a 5 m/s a menos que se especifique lo contrario. Debido a que se considera que el sistema completo del generador solar funciona en su punto de operación, es decir, que el tanque de almacenamiento siempre provee aceite a temperatura constante e igual a la determinada en el diseño de la planta se tomará la temperatura de entrada constante

$$T_i = 180 \text{ } ^\circ\text{C}$$

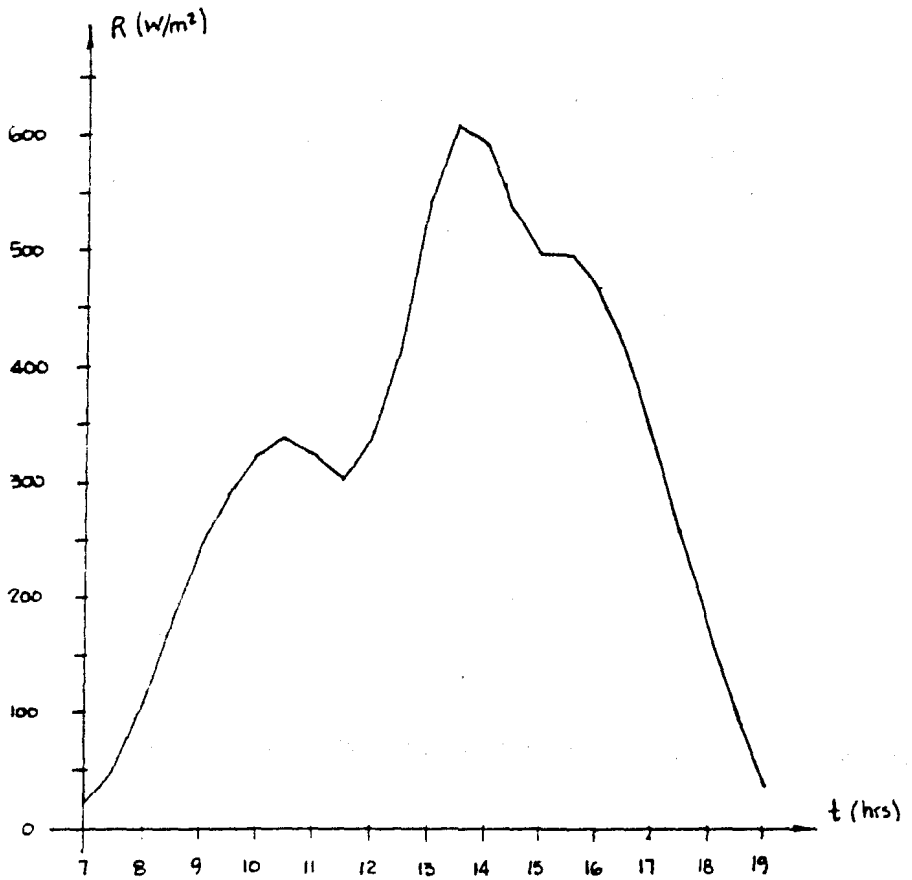
Para la radiación solar y la temperatura ambiente se tomarán los valores dados por su perfil en un día promedio (15), gráficas 9 y 10.

Los resultados de tomar diferentes parejas de valores A , B durante la evolución del sistema durante el día se pueden observar en las gráficas 11, 12, 13 de la temperatura de salida del aceite.

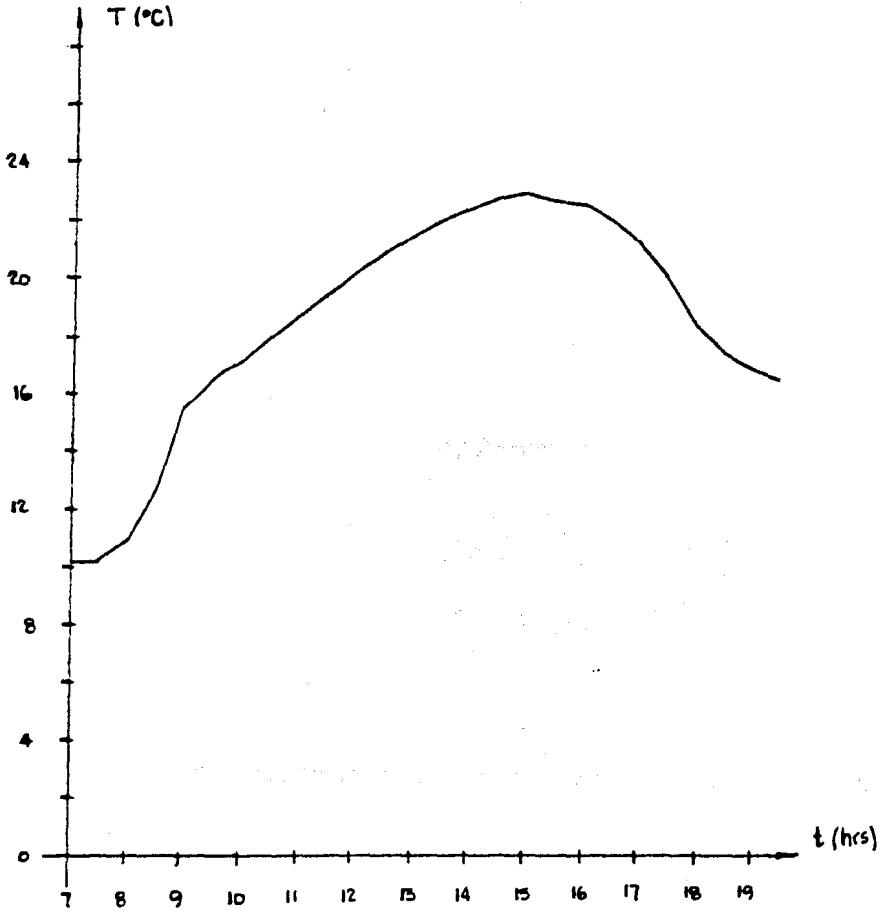
Habiendo deducido la fórmula de control 4.3 para estado estacionario, los resultados obtenidos al aplicar la misma fórmula al sistema ya no en estado estacionario, sino durante su evolución a lo largo de un día promedio, son verdaderamente aceptables y mucho más cuando se toma la pareja de valores

$$A = 0.0093$$

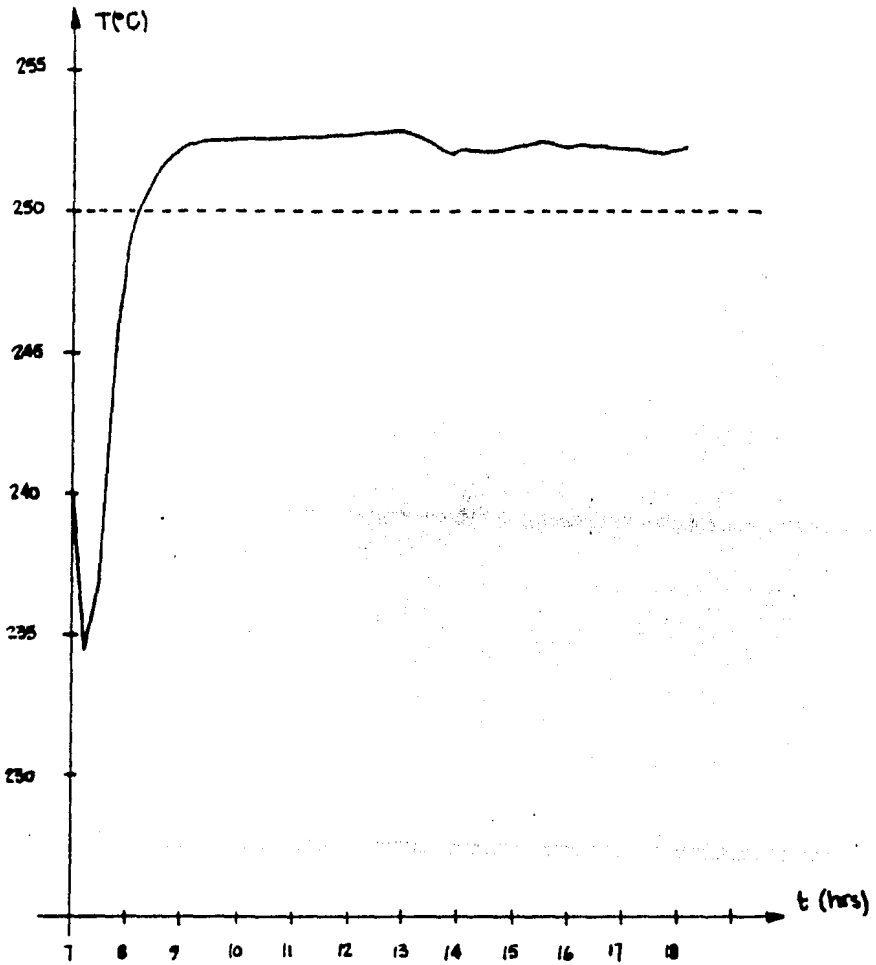
$$B = 0.03$$



GRAFICA 9
RADIACION SOLAR (3 JUNIO-1980)



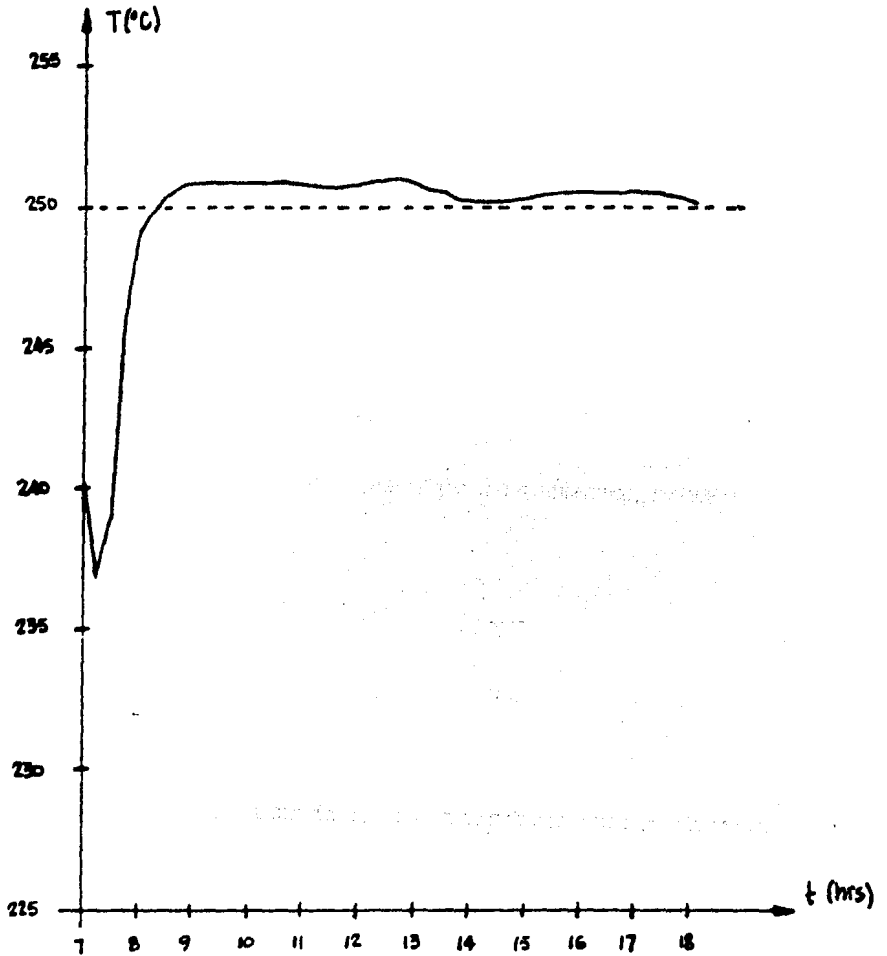
GRAFICA 10
TEMPERATURA AMBIENTE (25-NOVIEMBRE-1979)



GRAFICA 11

$$A = 0.0093$$

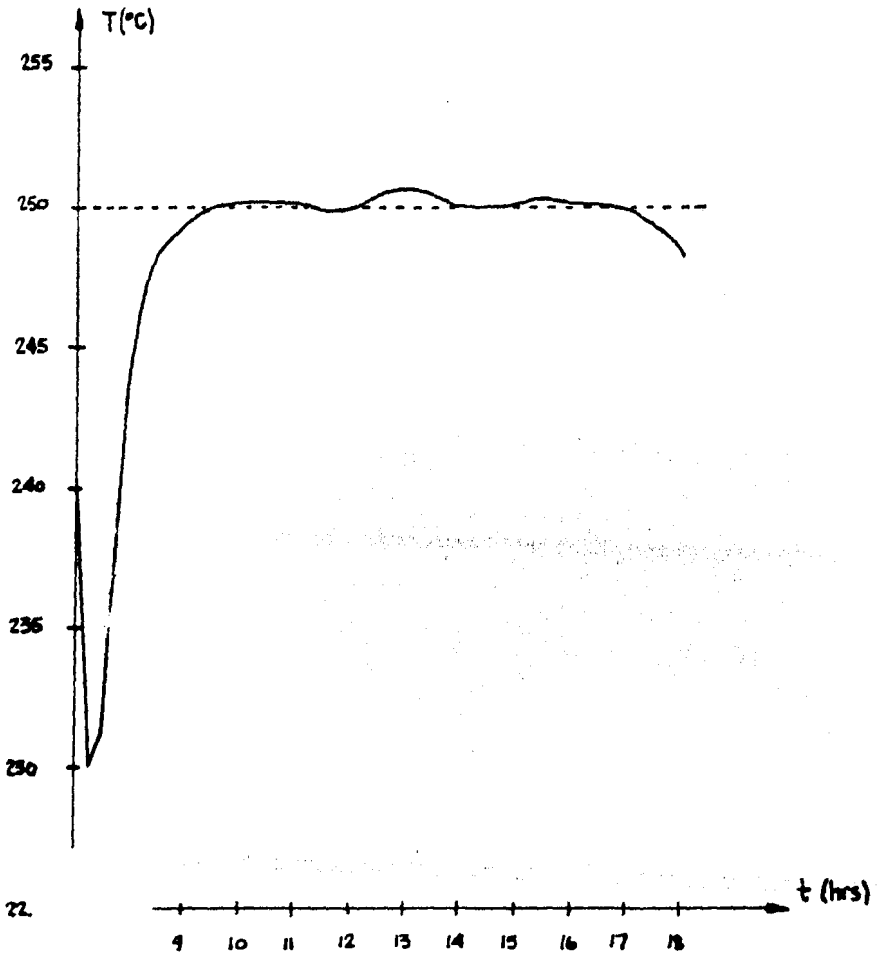
$$B = 0.019$$



GRAFICA 12

$$A = 0.0093$$

$$B = 0.002$$



GRAFICA 13

$$A = 0.0093$$

$$B = 0.03$$

que son los valores que se usarán en todas las pruebas que se hagan más adelante en que se utilice la fórmula de control 4.3.

Debido al buen resultado obtenido se probó la fórmula de control 4.3 con $A = 0.0093$ y $B = 0.03$ pero ahora con un intervalo de muestreo mayor. Es claro que en la práctica es mucho mejor tener un intervalo de muestreo grande y no uno pequeño debido a las limitantes físicas de actuación de las válvulas que controlan el flujo másico del aceite a través del colector.

Los resultados de aplicar la fórmula con un intervalo de muestreo de 5, 10 y 15 minutos se pueden observar en las gráficas 14, 15 y 16.

Finalmente se probó la fórmula de control superponiendo ruido aleatorio a las variables atmosféricas

- radiación solar Q
- temp. de entrada T_i
- temp. ambiente T_a
- vel. de viento v

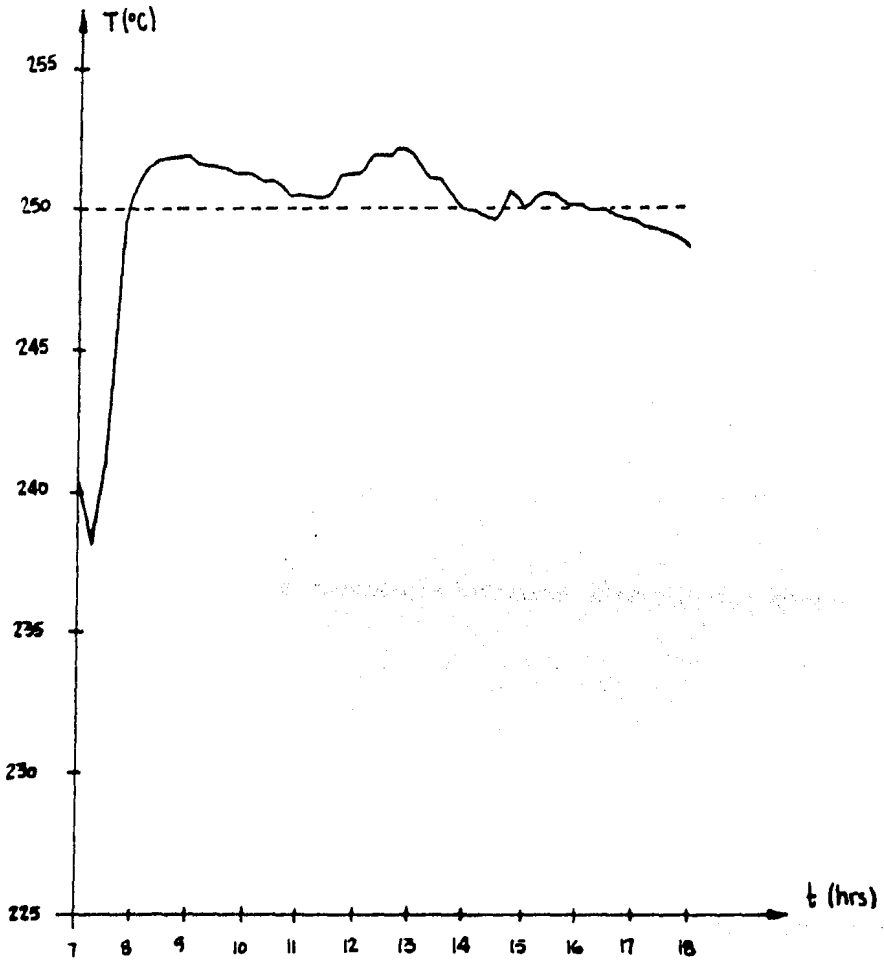
Como valores iniciales de estas variables se consideran

$$- Q(t) = 500 \sin(t + k)$$

$$- v = 5 \text{ m/s}$$

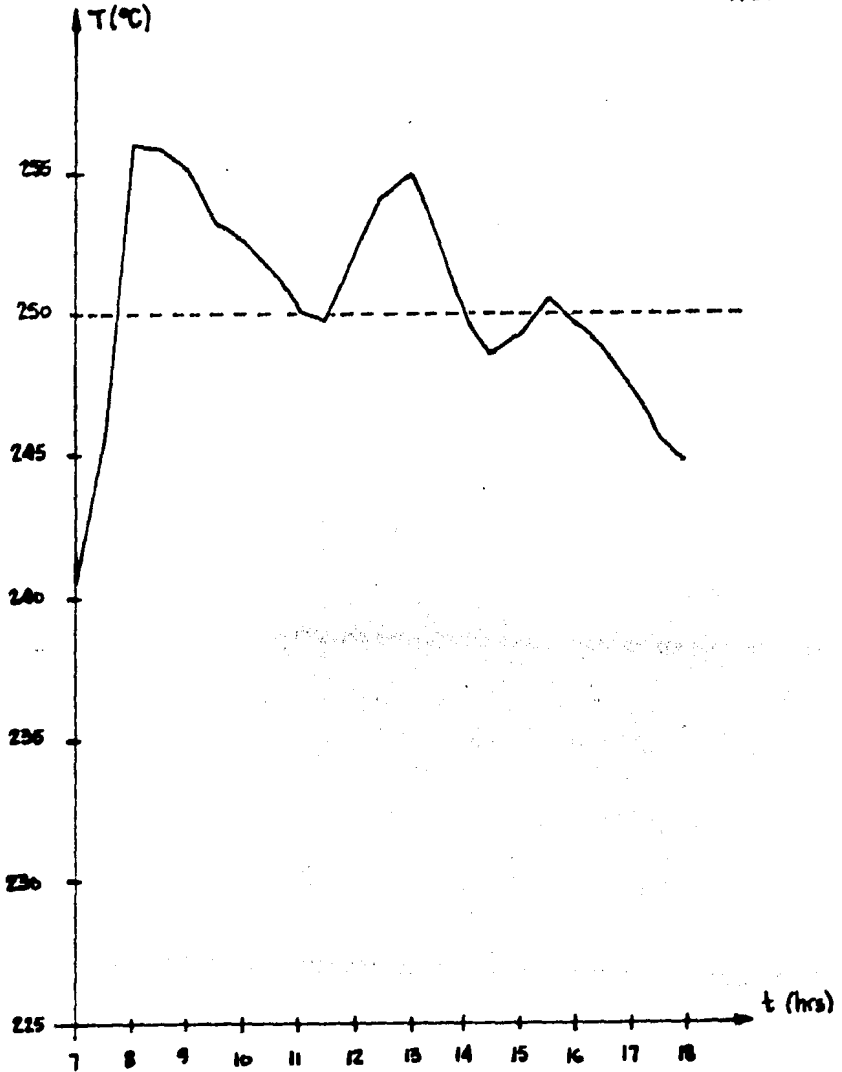
$$- T_a = 25^\circ \text{ C}$$

$$- T_i = 180^\circ \text{ C}$$



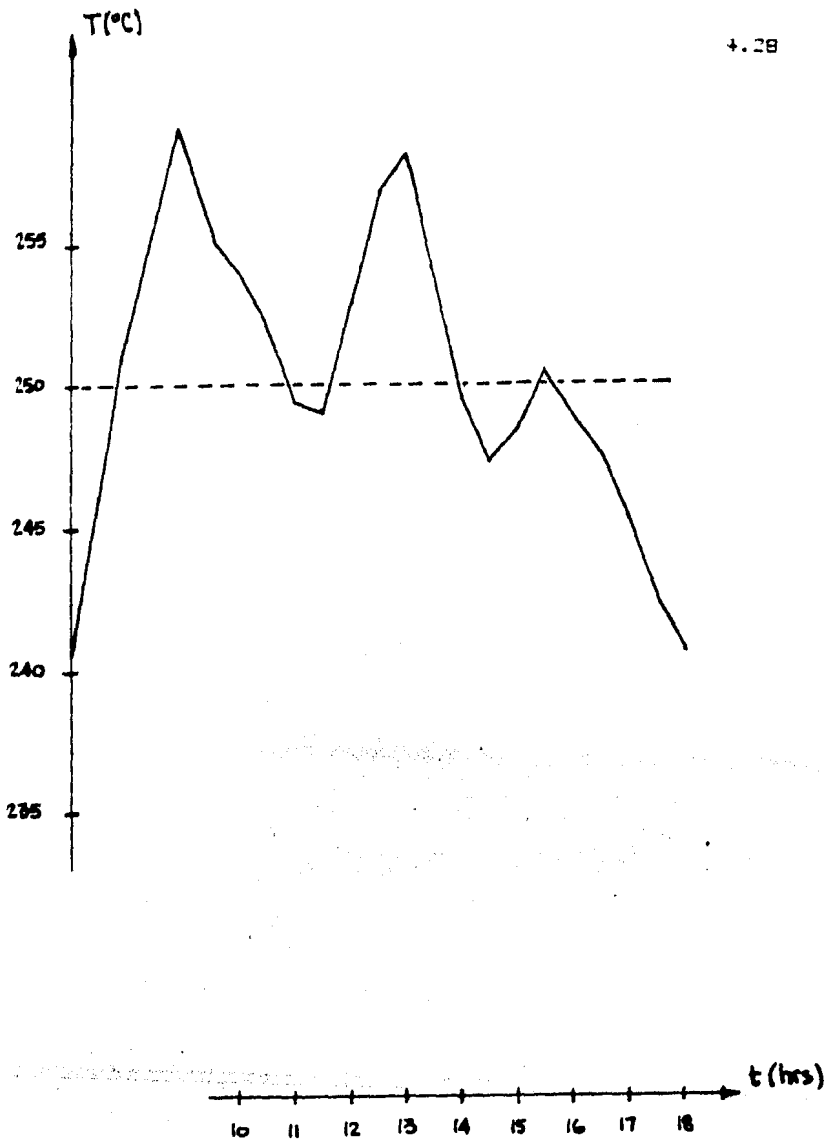
GRAFICA 14

 $t_m = 5 \text{ min.}$



GRAFICA 15

 $t_m = 10 \text{ min.}$



GRAFICA 16

$t_m = 15 \text{ min.}$

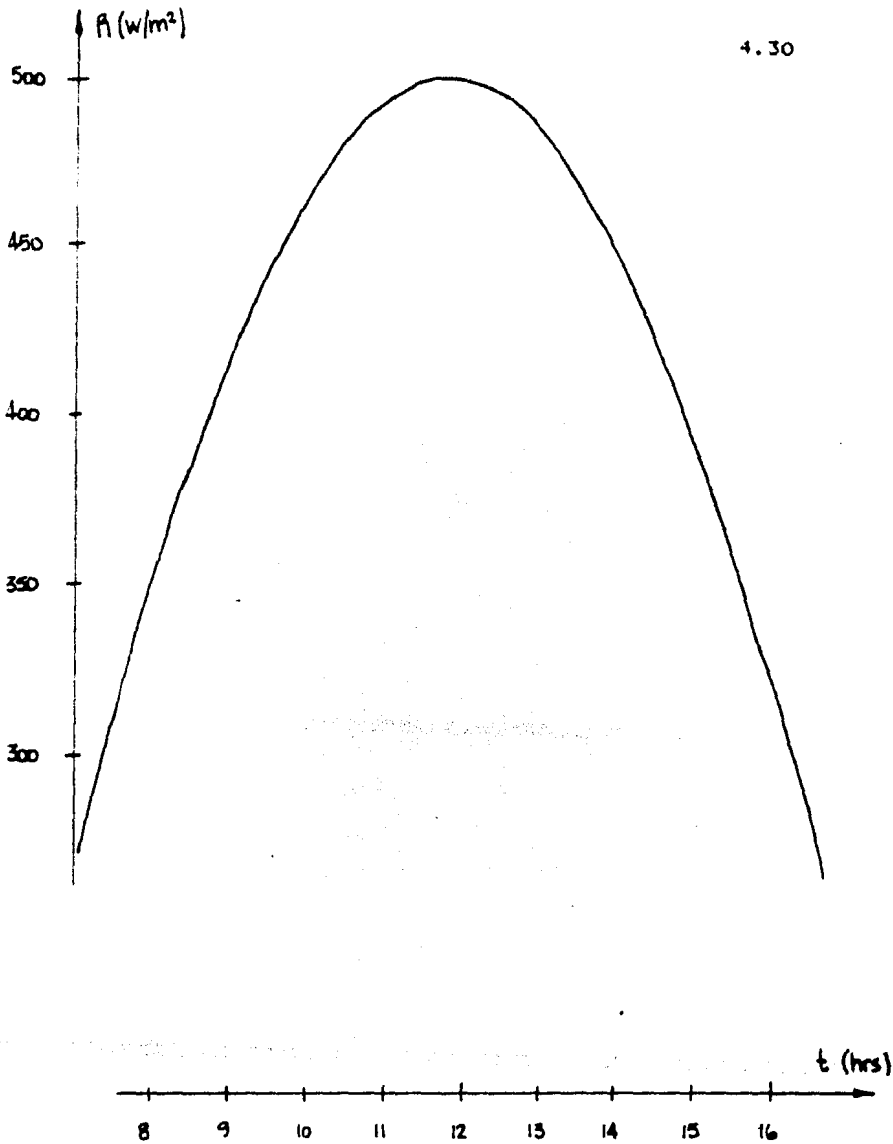
En los grupos de gráficas 17 a 21 se muestran los resultados obtenidos. Solo se presentan los perfiles de temperatura del fluido (aceite) y los valores de las variables que cambian, es decir, que difieren del valor inicial mencionado anteriormente. En el grupo de gráficas 22 se muestra nuevamente el control operando en un día promedio para poder compararlo contra los casos en que hay presente ruido aleatorio.

4.4 Conclusiones.

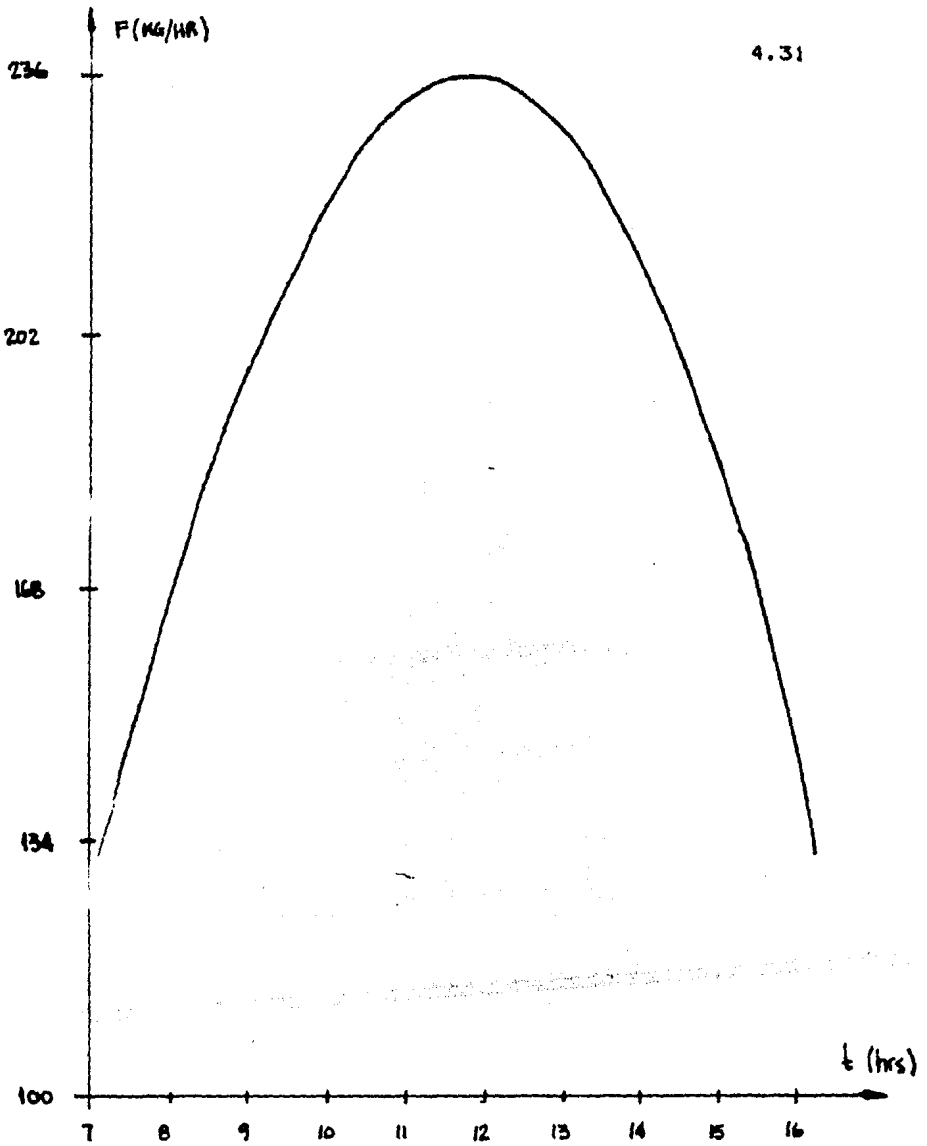
De los resultados anteriores es claro que un intervalo de muestreo de 3 min. en la aplicación del control fijo 4.3 da resultados muy buenos por lo que este será el caso que se comparará mas adelante con el resultado de aplicar al sistema un controlador autosintonizable.

El resultado principal y más interesante es que la fórmula de control para estado estacionario tiene un funcionamiento excelente en un día promedio. Esto permite pensar en usar la fórmula 4.3 como control directamente sobre la planta sin necesidad de superponerle otro tipo de control para absorber las variaciones aleatorias de las variables atmosféricas durante la evolución dinámica del sistema en un día promedio.

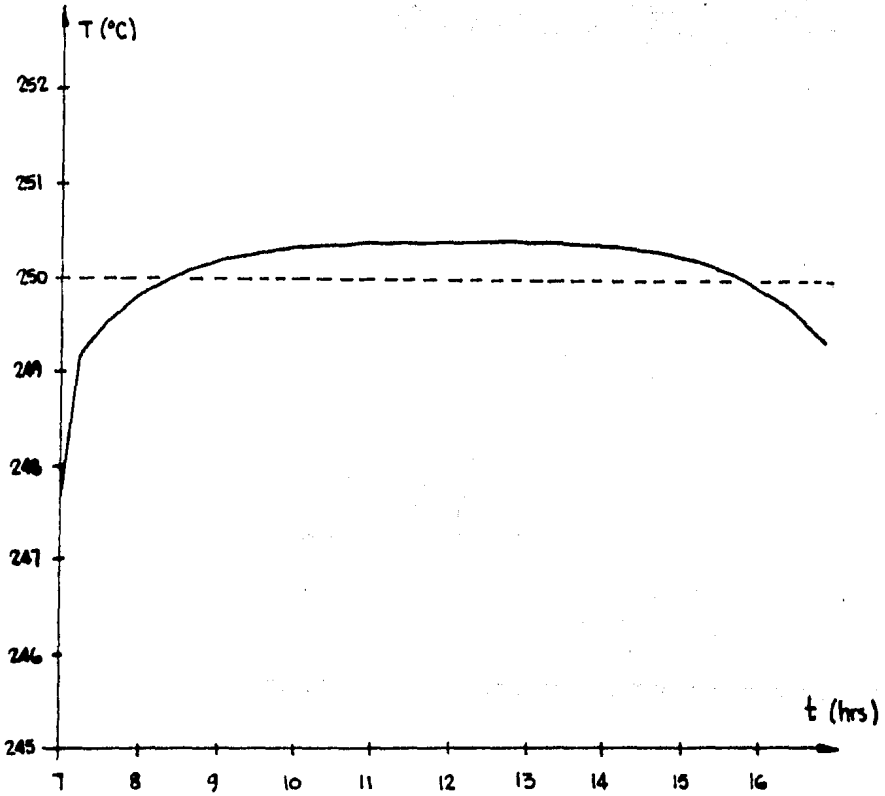
En el capítulo 6 se aplicará a la planta un control autosintonizable y en el capítulo 7 se podrán comparar los resultados de aplicar ambos tipos de controladores para decidir cual es el más aconsejable de usar en la práctica.



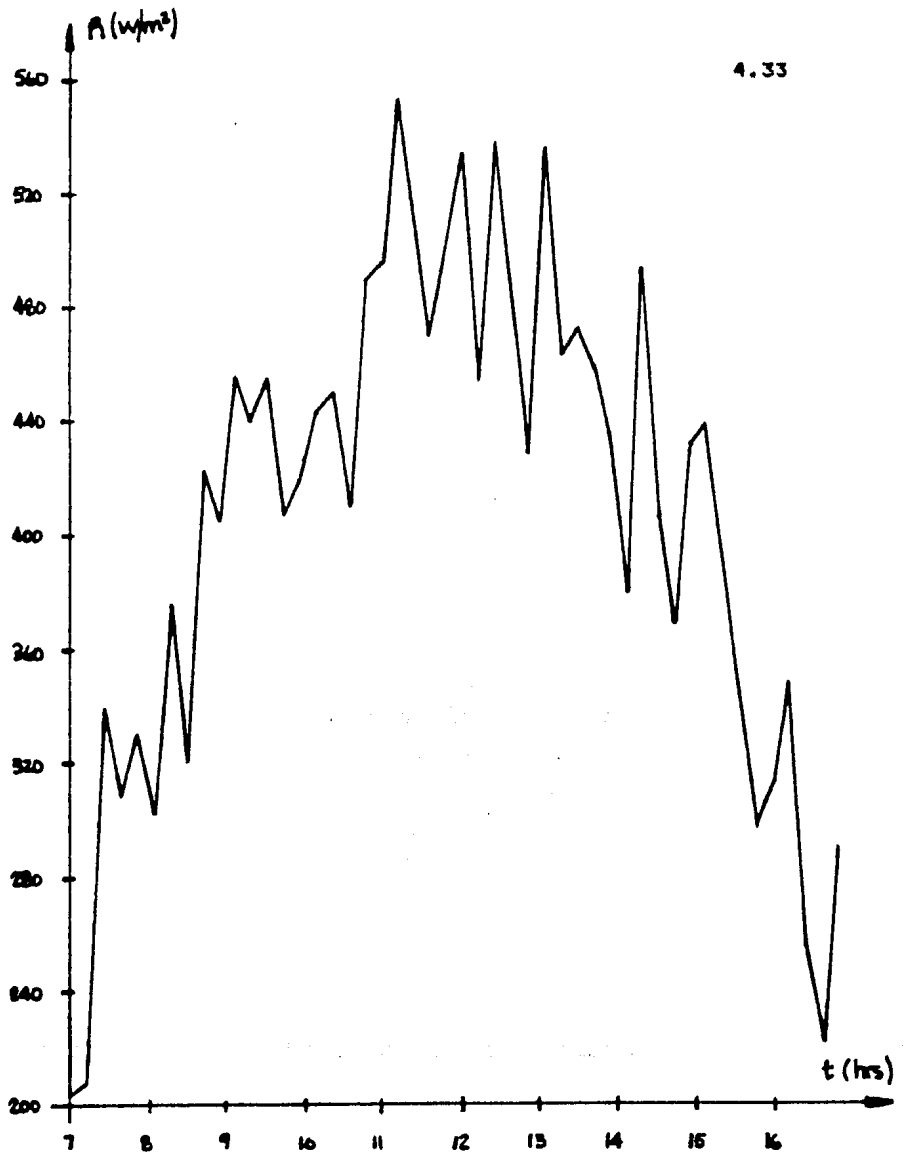
GRAFICA 17.A
RADIACION SOLAR



GRAFICA 17.8
FLUJO MASICO

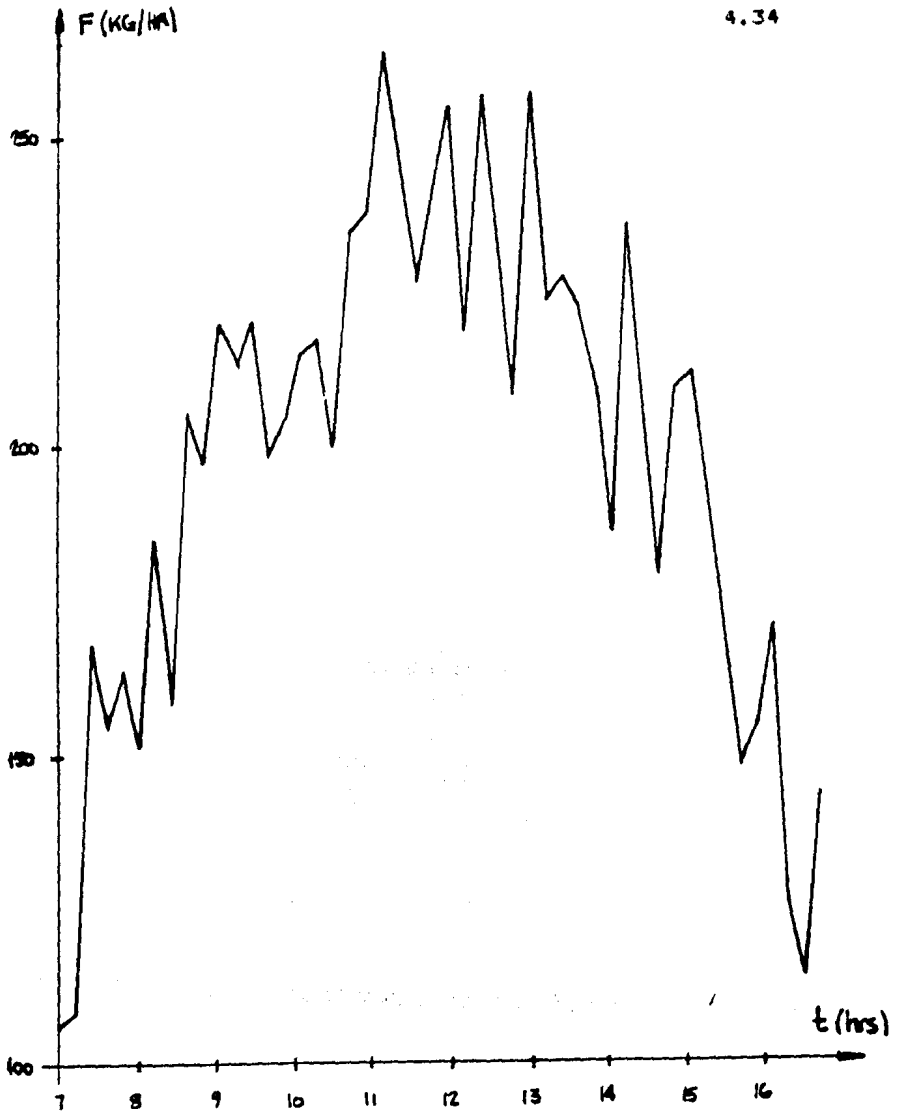


GRAFICA 17.C
TEMP. DE SALIDA DEL ACEITE

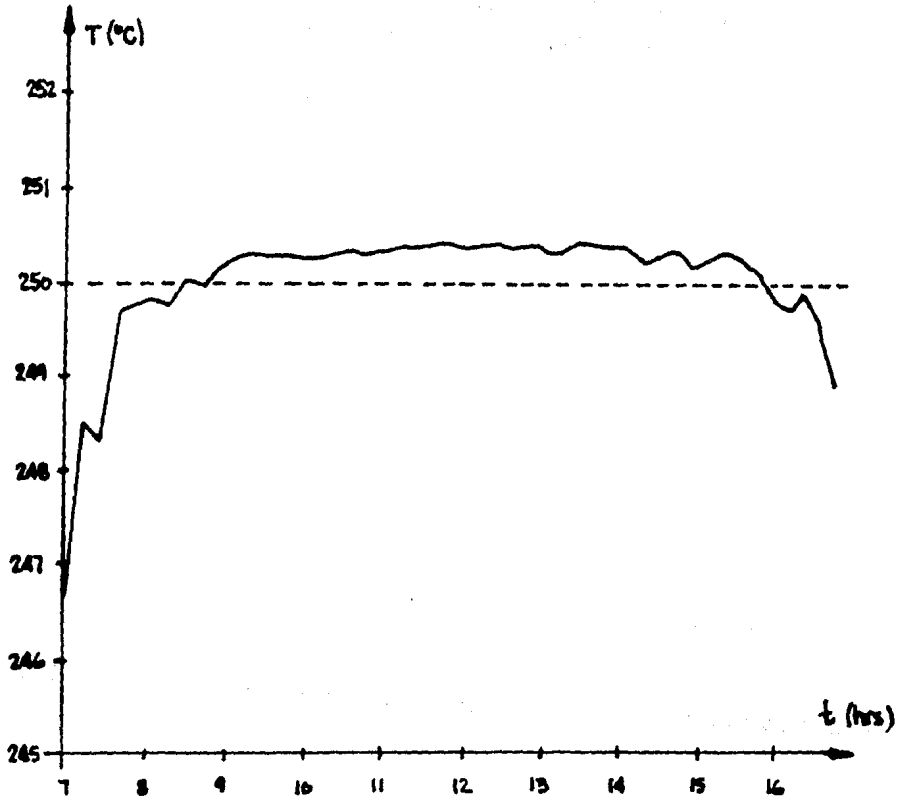


4.33

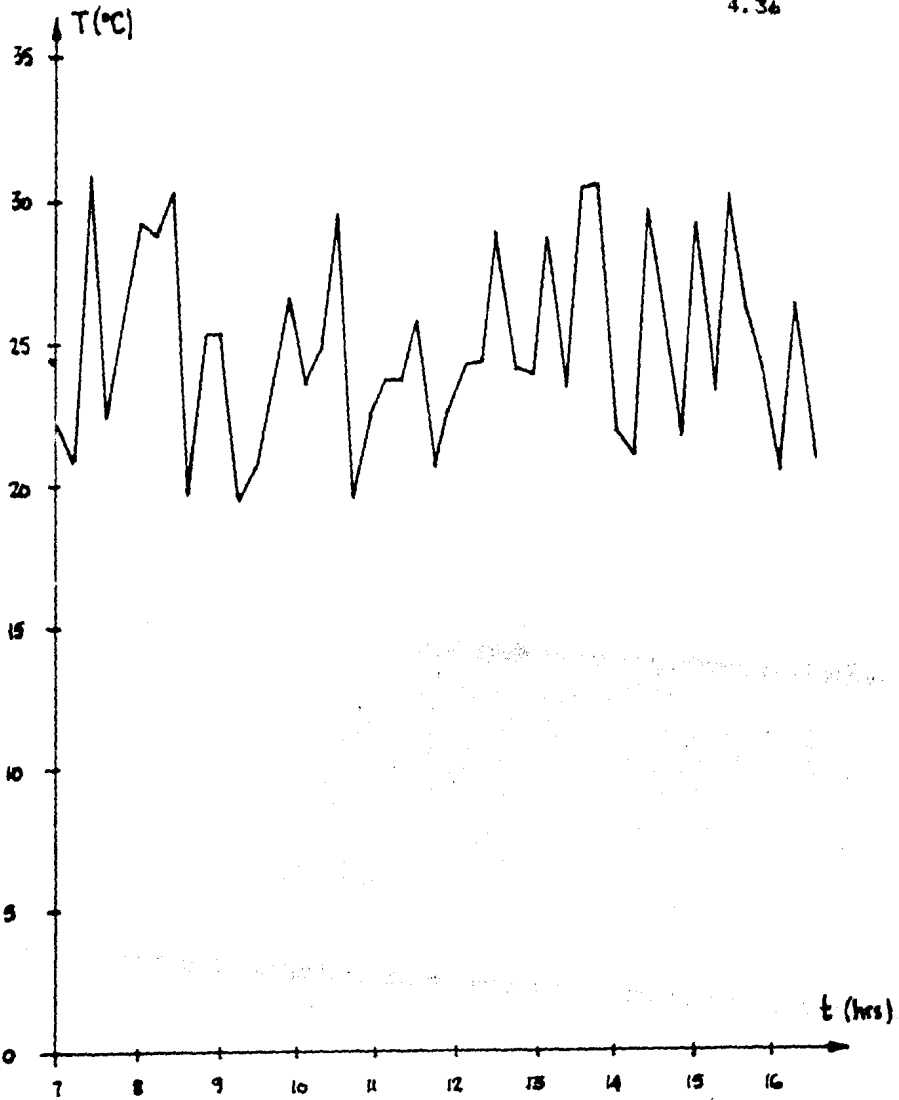
GRAFICA 18.A
RADIACION SOLAR



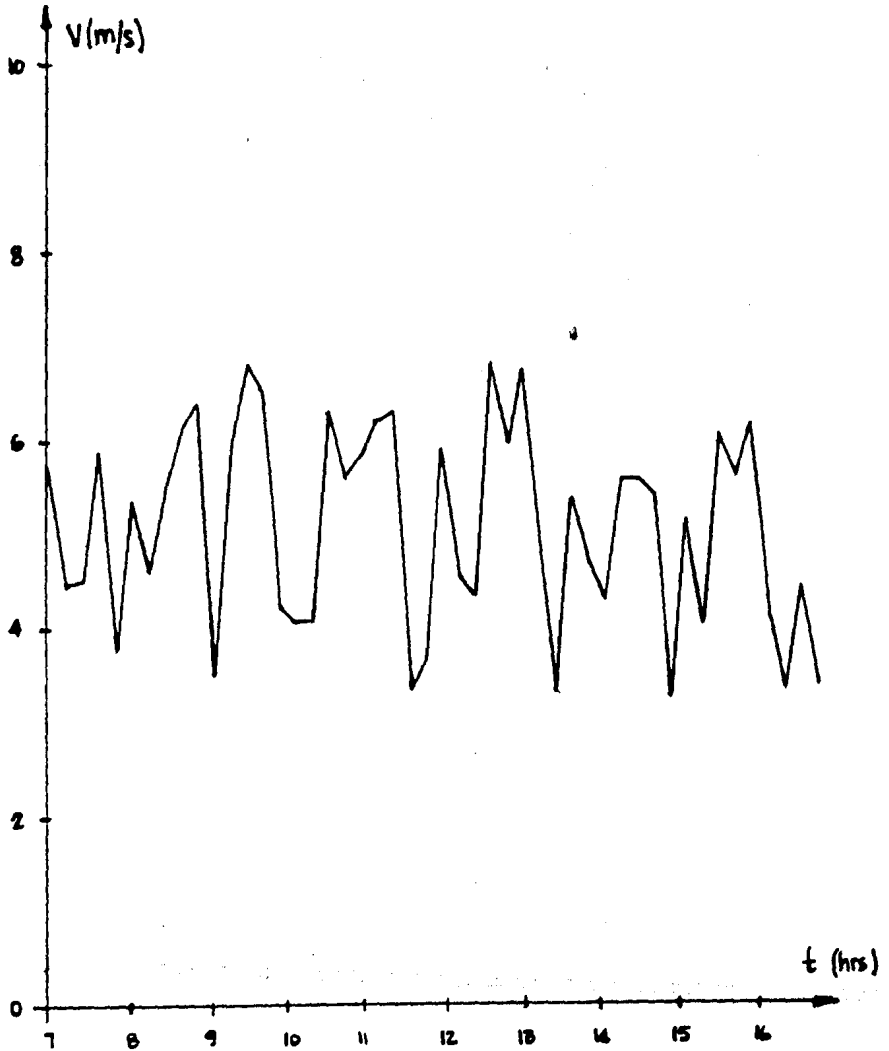
GRAFICA 18.8
FLUJO MASICO



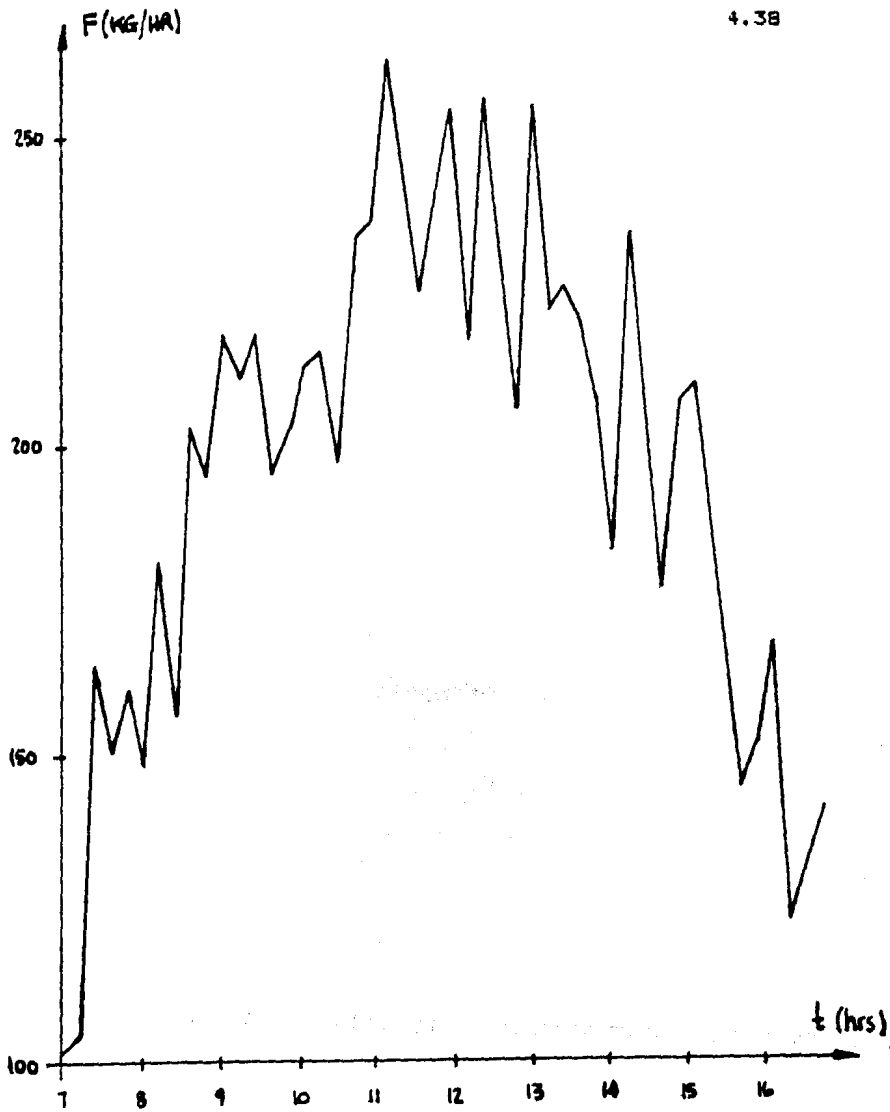
GRAFICA 18.C
TEMP. DE SALIDA DEL ACEITE



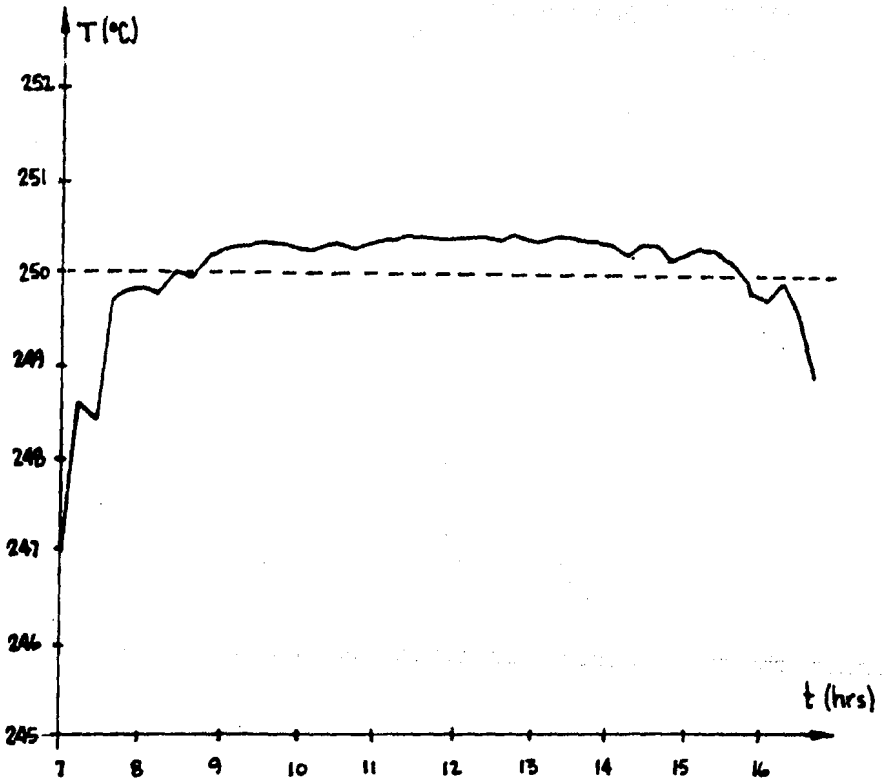
GRAFICA 19.A
TEMP. AMBIENTE



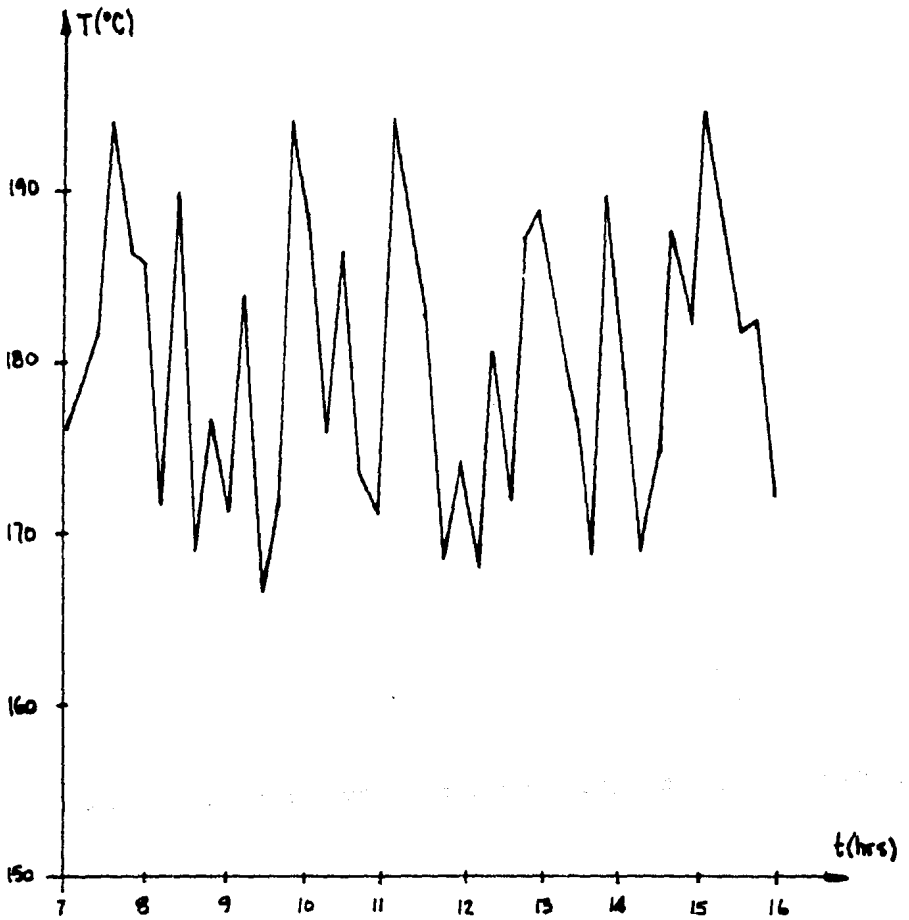
GRAFICA 19.8
VELOCIDAD DE VIENTO



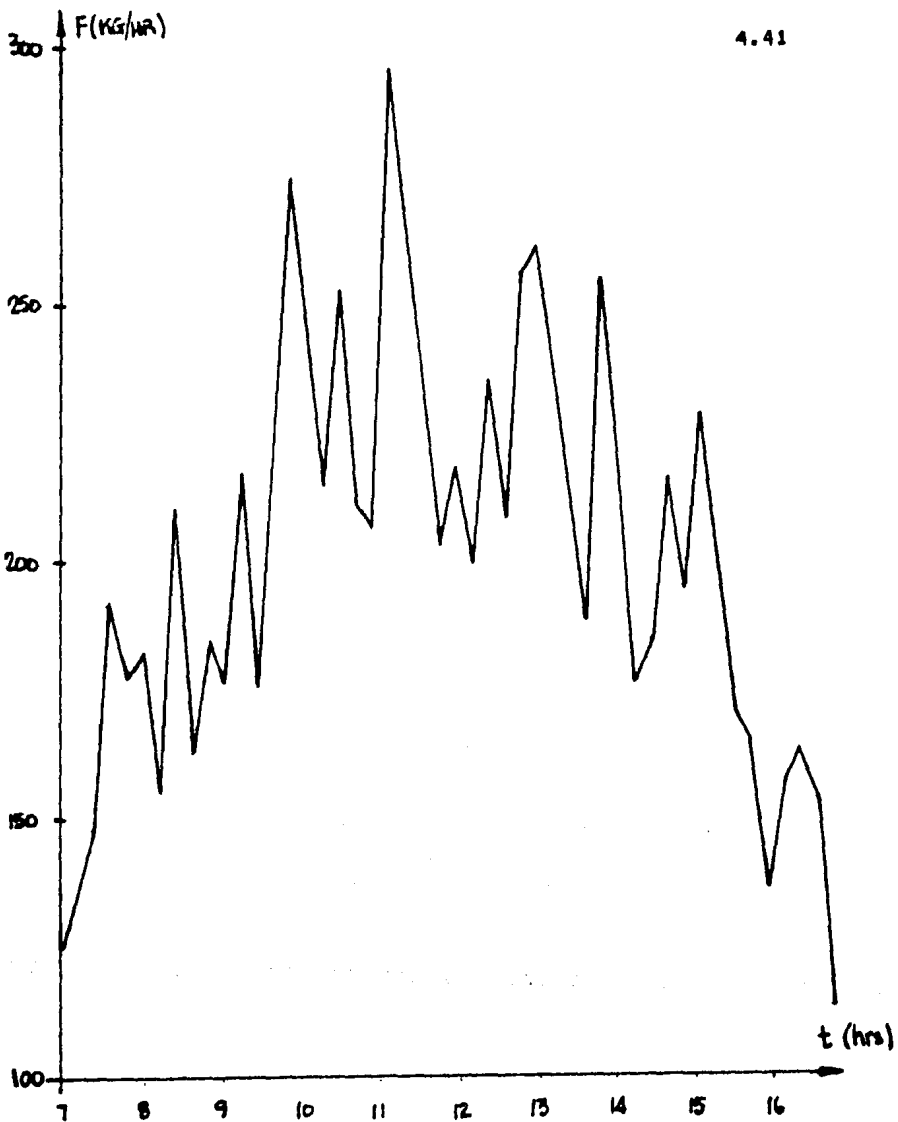
GRAFICA 19.C
FLUJO MASICO



GRAFICA 19.D
TEMP. DE SALIDA DEL ACEITE

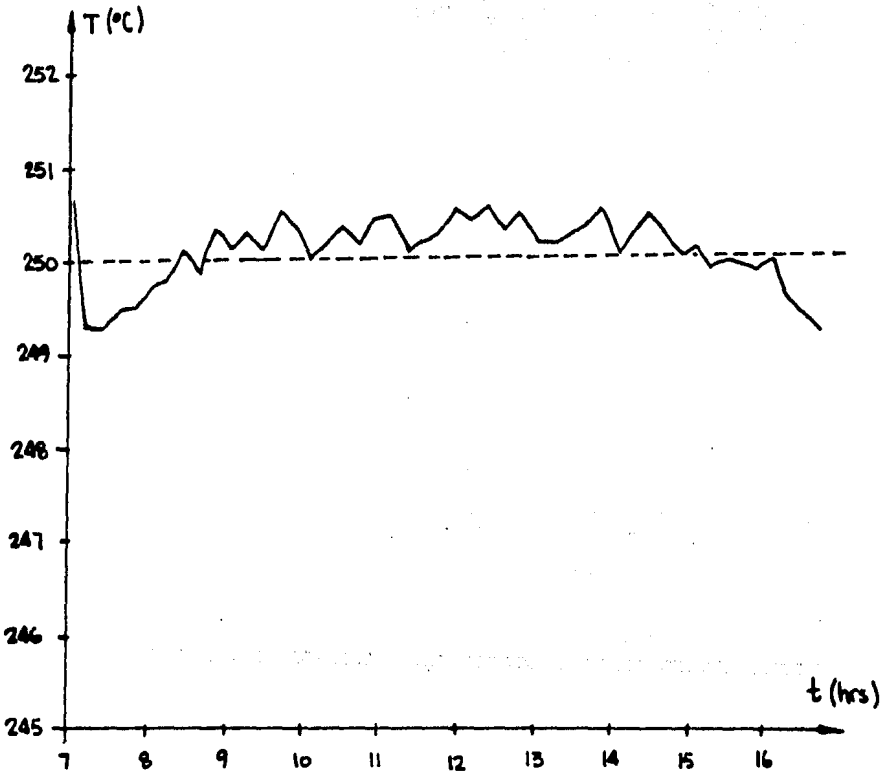


GRAFICA 20.A
TEMP. DE ENTRADA

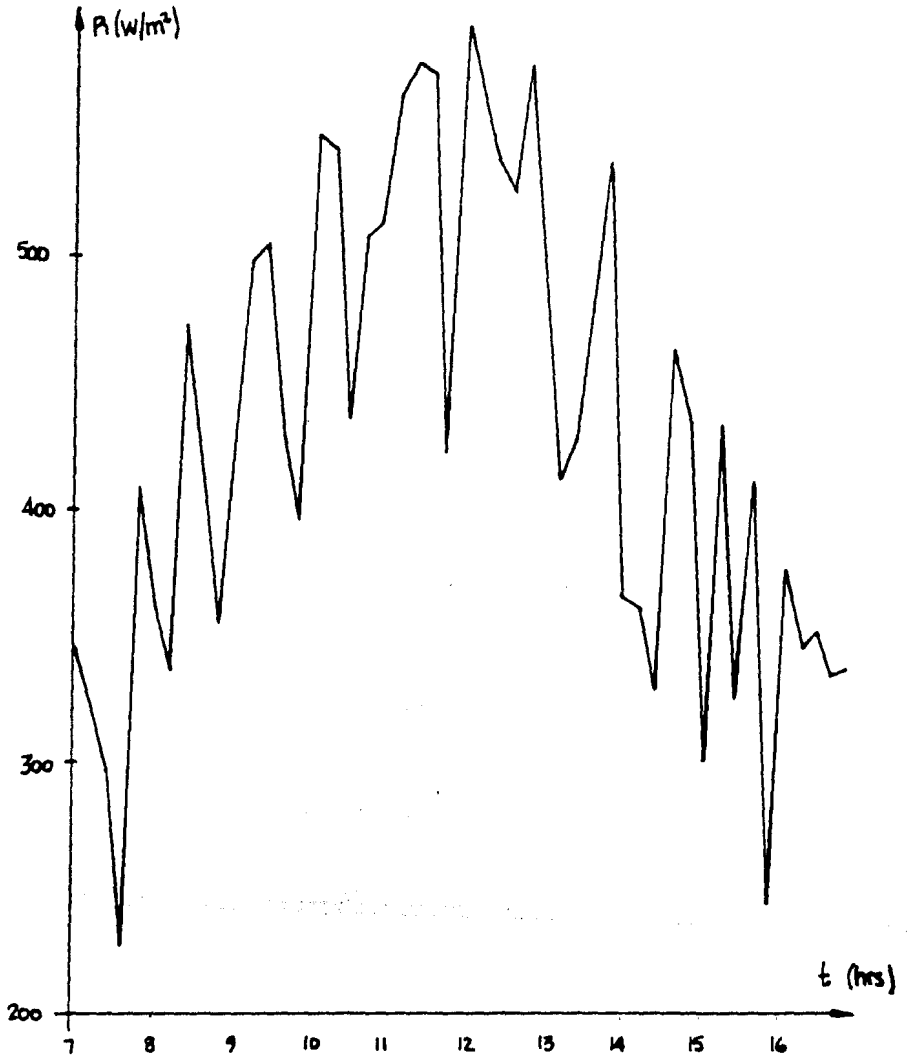


4.41

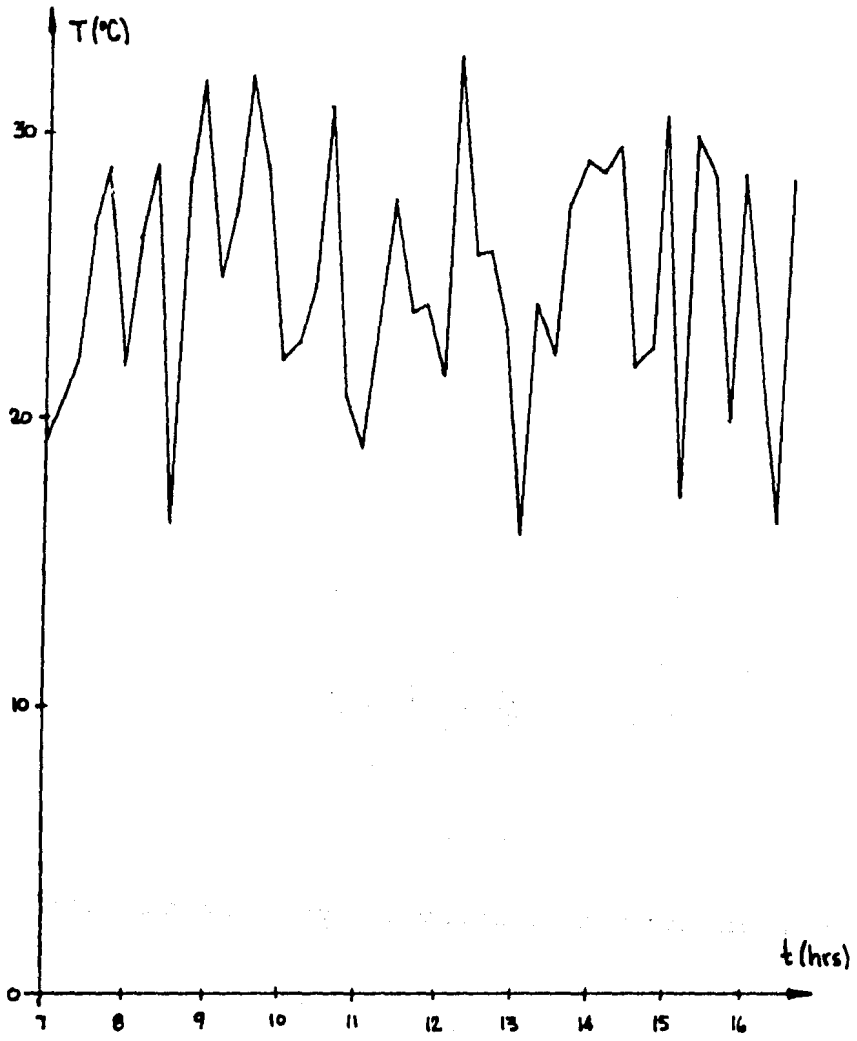
GRAFICA 20.B
FLUJO MASICO



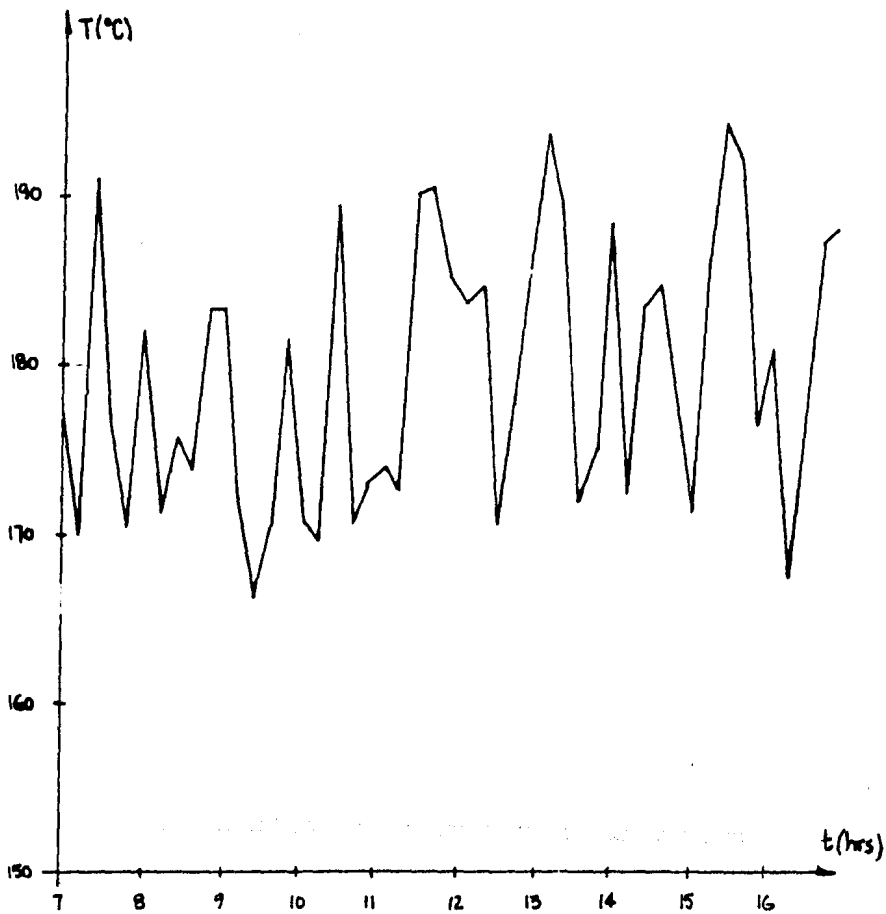
GRAFICA 20.C
TEMP. DE SALIDA DEL ACEITE



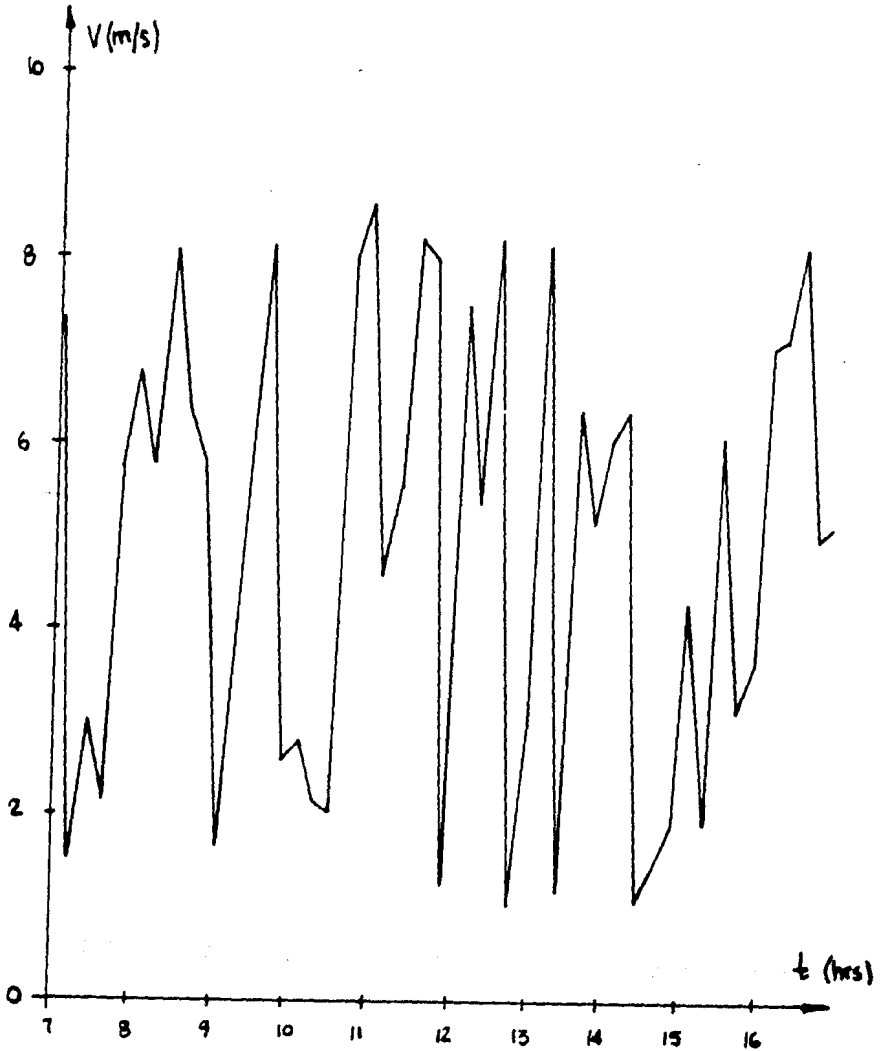
GRAFICA 21.A
RADIACION SOLAR



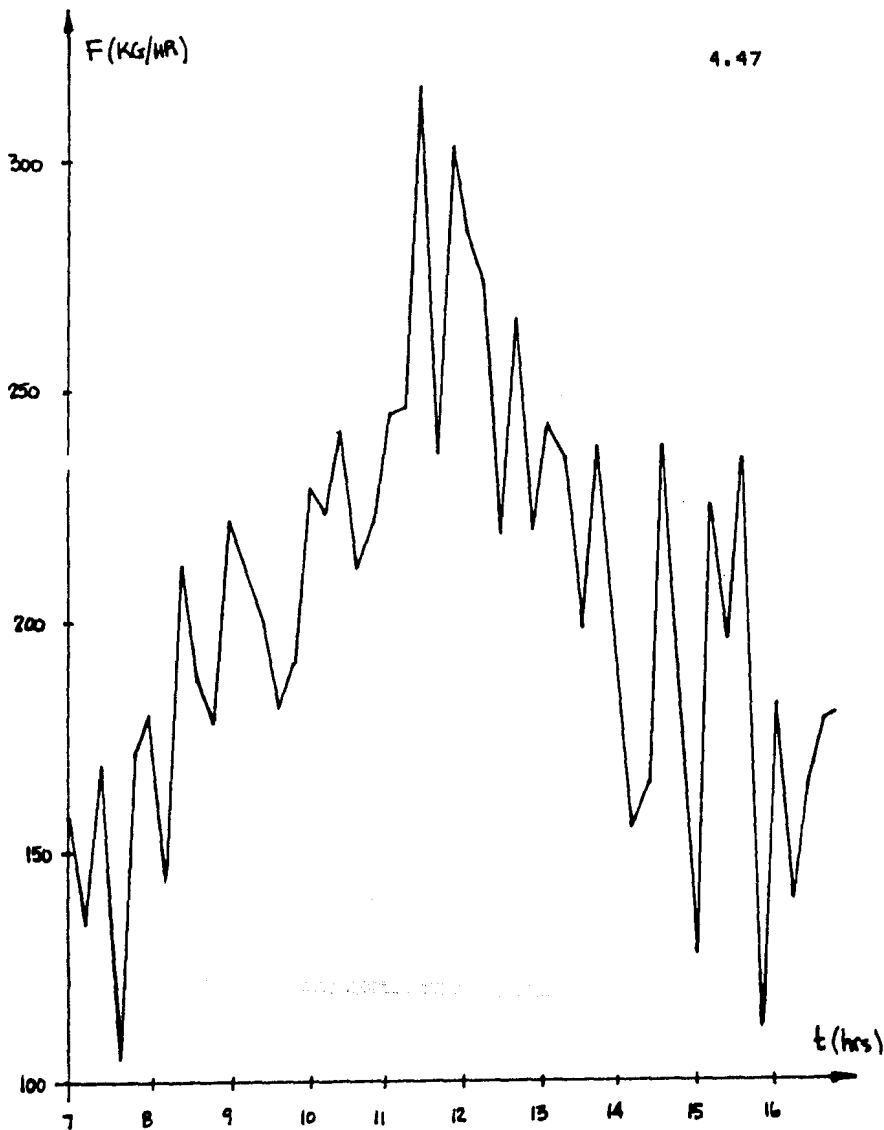
GRAFICA 21.B
TEMP. AMBIENTE



GRAFICA 21.C
TEMP. DE ENTRADA

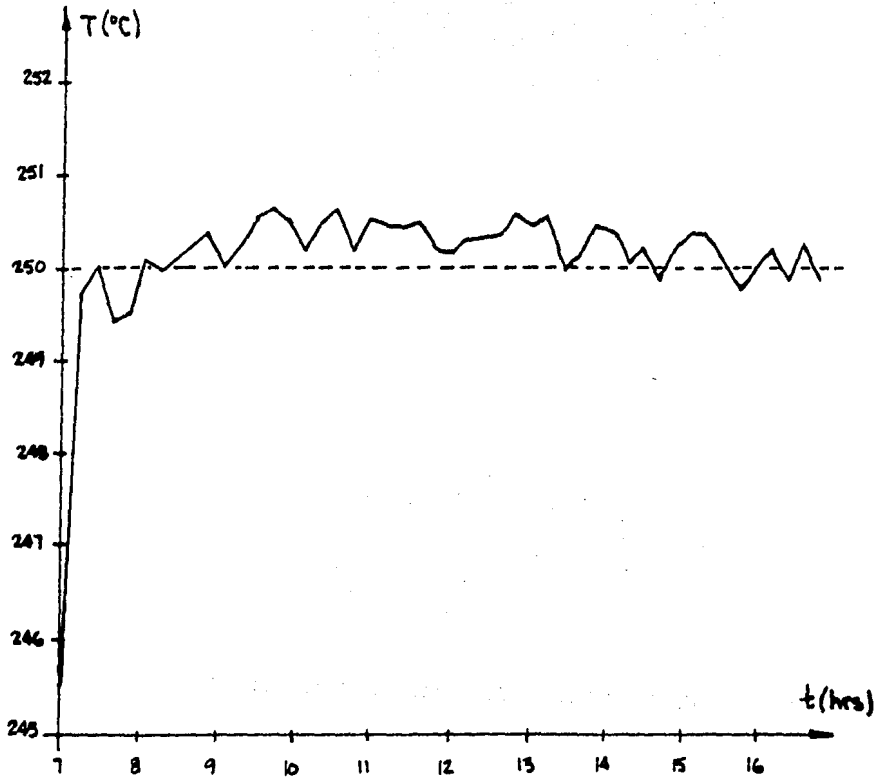


GRAFICA 21.D
VELOCIDAD DE VIENTO

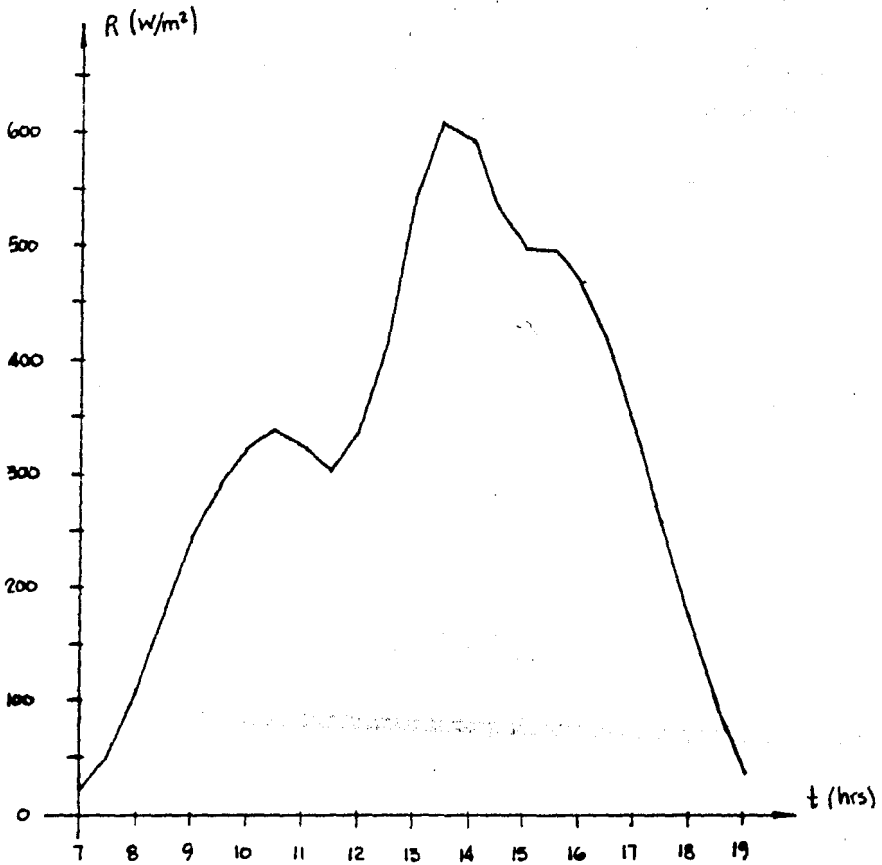


4.47

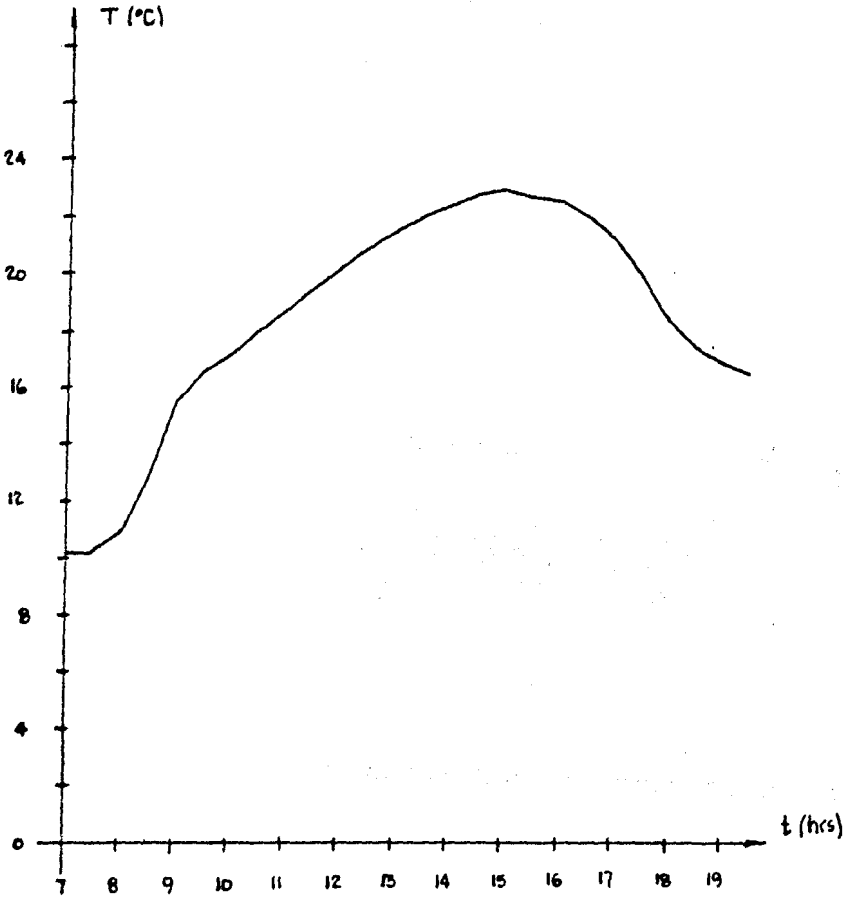
GRAFICA 21.E
FLUJO MASICO



GRAFICA 21.F
TEMP. DE SALIDA DEL ACEITE

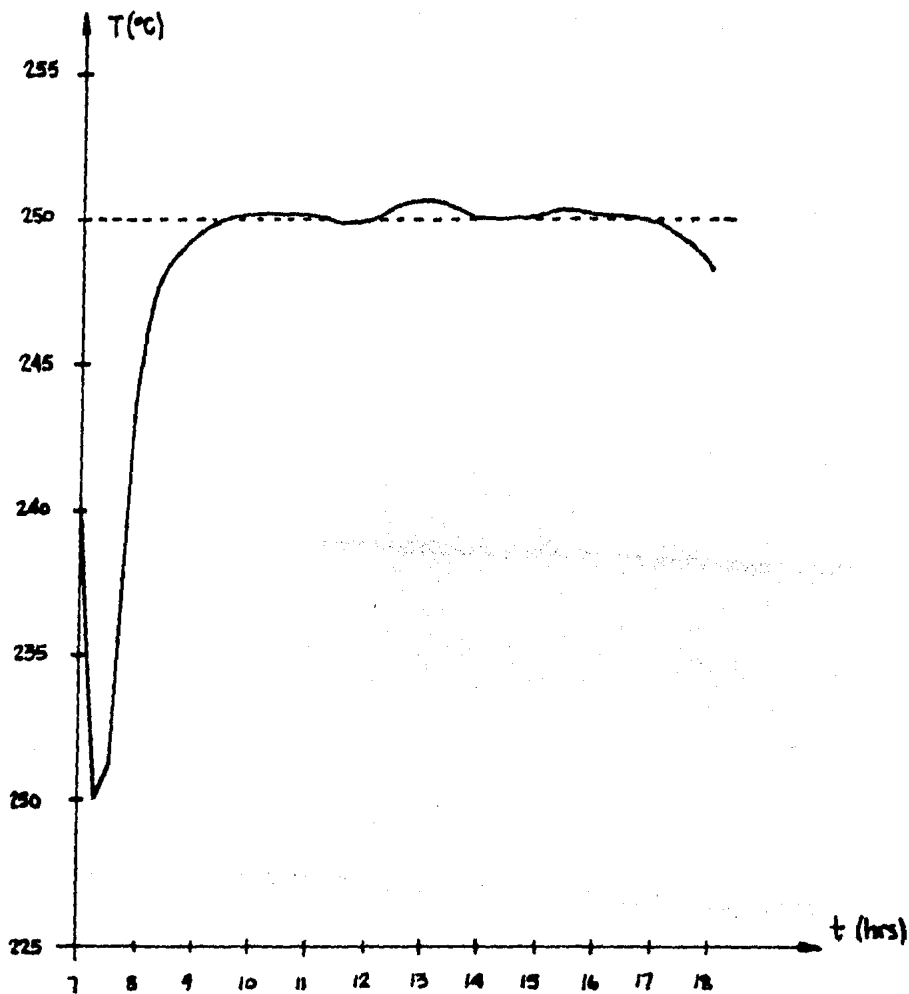


GRAFICA 22.A
RADIACION SOLAR (3 JUNIO-1980)



GRAFICA 22.B

TEMPERATURA AMBIENTE (25-NOVIEMBRE-1979)



GRAFICA 22.C
TEMP. DE SALIDA

CAPITULO 5

CONTROLADORES AUTOSINTONIZABLES

5.1 Introducción.

La teoría de control estocástico ha probado ser una herramienta sumamente útil para el diseño de controladores de procesos industriales. Sin embargo, en muchas situaciones prácticas es difícil determinar los parámetros del controlador ya que la dinámica del proceso a controlar así como las perturbaciones sobre éste son desconocidas.

La idea de los controladores autosintonizables consiste en prescindir del modelo matemático del sistema, haciendo que una parte del esquema de control esté dedicada a "aprender" como se comporta el sistema. Este aprendizaje deberá tomar en cuenta no solo los aspectos determinísticos del problema, sino también los de carácter estocástico que existen sobre él.

Los controladores autosintonizables están basados en la separación de las tareas de control y aprendizaje del sistema. Dos de las diferentes maneras de tomar esta separación dan lugar a los dos esquemas de control llamados esquema explícito y esquema implícito.

El esquema explícito (fig. 5.1) consiste en un algoritmo de identificación en línea que identifica los parámetros del sistema a controlar, con un método de control para sistemas con parámetros conocidos. Los parámetros del controlador son actualizados en cada muestreo en base a la última estimación de los parámetros del proceso.

En el esquema implícito (fig. 5.2) la solución se cambia de tal modo que se identifican directamente los parámetros del controlador.

De los dos esquemas anteriores, el esquema explícito consume más tiempo en su cálculo del control que el esquema implícito y como se va a trabajar con el sistema de control en línea con la planta, el esquema de control que se utilizará es el esquema implícito.

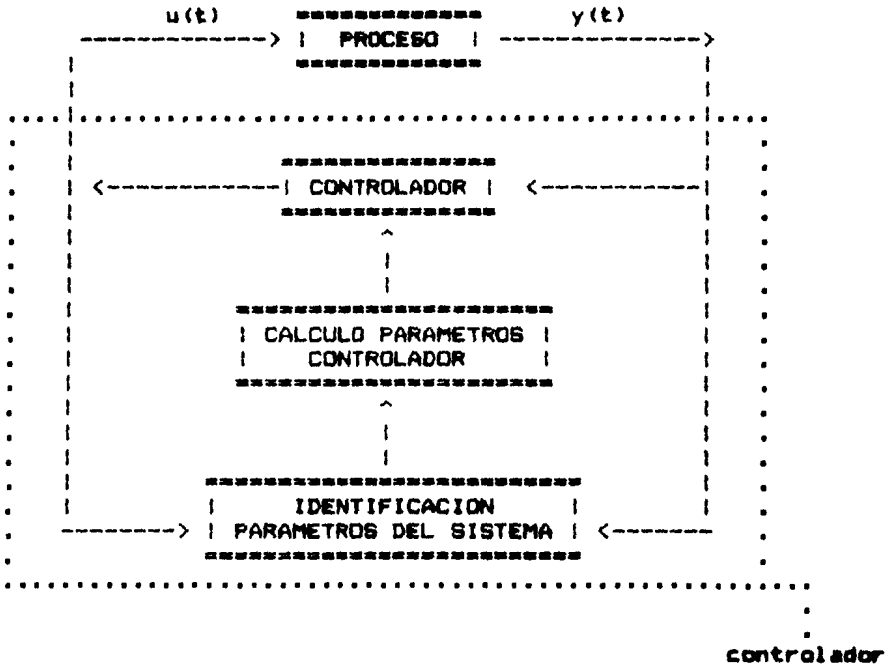


FIG 5.1

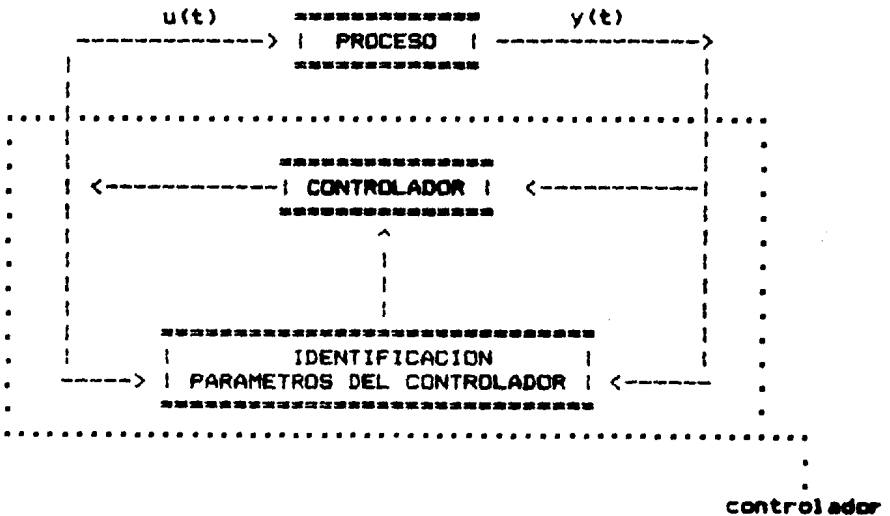


FIG 5.2

El esquema explícito es directamente aplicable en casos en que sea necesario conocer directamente los parámetros del sistema a controlar.

Los controladores más usados son aquellos que minimizan una función del tipo

$$V = \lim_{N \rightarrow \infty} E \left\{ \frac{1}{N} \sum_{i=t}^N [y^2(i) + c_{si} u^2(i)] \right\} \quad (5.1)$$

para un proceso que puede ser descrito por el sistema estocástico (ver apéndice 2).

$$A(q^{-1})y(t) = q^{-k} B(q^{-1})u(t) + C(q^{-1})e(t) \quad (5.2)$$

donde

$y(t)$ es la salida del sistema.

$u(t)$ es la entrada al sistema.

$e(t)$ es ruido que entra al sistema.

Los cálculos necesarios para minimizar la ec. 5.1 requieren factorización espectral o la solución de ecuaciones de Riccati en estado estacionario (19); sin embargo, hay casos especiales en que los cálculos se pueden simplificar considerablemente.

Si tomamos $c_{si} = 0$ en la ec. 5.1 el criterio V se reduce a la varianza de la salida. Los controladores que resultan son los llamados controladores de varianza mínima. La ventaja de este caso especial es que los parámetros del controlador se encuentran fácilmente a partir de los parámetros del sistema. Este tipo de controladores es el que se usará en el presente estudio.

5.2 Controladores de varianza mínima.

Veremos en seguida como los controladores de varianza mínima se derivan del teorema de separación, que nos dice que el controlador óptimo consiste de dos partes separadas:

1. Un predictor óptimo que predice la salida del sistema k intervalos de muestreo adelante del actual.

2. Un controlador de "dead beat" que actúa sobre el sistema para que el valor que se predice coincida con una referencia

deseada.

Supongase que el sistema a controlar está descrito por

$$A(q^{-1})y(t) = q^{-k} B(q^{-1})u(t) + \text{lam} \sum C(q^{-1})e(t) \quad (5.3)$$

con A, B y C polinomios en q^{-1} (operador de retraso unitario) con la forma

$$A(q^{-1}) = 1 + \sum_{i=1}^N (a_i q^{-i}) \quad ; \quad B(q^{-1}) = \sum_{i=0}^N (b_i q^{-i})$$

$$C(q^{-1}) = 1 + \sum_{i=1}^N (c_i q^{-i})$$

$y(t)$ salida observada del sistema

$u(t)$ variable de control (entrada al sistema)

$e(t)$ ruido blanco discreto de media 0 y varianza 1

b_0 normalmente igual a cero

El problema de control de varianza minima consiste en encontrar el valor de $u(t)$ de tal manera que la varianza de la salida sea minima. El valor de $u(t)$ se determina usando el conocimiento que se tiene de los valores de la salida hasta el tiempo t , $y(t)$, $y(t-1)$, $y(t-2)$, ..., así como de los valores pasados de la señal de control $u(t-1)$, $u(t-2)$,

Si se tiene que $b_0 = 0$, entonces de (5.3) se puede encontrar el valor de $y(t+k+1)$:

$$y(t+k+1) = \frac{qB(q^{-1})}{A(q^{-1})} u(t) + \frac{\text{lam} \sum C(q^{-1})}{A(q^{-1})} e(t+k+1) \quad (5.4)$$

El lado derecho de la ec. 5.4 consiste de términos que dependen de las mediciones ya efectuadas de $y(t)$, de valores anteriores de la señal de control $u(t)$, que son valores conocidos; así como, de términos independientes de los anteriores y que son por lo tanto, desconocidos. Se puede separar explícitamente el lado derecho de la ec. (5.4) en términos conocidos y términos desconocidos:

(5.5)

$$y(t+k+1) = \frac{qB(q^{-1})}{A(q^{-1})} u(t) + \frac{\lambda B(q^{-1})}{A(q^{-1})} e(t) + \lambda F(q^{-1}) e(t+k+1)$$

donde $F(q^{-1})$ y $G(q^{-1})$ están dados por:

$$F(q^{-1}) = 1 + \sum_{i=1}^k (f_i q^{-i}) \quad ; \quad G(q^{-1}) = \sum_{i=0}^N (g_i q^{-i})$$

que se determinan mediante la ecuación:

$$C(q^{-1}) = A(q^{-1}) F(q^{-1}) + q^{-k-1} G(q^{-1}) \quad (5.6)$$

De (5.3) se tiene que:

$$e(t) = \frac{A(q^{-1})}{\lambda C(q^{-1})} y(t) - \frac{q^{-k} B(q^{-1})}{\lambda C(q^{-1})} u(t)$$

y sustituyendo esta última ecuación en (5.5):

$$y(t+k+1) = \frac{qB(q^{-1})}{A(q^{-1})} u(t) + \frac{\lambda F(q^{-1})}{A(q^{-1})} u(t) + \frac{A(q^{-1})}{\lambda C(q^{-1})} y(t) - \frac{q^{-k} B(q^{-1})}{\lambda C(q^{-1})} u(t) + \lambda F(q^{-1}) e(t+k+1)$$

$$y(t+k+1) = \frac{qB(q^{-1})}{A(q^{-1})} u(t) + \frac{B(q^{-1})}{C(q^{-1})} y(t) - \frac{q^{-k} B(q^{-1}) G(q^{-1})}{A(q^{-1}) C(q^{-1})} u(t) + \lambda F(q^{-1}) e(t+k+1)$$

$$y(t+k+1) = \frac{B(q^{-1})}{C(q^{-1})} y(t) + \frac{qB(q^{-1})}{C(q^{-1})} u(t) + \frac{C(q^{-1}) - q^{-k-1} B(q^{-1})}{A(q^{-1})} u(t) + \lambda F(q^{-1}) e(t+k+1)$$

usando ahora (5.6):

(5.7)

$$y(t+k+1) = \frac{B(q^{-1})}{C(q^{-1})} y(t) + \frac{qB(q^{-1}) F(q^{-1})}{C(q^{-1})} u(t) + \lambda F(q^{-1}) e(t+k+1)$$

Los dos primeros sumandos de (5.7) son conocidos y el tercero es desconocido, por lo que se puede decir que el mejor predictor del valor de $y(t+k+1)$ es la suma de los dos primeros sumandos; así, para que la varianza de $y(t+k+1)$ sea mínima la suma debe ser igual al valor de referencia, que se considerará constante e igual a YD , es decir:

$$\frac{G(q^{-1})}{C(q^{-1})} y(t) + \frac{qB(q^{-1})F(q^{-1})}{C(q^{-1})} u(t) = YD \quad (5.8)$$

de donde la señal de control está dada por:

$$U(t) = \frac{C(q^{-1})}{qB(q^{-1})F(q^{-1})} \left[\frac{G(q^{-1})}{C(q^{-1})} y(t) + YD \right] \quad (5.9)$$

El error de control está dado por el último sumando del lado derecho de (5.7)

$$(5.10)$$

$$\text{lam} F(q^{-1}) e(t+k+1) = \text{lam} \left[e(t+k+1) + \frac{f}{1} e(t+k) + \dots + \frac{f}{k} e(t+1) \right]$$

por lo que la varianza de la salida es:

$$\text{var}[y] = \text{var} \left[\frac{G(q^{-1})}{C(q^{-1})} y(t) + \frac{qB(q^{-1})F(q^{-1})}{C(q^{-1})} u(t) \right] +$$

$$+ \text{var} \left[\text{lam} F(q^{-1}) e(t+k+1) \right]$$

$$\text{var}[y] = \text{var}[YD] + \text{var}[\text{lam} F(q^{-1}) e(t+k+1)]$$

$$\text{var}[y] = \text{var}[\text{lam} F(q^{-1}) e(t+k+1)] = \text{lam} [1 + f_1^2 + \dots + f_k^2] \quad (5.11)$$

5.3 Controladores autoajustables.

El algoritmo más usual del regulador autoajutable usa como método de identificación el de los mínimos cuadrados (apéndice 2), i.e., considera

$$C(q^{-1}) = 1$$

por lo que la ec. (5.6) se puede reescribir como:

$$1 = A(q^{-1})F(q^{-1}) + q^{-k-1} G(q^{-1}) \quad (5.12)$$

sustituyendo (5.12) en (5.3) resulta:

$$y(t+k+1) + A''(q^{-1})y(t) = B''(q^{-1})u(t) + \text{eps}(t+k+1) \quad (5.13)$$

donde

$$A''(q^{-1}) = a_0'' + a_1''q^{-1} + \dots + a_n''q^{-n+1} = -G(q^{-1}) \quad (5.14)$$

$$B''(q^{-1}) = b_0'' + b_1''q^{-1} + \dots + b_l''q^{-l} = qB(q^{-1})F(q^{-1}) \quad (5.15)$$

$$\text{eps}(t+k+1) = F(q^{-1})e(t+k+1)$$

donde n es el orden del modelo del sistema y $l=n+k-1$.

Lo anterior sugiere que en vez de identificar el modelo del sistema (5.3) y luego calcular los parámetros del controlador (5.9) (esquema explícito), se identifique directamente (5.13) (esquema implícito) ya que aunque se identifican $2n+k-1$ parámetros en vez de $2n$ como en el esquema explícito, el cálculo del control es directo:

$$U_{op}(t) = \frac{A^n(q^{-1})}{B^n(q^{-1})} y(t) + \frac{YD}{B^n(q^{-1})} \quad (5.16)$$

Desarrollando (5.16) queda explícitamente el valor de la señal de control en el tiempo t :

(5.17)

$$u(t) = \frac{1}{b_0} [a_0 y(t) + a_1 y(t-1) + \dots + a_n y(t-n) - b_1 u(t-1) - \dots - b_n u(t-n)] + \frac{YD}{b_0}$$

el parámetro b_0 no se identifica, se le asigna un valor arbitrario para asegurar la identificabilidad del sistema (8).

El algoritmo recursivo de control se obtiene fácilmente escribiendo (5.13) como:

$$y(t) = z(t) \overline{\text{TETA}} + b_0 u(t-k-1) + \text{eps}(t) \quad (5.18)$$

on:

$$z(t) = [-y(t-k-1), -y(t-k-2), \dots, -y(t-k-n), u(t-k-2), u(t-k-3), \dots, u(t-k-1-1)] \quad (5.19)$$

de (5.18) se infiere el modelo de predicción:

$$\bar{y}(t) = z(t) \overline{\text{TETA}}(t-1) + b_0 u(t-k-1) \quad (5.20)$$

controlar incluye una perturbación medible y una componente continua, es decir, cuando el modelo de la planta a controlar puede escribirse como:

$$A(q^{-1})y(t) = q^{-k} B(q^{-1})u(t) + q^{-k} H(q^{-1})r(t) + \lambda m C(q^{-1})e(t) + D \quad (5.22)$$

en lugar de la ec. (5.3) anterior.

En este caso:

$y(t)$ = salida observada del sistema

$u(t)$ = variable de control (entrada al sistema)

$r(t)$ = perturbación medible

$e(t)$ = ruido blanco discreto de media 0, varianza 1

$$H(q^{-1}) = \sum_{i=0}^N (b_i \cdot q^{-i})$$

D = componente continua (constante)

La razón por la que en este estudio se usará un modelo del tipo (5.22) para el colector solar se debe al hecho de que la radiación solar es la variable atmosférica más significativa en la operación del colector y esta es posible medirla mediante sensores adecuados.

Con este nuevo modelo, siguiendo los pasos tomados en el punto anterior que dieron lugar al conjunto de ecuaciones (5.21), se llegará a un conjunto análogo de ecuaciones que se utilizarán como algoritmo de control del colector solar.

Para que la equivalencia sea más clara se escribirá abajo del número de cada ecuación el número de aquella a la que corresponde en el caso de que el modelo considerado sea el (5.3).

De (5.22) se tiene:

(5.23)

$$y(t) = \frac{q^{-k-1} B(q^{-1})}{A(q^{-1})} u(t) + \frac{q^{-k-1} H(q^{-1})}{A(q^{-1})} r(t) + \frac{\text{lam} \# C(q^{-1})}{A(q^{-1})} e(t) + D \quad (5.24)$$

(5.4)

$$y(t+k+1) = \frac{q^{-1} B(q^{-1})}{A(q^{-1})} u(t) + \frac{q^{-1} H(q^{-1})}{A(q^{-1})} r(t) + \frac{\text{lam} \# C(q^{-1})}{A(q^{-1})} + \frac{q^{k+1}}{A(q^{-1})} D$$

descomponiendo el lado derecho de esta última ecuación en términos conocidos y desconocidos mediante:

$$C(q^{-1}) = A(q^{-1})F(q^{-1}) + q^{-k-1} G(q^{-1}) \quad (5.25)$$

(5.6)

se tiene:

$$\frac{\text{lam} \# C(q^{-1})}{A(q^{-1})} e(t+k+1) = \text{lam} \# F(q^{-1}) e(t+k+1) + \frac{\text{lam} \# G(q^{-1})}{A(q^{-1})} e(t) \quad (5.26)$$

despejando $e(t)$ de (5.23) y sustituyendo en (5.26)

$$\frac{\text{lam} \# C(q^{-1})}{A(q^{-1})} e(t+k+1) = \text{lam} \# F(q^{-1}) e(t+k+1) + \frac{\text{lam} \# G(q^{-1})}{A(q^{-1})} e(t)$$

$$\begin{array}{c} \left[\begin{array}{c} -1 \\ A(q^{-1}) \end{array} \right] y(t) - \frac{q^{-k-1} B(q^{-1})}{\lambda C(q^{-1})} u(t) - \frac{q^{-k-1} H(q^{-1})}{\lambda C(q^{-1})} r(t) - \frac{D}{\lambda C(q^{-1})} \end{array}$$

$$\frac{\lambda C(q^{-1})}{A(q^{-1})} e(t+k+1) =$$

$$\lambda F(q^{-1}) e(t+k+1) + \frac{G(q^{-1})}{C(q^{-1})} y(t) - \frac{q^{-k-1} B(q^{-1}) B(q^{-1})}{A(q^{-1}) C(q^{-1})} u(t) -$$

$$\frac{q^{-k-1} H(q^{-1})}{A(q^{-1}) C(q^{-1})} r(t) - \frac{D B(q^{-1})}{A(q^{-1}) C(q^{-1})} \quad (5.27)$$

y sustituyendo (5.27) en (5.24) queda:

$$\begin{aligned} y(t+k+1) &= \frac{q B(q^{-1})}{A(q^{-1})} u(t) + \frac{q H(q^{-1})}{A(q^{-1})} r(t) + \frac{q^{k+1} D}{A(q^{-1})} + \lambda F(q^{-1}) e(t+k+1) \\ &+ \frac{G(q^{-1})}{C(q^{-1})} y(t) - \frac{q^{-k-1} B(q^{-1}) B(q^{-1})}{A(q^{-1}) C(q^{-1})} u(t) - \frac{q^{-k-1} H(q^{-1})}{A(q^{-1}) C(q^{-1})} \\ &- \frac{G(q^{-1})}{A(q^{-1}) C(q^{-1})} D \end{aligned}$$

$$\begin{aligned}
 y(t+k+1) &= \frac{G(q^{-1})}{C(q^{-1})} y(t) + \frac{qB(q^{-1})}{C(q^{-1})} \begin{bmatrix} -1 & -1 \\ C(q^{-1}) & A(q^{-1}) \end{bmatrix} \frac{1}{q} \begin{bmatrix} -k-1 & -1 \\ G(q^{-1}) & A(q^{-1}) \end{bmatrix} u(t) + \\
 &+ \text{lans}F(q^{-1})e(t+k+1) + \begin{bmatrix} -1 & -1 \\ A(q^{-1}) & A(q^{-1})C(q^{-1}) \end{bmatrix} \frac{1}{q} \begin{bmatrix} k+1 & -1 \\ G(q^{-1}) & A(q^{-1})C(q^{-1}) \end{bmatrix} D + \\
 &+ \frac{qH(q^{-1})}{C(q^{-1})} \begin{bmatrix} -1 & -1 \\ C(q^{-1}) & A(q^{-1}) \end{bmatrix} \frac{1}{q} \begin{bmatrix} -k-1 & -1 \\ G(q^{-1}) & A(q^{-1}) \end{bmatrix} \\
 \\
 y(t+k+1) &= \frac{G(q^{-1})}{C(q^{-1})} y(t) + \frac{qB(q^{-1})F(q^{-1})}{C(q^{-1})} u(t) + \frac{qH(q^{-1})F(q^{-1})}{C(q^{-1})} r(t) + \\
 &+ \text{lans}F(q^{-1})e(t+k+1) + \begin{bmatrix} -1 & -1 \\ A(q^{-1}) & A(q^{-1})C(q^{-1}) \end{bmatrix} \frac{1}{q} \begin{bmatrix} k+1 & -1 \\ G(q^{-1}) & A(q^{-1})C(q^{-1}) \end{bmatrix} D \quad (5.20) \\
 &\quad (5.7)
 \end{aligned}$$

El último término del lado derecho de (5.20) es una constante que puede llamarse J:

$$y(t+k+1) = \frac{G(q^{-1})}{C(q^{-1})} y(t) + \frac{qB(q^{-1})F(q^{-1})}{C(q^{-1})} u(t) + \frac{qH(q^{-1})F(q^{-1})}{C(q^{-1})} r(t) + J$$

$$+ J + \lambda \frac{1}{C(q^{-1})} e^{(t+k+1)} \quad (5.29)$$

Así como en (5.7), aquí los 4 primeros sumandos del lado derecho de (5.29) son conocidos y el último es desconocido, por lo que el mejor predictor del valor de $y(t+k+1)$ es:

$$(5.30)$$

$$(5.8)$$

$$y(t+k+1) = \frac{G(q^{-1})}{C(q^{-1})} y(t) + \frac{qB(q^{-1})F(q^{-1})}{C(q^{-1})} u(t) + \frac{qH(q^{-1})F(q^{-1})}{C(q^{-1})} r(t) + J$$

$$= YD$$

de donde la señal de control queda dada por:

$$(5.31)$$

$$(5.9)$$

$$U(t) = \frac{G(q^{-1})}{qB(q^{-1})F(q^{-1})} y(t) - \frac{qH(q^{-1})F(q^{-1})}{qB(q^{-1})F(q^{-1})} r(t) +$$

$$+ \frac{C(q^{-1})}{qB(q^{-1})F(q^{-1})} YD - J$$

Ahora considerando un algoritmo de identificación por mínimos cuadrados se tiene que:

$$C(q^{-1}) =$$

de donde (5.25) queda como:

$$A(q^{-1}) = \frac{1 - q^{-k-1} G(q^{-1})}{F(q^{-1})} \quad (5.32)$$

(5.12)

y

$$A(q^{-1})y(t) = q^{-k} B(q^{-1})u(t) + q^{-k} H(q^{-1})r(t) + D + \text{eps}(t) \quad (5.33)$$

sustituyendo (5.33) en (5.32)

$$y(t) = q^{-k} F(q^{-1})B(q^{-1})u(t) + q^{-k} H(q^{-1})F(q^{-1})r(t) + F(q^{-1})D + q^{-k-1} G(q^{-1})y(t) + \text{csi}(t) \quad (5.34)$$

y aplicando q^{k+1}

$$y(t+k+1) - G(q^{-1})y(t) = qF(q^{-1})B(q^{-1})u(t) + qH(q^{-1})F(q^{-1})r(t) + q^{k+1} F(q^{-1})D + \text{csi}(t+k+1) \quad (5.35)$$

ahora tomando

$$A''(q^{-1}) = \sum_{i=0}^{N-1} (a'' q^{-i}) = -G(q^{-1}) \quad (5.36)$$

(5.14)

$$B''(q^{-1}) = \sum_{i=0}^1 (b'' q^{-i}) = qB(q^{-1})F(q^{-1}); \quad i=1, n+k-1 \quad (5.37)$$

(5.15)

$$H''(q^{-1}) = \sum_{i=0}^{l-1} \{h_i q^{-i}\} = qH(q^{-1})F(q^{-1}); \quad l=n+k-1$$

puede escribirse

$$\begin{aligned} y(t+k+1) + A''(q^{-1})y(t) &= \\ &= B''(q^{-1})u(t) + H''(q^{-1})r(t) + q^{k+1}F(q^{-1})D + csi(t+k+1) \end{aligned}$$

de donde la señal de control resulta ser:

$$U(t) = \frac{A''(q^{-1})}{B''(q^{-1})} y(t) - \frac{H''(q^{-1})}{B''(q^{-1})} r(t) + \frac{YD}{B''(q^{-1})} - d \quad (5.38)$$

(5.16)

con:

$$d = \frac{q^{k+1}F(q^{-1})}{B''(q^{-1})}$$

Desarrollando (5.38) se obtiene explícitamente el valor de la señal de control en el tiempo t :

$$\begin{aligned} u(t) &= \frac{1}{b} \left[\begin{array}{l} a_0 y(t) + a_1 y(t-1) + \dots + a_{n-1} y(t-(n-1)) - \\ - b_1 u(t-1) - b_2 u(t-2) - \dots - b_{l-1} u(t-l) \\ - h_0 r(t) - h_1 r(t-1) - \dots - h_{l-1} r(t-l) - d \end{array} \right] + \frac{YD}{b} \quad (5.39) \\ & \quad (5.17) \end{aligned}$$

CAPITULO 6

APLICACION DE UN CONTROLADOR AUTOAJUSTABLE
AL MODELO DEL COLECTOR SOLAR.

6.1 Introducción.

En este capítulo se aplica el controlador autoajustable deducido en el capítulo anterior al modelo matemático del colector solar.

Debido a la clara dependencia inversa del flujo másico (señal de control) con la temperatura de salida del fluido (respuesta del sistema), se hace un cambio de variable para la entrada (flujo másico) del sistema que represente este hecho en el controlador.

Se aplica el controlador tomando diferentes condiciones iniciales en cuanto a la manera como se inicia la identificación del controlador (esquema implícito de control).

Se inició la identificación de dos maneras diferentes:

- a) Al iniciarse la simulación del funcionamiento del colector se aplicó durante un intervalo de tiempo variable entre 30 y 60 minutos el control para estado estacionario deducido en el capítulo 3 esperándose que con esto la estimación de los parámetros del controlador convergiera rápidamente.
- b) Se inició la estimación aplicando durante un intervalo de tiempo variable entre 15 y 30 minutos una señal de control aleatoria con valores entre 0, 15, 30 y 45 kg/hr.

La aplicación del control siempre se hizo sobre el modelo del sistema en su evolución dinámica en un día promedio (igual que cuando se aplicó el control para estado estacionario, cap. 4) con:

$$T = 180^{\circ} \text{C}$$

$$v = 5 \text{ m/s}$$

para la radiación solar y la temperatura ambiente se tomaron sus valores en un día promedio (15), gráficas 4.9 y 4.10.

Los resultados presentados en este capítulo son una selección de un gran número de pruebas realizadas con el programa COLECT.FOR en las que se varió tanto el modo inicial de identificación como el orden del sistema a identificar.

De los resultados obtenidos se toma aquel que controló mejor al sistema y se compara con el resultado de aplicar a la planta el control estacionario (capítulo 4).

6.2 Un cambio de variable.

En el capítulo 5 se vió que el primer paso para la aplicación de un controlador autoajutable al modelo de una planta es suponer que esta está descrita por:

$$A(q^{-1})y(t) = q^{-k} B(q^{-1})u(t) + q^{-l} C(q^{-1})h(t) \quad (6.1)$$

donde

$y(t)$ salidas medidas (temp. de salida del fluido)

$u(t)$ entrada, señal de control (flujo másico)

$h(t)$ perturbación medible (radiación solar)

$e(t)$ ruido al sistema

En el colector solar es claro que la temperatura de salida del fluido de trabajo (aceite) no depende linealmente del flujo másico (señal de control) sino que existe una dependencia inversa entre estas dos variables. Si se aumenta el flujo másico la temperatura de salida disminuye y viceversa. Para la radiación no hay problema ya que a mayor radiación mayor es la temperatura de salida del aceite por lo que la dependencia lineal es correcta.

Debido a esto, en el algoritmo de control se utilizará:

$$\dot{m} = i / u(t) \quad (6.2)$$

donde

$u(t)$ es la señal calculada por el control

\dot{m} es la señal de control aplicada al sistema

Este hecho también se refleja en la fórmula de control en estado estacionario (capítulo 3):

$$\dot{m} = \frac{a \text{ alfa } 1}{C} \cdot \begin{bmatrix} R & -R \\ a & a \\ T & -T \\ d & i \end{bmatrix} \quad (6.3)$$

en la cual es clara la dependencia lineal con la radiación disponible y la dependencia inversa con la temperatura de salida del aceite T_d .

6.3 Aplicación del control al modelo del colector solar.

En esta sección se reportan los resultados obtenidos de la aplicación del controlador autoajustable deducido en el capítulo 5 al modelo del colector solar. Se escribe nuevamente el algoritmo recursivo de identificación utilizado recordando que se está dentro del esquema implícito de control, es decir, se identifican directamente los parámetros del controlador.

Las ecuaciones recursivas son:

$$M_{N+1} = P_{N+1} z' \begin{bmatrix} \text{alfa}^2 + z^2 \\ P_{N+1} z' \end{bmatrix}^{-1}$$

(5.40)

(5.21)

$$\overline{\text{TETA}}_{N+1} = \overline{\text{TETA}}_N + M \left[\begin{array}{c} y \\ N+1 \end{array} - z \overline{\text{TETA}}_N - b u(t-k-1) \right]$$

$$P_{N+1} = \begin{bmatrix} I \\ I \end{bmatrix} - M \begin{bmatrix} z \\ N+1 \end{bmatrix} P_N$$

En el capítulo 2 se presentó el modelo matemático del colector que se usaría como planta para la aplicación del control así como las condiciones con las que se utilizaría el modelo en las diferentes pruebas que se harían sobre este. Estas condiciones son las observadas en todas las pruebas que se presentan a continuación.

Durante la simulación y control del colector se observó que en muchas ocasiones el controlador mandaba cambios al flujo másico que en la práctica serían inaceptables debido a las limitantes físicas de los actuadores mecánicos (bombas) del sistema. Tratando de contemplar este hecho dentro de la simulación se decidió limitar los cambios del flujo másico en cada intervalo de muestreo a un máximo del 25% del valor en el intervalo anterior. Esto se observó en todas las pruebas realizadas.

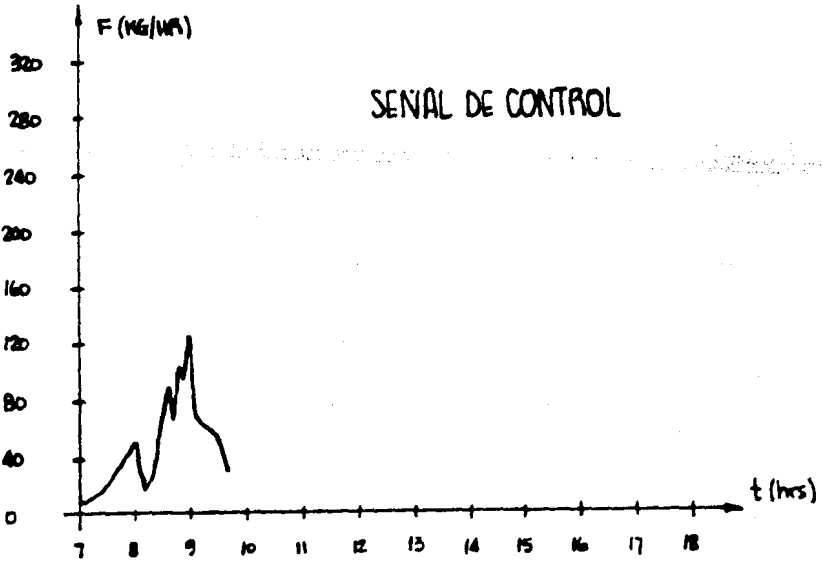
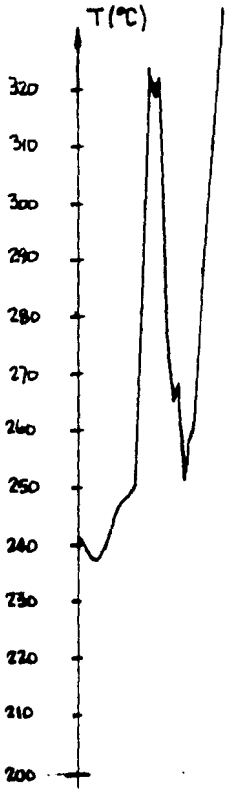
Dentro de las pruebas realizadas resultó que cuando se iniciaba la identificación aplicando durante un cierto intervalo de tiempo la señal de control para estado estacionario los parámetros del controlador divergían provocando que la temperatura de salida del aceite se "disparara" y llegara a valores inaceptables prácticamente. Los resultados de estas pruebas se presentan en las siguientes gráficas (1,2) de temperatura de salida vs. tiempo.

Cuando las pruebas de control se hicieron iniciando la simulación con una señal de control (flujo másico) aleatoria se observó que el controlador convergía teniendo una temperatura de salida del aceite más estable que en los casos anteriores. Los resultados de estas pruebas se pueden observar en las siguientes gráficas (3,4) de temperatura de salida vs. tiempo.

6.4 Comparación del control para estado estacionario con el controlador autosintonizable.

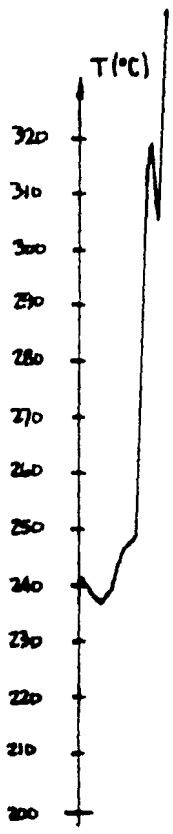
De los resultados anteriores es claro que el caso de la gráfica (6.3) es donde el controlador autosintonizable mantuvo al sistema más cerca de la temperatura de salida deseada (250 grados centígrados) en todo

ORDEN DEL SISTEMA = 2

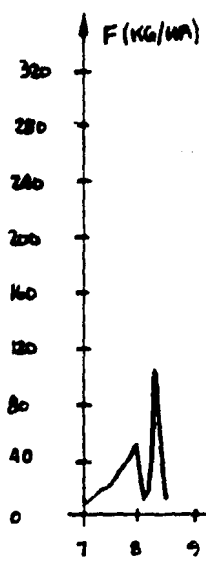


GRAFICA 1

ORDEN DEL SISTEMA = 3



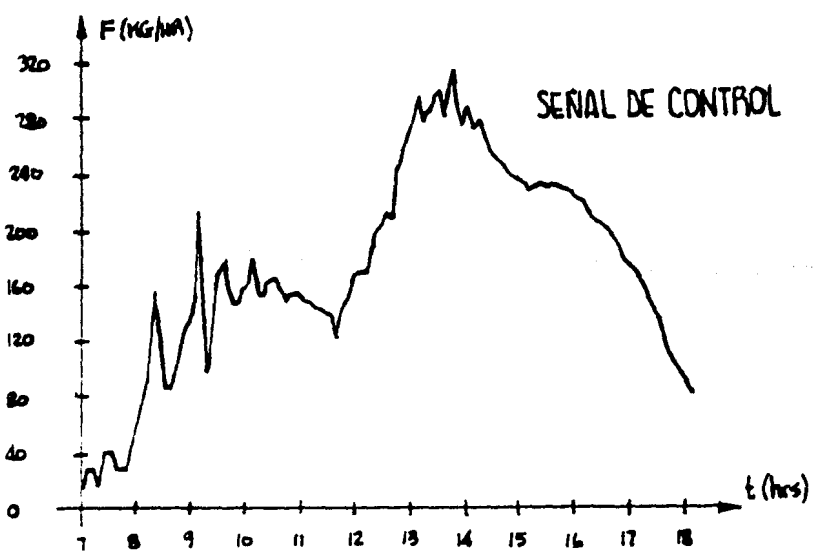
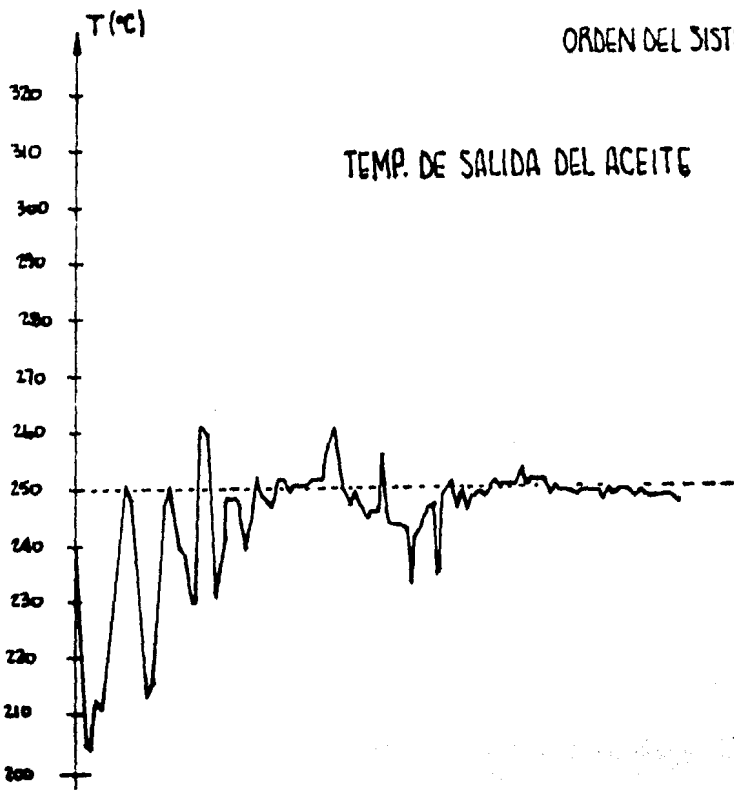
TEMP. DE SALIDA DEL ACEITE



SEÑAL DE CONTROL

GRAFICA 2

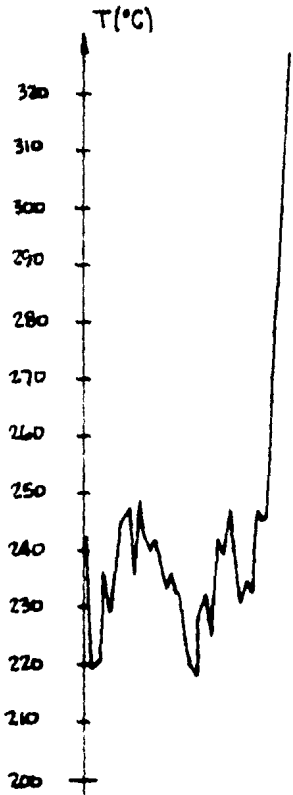
ORDEN DEL SISTEMA = 2



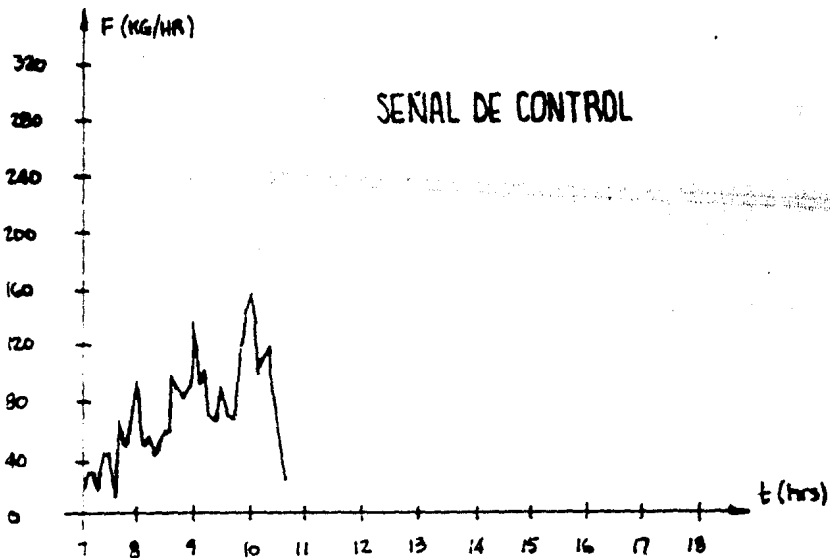
GRAFICA 3

ORDEN DEL SISTEMA = 3

TEMP. DE SALIDA DEL ACEITE



SEÑAL DE CONTROL



GRAFICA 4

Comparando la gráfica (6.3) con la gráfica (4.22C) obtenida mediante la aplicación del control para estado estacionario es claro que este último controla al sistema de una manera mucho más eficiente que en el caso del controlador autosintonizable.

Es debido a este resultado, y como ya antes se mencionó, a la simplicidad del control para estado estacionario, que se sugiere a este último como control para un colector solar en funcionamiento real.

En el siguiente capítulo se presentan las conclusiones generales de este trabajo así como los alcances y posibles continuaciones del mismo.

CAPITULO 7

CONCLUSIONES

Los objetivos planteados en el trabajo se cumplieron satisfactoriamente, siendo el resultado más importante el hecho de haberse encontrado y probado un control para la dinámica del funcionamiento de un colector solar, el control deducido para estado estacionario (cap. 4, graf. 4.22C).

La teoría de control está avanzando muy rápidamente y cada día aparecen nuevas técnicas y/o mejoras a las técnicas de control ya existentes que, aunadas a los avances tecnológicos en los equipos de cómputo y en la instrumentación de control presentan un amplio panorama y un gran número de alternativas para la simulación y control de procesos que de otra manera sería muy difícil lograr, por ejemplo, el control de sistemas de generación solar.

Aunque se han hecho modelos del sistema completo del generador solar mediante el acoplamiento de los modelos de los subsistemas que lo componen y se han realizado pruebas de control global del sistema, hasta ahora no se ha introducido en ninguna de estas un algoritmo de control local de los colectores, como los que trata este trabajo.

Una posible alternativa a la aplicación de un control global sobre el generador es intentar dentro de la operación real del generador, controlar la zona exclusiva de los colectores, de tal manera que el generador estuviera controlado 'por partes'.

Se sugiere que se aplique primero al control general de la fórmula deducida del comportamiento en estado estacionario, ya que su simplicidad puede facilitar su implementación dentro del contexto global del generador y realizar pruebas de simulación y control que permitan determinar su eficiencia en un modelo prototipo.

APENDICE 1

DESCRIPCION DE PROGRAMAS Y DIAGRAMA DE FLUJO

En este apéndice se presenta el diagrama de flujo del programa COLECT.FOR que utiliza el modelo matemático del colector (cap. 2) como planta para la aplicación de un controlador autoajustable. Antes de presentar el diagrama de flujo del programa se resume en seguida de manera general la operación de este.

El programa COLECT.FOR fué desarrollado para poder llevar a cabo la aplicación de un controlador autosintonizable sobre el modelo matemático de un colector solar tipo canal parabólica.

COLECT.FOR está basado principalmente en:

- a) Una subrutina de integración de propósito general desarrollada en el IIMAS de la UNAM en la que está basada la simulación del colector solar. Esta subrutina se llama AMGEAR e implementa los métodos de Adams y Gear para integrar un sistema de N ecuaciones diferenciales (modelo del colector). La definición de los coeficientes de las N ecuaciones diferenciales a integrar, que es en sí la definición del modelo del colector, se hace en una subrutina llamada F que fue desarrollada en este trabajo.
- b) Una subrutina llamada COMAUT desarrollada en el presente trabajo y que realiza la aplicación en sí del controlador autonsintonizable sobre el modelo del colector.

El funcionamiento general de COLECT.FOR es el siguiente:

Define e inicializa todas las variables usadas, tanto las que representan los parámetros físicos del colector tales como capacidades caloríficas, densidades, índices de absorción, etc., así como las variables utilizadas para la integración y control.

Acepta cambios de algunas de estas variables con el fin de probar el control en diferentes situaciones.

Para lograr una convergencia rápida del controlador, COLECT permite al usuario decidir además de un perfil inicial de temperaturas de los elementos del colector (cap.2), como iniciar la identificación,

si se muestrea durante un cierto intervalo de tiempo inicial usando como control la fórmula para estado estacionario o se inicia la identificación variando aleatoriamente los valores del flujo másico (señal de control) dentro de ciertos valores que en este trabajo se tomaron 0, 15, 30 y 45 kg/seg.

También se da la opción al usuario de limitar los cambios de la señal de control generada por el controlador, a cierto porcentaje del valor inmediato anterior. Esto se hace con el fin de 'acercar' más la simulación a una situación real en la que una bomba no puede cambiar el valor de bombeo a valores arbitrarios, además de procurar evitar posibles resonancias del sistema debido a cambios muy bruscos en la señal de control.

Una vez determinadas todas las condiciones de operación se inicia un loop de integración en el que el resultado en cada ciclo es la temperatura del aceite, tubo absorbedor y tubo envolvente en cada tramo del colector (cap. 2) en el instante t .

Antes de iniciar la integración en t al $t+h$ (h es el paso de integración en AMGEAR) se revisa si es necesario ajustar el paso h con el fin de 'caer' en un tiempo de muestreo.

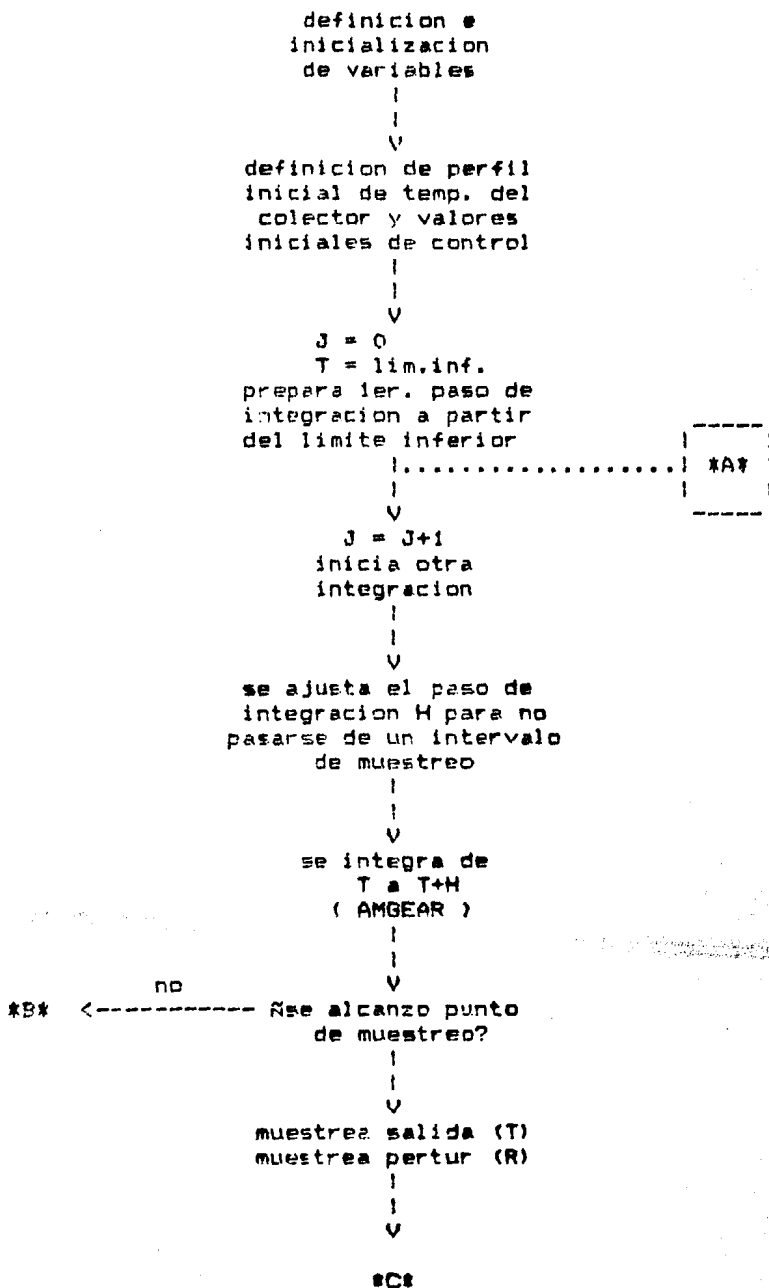
Si la integración de t a $t+h$ no se llevó a cabo satisfactoriamente COLECT reporta la falla y, si esta es recuperable realiza las operaciones necesarias de corrección y repite la integración, si la falla no es recuperable termina el proceso.

Si la integración se llevó a cabo bien y no se ha alcanzado un tiempo de muestreo se vuelve al inicio del ciclo de integración. Si un tiempo de muestreo ha sido alcanzado entra en operación la rutina de control y calcula el nuevo valor de la señal de control (flujo másico), se reportan los valores de la temperatura en el último tramo del aceite, absorbedor y envolvente en el tiempo t así como el valor de la señal de control, radiación incidente, temperatura ambiente y velocidad de viento, se 'recorren' los valores de entrada, salida y perturbación medible en las matrices necesarias dentro de la rutina de control y se inicia nuevamente el ciclo de integración.

Si al finalizar la integración se alcanzó el límite superior se abandona el ciclo de integración y se da por terminado el proceso.

En seguida se presenta el diagrama de flujo de COLECT.FDR.

DIABRAMA DE FLUJO DE COLECT.FOR



SC3



calcula control
(CONAUT)



T < tiempo con control
de inicio

si



calcula (aplica)
control de inicio

no



se controlan (limitan)
cambios en control

si



si el cambio rebaso
limites se reduce

no



recorre valores de
entrada, salida,
perturbacion



despliega
valores



#B*



¿se alcanzo limite
superior de integr?

si



FIN

no



¿termino bien la
integracion?

si



#A*

no



¿error recuperable?

si



#A*

no



FIN

APENDICE 2

IDENTIFICACION POR MINIMOS CUADRADOS

2.1 Formulación del problema de identificación.

Debido a la complejidad de las leyes físicas que por lo general gobiernan el comportamiento de un sistema (p.e. un colector solar), es necesario en muchas ocasiones estimar los parámetros del modelo matemático de este basándose en la información entrada-salida proporcionada por el funcionamiento mismo del sistema.

Es importante ante todo hacer una formulación clara del problema de la identificación. L.A. Zadeh en [] da la siguiente formulación del problema:

"La identificación es la determinación, en base a entradas y salidas, de un sistema dentro de una clase de sistemas, al cual la planta en estudio es equivalente."

Debido a que en el campo de la identificación muchas técnicas y métodos han sido analizados, cada día nuevos métodos se proponen (aunque muchos de ellos son similares), y el objetivo de este apéndice es solo presentar el método de identificación de los mínimos cuadrados, no se habla aquí de la posible clasificación ni del planteamiento de los diferentes métodos de identificación. Esto puede consultarse en una gran cantidad de bibliografía y artículos publicados. En particular K.J. Aström - P. Eykhoff [2] dan una vista global de lo hecho en el campo de la identificación y proporcionan un gran número de referencias en el tema.

Se tratará entonces directamente el método de identificación de los mínimos cuadrados.

2.2 Método de los mínimos cuadrados.

2.2.1 Introducción.

Los conceptos básicos de los métodos de mínimos cuadrados fueron establecidos a fines del siglo XVIII por el científico Friedrich Gauss, quien desde entonces les dió una aplicación práctica en sus cálculos astronómicos. El sugirió que los valores más apropiados de los parámetros buscados, pero desconocidos, eran los valores más probables, y, que el valor más probable de el parámetro desconocido sería aquel para el cual la suma de los cuadrados de las diferencias entre los valores observados y los calculados, multiplicados por números que miden el grado de precisión de la medida, es mínima.

Desde entonces el método de los mínimos cuadrados ha sido empleado exhaustivamente y ha alcanzado un alto grado de popularidad y perfección.

2.2.2 Solución no recursiva.

Supongase que se tiene un proceso de orden n , i.e., un proceso cuyo modelo matemático se puede representar por medio de un polinomio de grado n , discreto, invariante en el tiempo, lineal, de una entrada y una salida. Este proceso puede modelarse por medio de:

$$y(t) + a_1 y(t-1) + \dots + a_n y(t-n) = b_0 u(t-k) + b_1 u(t-k-1) + \dots + b_n u(t-k-n) \quad (2.1)$$

donde: $y(t)$ es la salida del proceso en el tiempo t
 $u(t)$ es la entrada al proceso en el tiempo t
 k es el tiempo muerto (retardo) del proceso

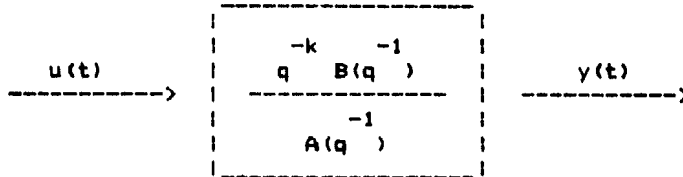
Considerando el operador q^{-1} tal que $q^{-1} y(t) = y(t-1)$ se reescribe 2.1 como:

$$A(q^{-1}) y(t) = q^{-k} B(q^{-1}) u(t) \quad (2.2)$$

con:

$$A(q^{-1}) = 1 + \sum_{i=1}^{N_a} a_i q^{-i} \quad ; \quad B(q^{-1}) = \sum_{i=0}^{N_b} b_i q^{-i}$$

en diagrama de bloques el proceso queda descrito por:



$$y(t) = \frac{-k \quad -1}{q \quad B(q^{-1})} u(t) - \frac{-1}{A(q^{-1})} u(t) \quad (2.3)$$

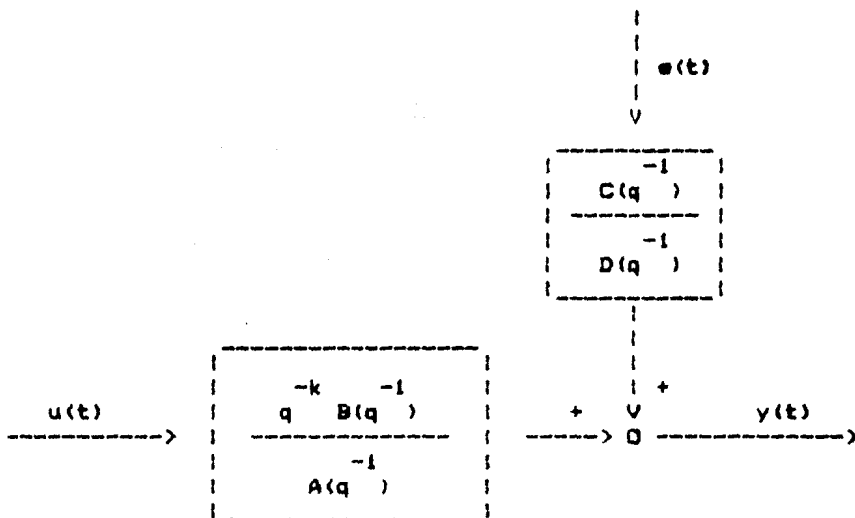
Si en el sistema descrito existen además perturbaciones aleatorias en forma aditiva, puede usarse el principio de superposición y considerar así una sola perturbación a la salida del sistema, teniendo entonces:

$$y(t) = \frac{-1}{B(q^{-1})} u(t-k) + v(t) - \frac{-1}{A(q^{-1})} u(t)$$

Si $v(t)$ es una señal estacionaria gaussiana con densidad espectral racional se considera que al sistema entra ruido blanco discreto $e(t)$ de media cero y varianza unitaria a través de un filtro:

$$\frac{-1}{D(q^{-1})} C(q^{-1})$$

como se muestra en la siguiente figura:



Renombrando los polinomios queda:

$$y(t) = \frac{-k \quad -1}{q \quad B(q^{-1})} u(t) + \frac{-1}{A(q^{-1})} \text{lam } C(q^{-1}) e(t) \quad (2.4)$$

El método de los mínimos cuadrados usa las entradas y salidas del sistema 2.4 para identificar los parámetros de un modelo de la forma:

$$\bar{A}(q^{-1}) y(t) = q^{-k} \bar{B}(q^{-1}) u(t) + \text{eps}(t) \quad (2.5)$$

donde: $\bar{A}(q^{-1})$ son los valores estimados de $A(q^{-1})$

$\bar{B}(q^{-1})$ son los valores estimados de $B(q^{-1})$

$\text{eps}(t)$ es el error llamado error de ecuación que minimiza el criterio:

$$J(\overline{\text{Teta}}) = \sum_{t=1}^N \text{eps}^2(t) \quad (2.6)$$

donde N es el número de observaciones y $\overline{\text{Teta}}$ el vector estimado de los parámetros definido como:

$$\overline{\text{Teta}}' = (\bar{a}_1, \bar{a}_2, \dots, \bar{a}_{na}, \bar{b}_o, \bar{b}_1, \dots, \bar{b}_{nb}) \quad (2.7)$$

Donde la notación $\overline{\text{Teta}}'$ significa el transpuesto del vector.

Hasta aquí el desarrollo ha sido independiente del polinomio

$$C(q^{-1})$$

cuando $C(q^{-1}) = 1$ (ver ec. 2.5) se tiene el método de los mínimos cuadrados simple y solo en este caso se puede demostrar que el estimado de los parámetros es no polarizado, i.e., la esperanza matemática del vector estimado

$$\overline{\text{Teta}}$$

es igual al valor real de los parámetros Teta, o sea que:

$$E(\overline{\text{Teta}}) = \text{Teta}$$

$$\overline{\text{Teta}}' = (\bar{a}_1, \bar{a}_2, \dots, \bar{a}_{na}, \bar{b}_o, \bar{b}_1, \dots, \bar{b}_{nb})$$

La razón principal de haber escogido el criterio 2.6 como criterio a minimizar es que el error $\text{eps}(t)$ es lineal en los parámetros

$$a_i \quad \text{y} \quad b_i$$

por lo que la función $J(\overline{\text{Teta}})$ es cuadrática en estos parámetros y por lo tanto es fácil encontrar su mínimo analíticamente.

Sin perder generalidad puede tomarse

$$n = \max\{n_a, n_b\}$$

y redefinir $\overline{\text{Teta}}$ y Teta como

$$\text{Teta}' = (a_1, a_2, \dots, a_n, b_0, b_1, \dots, b_n)$$

(2.8)

$$\overline{\text{Teta}}' = (\bar{a}_1, \bar{a}_2, \dots, \bar{a}_n, \bar{b}_0, \bar{b}_1, \dots, \bar{b}_n)$$

ya que basta hacer

$$a_i - (b_i) = 0$$

para toda

$$i > n \quad (n_a, n_b)$$

para tener la primera definición de los vectores Teta .

Para encontrar el mínimo de la función $J(\overline{\text{Teta}})$ se escribe la ecuación 2.5 como sigue:

(2.9)

$$y(t) = -a_1 y(t-1) - a_2 y(t-2) - \dots - a_n y(t-n) + b_0 u(t-k) + b_1 u(t-k-1) + \dots + b_n u(t-k-n) + \text{eps}(t)$$

se introduciendo la siguiente notación:

$$\bar{z}'_t = [-y(t-1), \dots, -y(t-n), u(t-k), u(t-k-1), \dots, u(t-k-n)]$$

2.9 queda:

$$y(t) = \bar{z}'_t \cdot \bar{Teta}_t + eps(t) \quad (2.10)$$

Para $t = 1, 2, \dots, N$ ($N =$ horizonte de observación) puede escribirse 2.10 en notación matricial como:

$$Y = Z \bar{Teta} + \bar{E} \quad (2.11)$$

con:

$$Y' = [y(1), y(2), \dots, y(N)]$$

$$E' = [eps(1), eps(2), \dots, eps(N)]$$

(2.11.a)

$$Z = \begin{bmatrix} \bar{z}'_1 \\ \bar{z}'_2 \\ \vdots \\ \bar{z}'_N \end{bmatrix} = \begin{bmatrix} -y(0) & -y(-1) & \dots & -y(-n) & u(1-k) & \dots & u(1-k-n) \\ \dots & \dots & \dots & \dots & \dots & \dots & \dots \\ -y(N-1) & -y(N-2) & \dots & -y(N-n) & u(n-k) & \dots & u(N-k-n) \end{bmatrix}$$

usando la ecuación 2.11 el criterio 2.6 queda como:

$$\text{SUMA}_{t=1}^N eps^2(t) = \bar{E}' \bar{E} = (Y - Z \bar{Teta})' (Y - Z \bar{Teta}) = J(\bar{Teta}) \quad (2.12)$$

De aquí es obvio que el valor de \bar{Teta} para el cual $J(\bar{Teta})$ es mínimo será aquel que cumple con:

$$\nabla J(\bar{Teta}) = 0 \quad (2.13)$$

Para encontrar este resultado analíticamente basta igualar a cero el gradiente de

$$J(\bar{Teta}) \text{ con respecto a } \bar{Teta}$$

o sea

$$\nabla J(\bar{Teta}) = 0$$

que se denotará simplemente como

$$\nabla J(\bar{Teta}) = \nabla (\bar{E} \cdot \bar{E}) = 0$$

Considerese la siguiente identidad vectorial

$$\nabla (\bar{A} \cdot \bar{B}) = \bar{A}_x (N_x \bar{B}) + \bar{B}_x (N_x \bar{A}) + (\bar{B} \cdot \nabla) \bar{A} + (\bar{A} \cdot \nabla) \bar{B}$$

de donde

$$\nabla (\bar{E} \cdot \bar{E}) = 2 \bar{E}_x (N_x \bar{E}) + 2 (\bar{E} \cdot \nabla) \bar{E}$$

$$\nabla (\bar{E} \cdot \bar{E}) = 0 \Rightarrow \bar{E}_x (N_x \bar{E}) = -(\bar{E} \cdot \nabla) \bar{E} \Rightarrow \bar{E} = 0 \quad (2.14)$$

ya que

$$\bar{E}_x (N_x \bar{E}) \text{ es perpendicular a } \bar{E}$$

y

$$(\bar{E} \cdot \nabla) \bar{E} \text{ es paralelo a } \bar{E}$$

$$\bar{E} = \bar{0} \quad \Rightarrow \quad Z \cdot \bar{Teta} = Y \quad (2.15)$$

como se esperaba.

Como en general Z no es una matriz cuadrada, es una matriz de $N \times M$ donde N es el número (horizonte) de observaciones y M el número de entradas y salidas consideradas (2.11.a), se multiplican ambos lados de 2.15 por Z' y suponiendo que $(Z'Z)$ es no singular se tiene finalmente que el estimado de los parámetros está dado por:

$$\bar{Teta} = (Z'Z)^{-1} Z' Y \quad (2.16)$$

que es la solución no recursiva del método de los mínimos cuadrados.

2.2.3 Solución recursiva.

Cuando se quiere identificar el sistema en tiempo real se tiene que el número N de renglones en la matriz Z se ve continuamente incrementado por las nuevas medidas y es claro que sería sumamente costoso repetir todos los cálculos mostrados en el punto anterior en cada intervalo de muestreo. Este hecho fue el que dió lugar a que se buscara una solución recursiva al método de mínimos cuadrados para reducir el número de operaciones y cálculos necesarios en la identificación.

Si N es el número de medidas que se tienen, entonces el estimado de los parámetros está dado por:

$$\bar{Teta}_N = (Z'_N Z_N)^{-1} Z'_N Y_N \quad (2.17)$$

con una medida más, el nuevo estimado de los parámetros será:

$$\bar{Teta}_{N+1} = (Z'_{N+1} Z_{N+1})^{-1} Z'_{N+1} Y_{N+1} \quad (2.17)$$

con

$$Z_{N+1} = \begin{bmatrix} Z \\ N \\ \dots \\ z \\ N+1 \end{bmatrix}$$

$$Y_{N+1} = \begin{bmatrix} Y \\ N \\ \dots \\ y \\ N+1 \end{bmatrix}$$

donde y_{N+1} es la nueva salida (escalar)

$$z_{N+1} = [y(N+1), y(N), y(N-1), \dots, u(N+1-k), \dots, u(N+1-k-n)]$$

como puede deducirse de la ecuaciones 2.11.a.

Se puede escribir:

$$\begin{pmatrix} Z' & Z \\ N+1 & N+1 \end{pmatrix} = \begin{pmatrix} Z' & z' \\ N & N+1 \end{pmatrix} \begin{bmatrix} Z \\ N \\ \dots \\ z \\ N+1 \end{bmatrix} = Z' Z_{N+1} + z' z_{N+1}$$

$$\begin{pmatrix} Z' & Y \\ N+1 & N+1 \end{pmatrix} = \begin{pmatrix} Z' & z' \\ N & N+1 \end{pmatrix} \begin{bmatrix} Y \\ N \\ \dots \\ y \\ N+1 \end{bmatrix} = Z' Y_{N+1} + z' y_{N+1}$$

y finalmente 2.10 queda como:

$$\text{Teta}_{N+1} = \begin{bmatrix} Z' Z + z' z \\ N \quad N \quad N+1 \quad N+1 \end{bmatrix}^{-1} \begin{bmatrix} Z' Y + z' y \\ N \quad N \quad N+1 \quad N+1 \end{bmatrix} \quad (2.19)$$

usando la siguiente identidad del cálculo matricial:

$$[A + B \cdot C \cdot D]^{-1} = A^{-1} - A^{-1} \cdot B \cdot (C + D \cdot A \cdot B)^{-1} \cdot D \cdot A^{-1}$$

con

$$A = \begin{pmatrix} Z' Z \\ N \quad N \end{pmatrix}; \quad B = \begin{pmatrix} z' \\ N+1 \end{pmatrix}; \quad C = I; \quad D = \begin{pmatrix} z \\ N+1 \end{pmatrix}$$

se tiene que:

$$\text{Teta}_{N+1} = \begin{bmatrix} (Z' Z)^{-1} - (Z' Z)^{-1} \cdot z' \cdot [1 + z (Z' Z)^{-1} z']^{-1} \cdot z \\ N \quad N \quad N+1 \quad N+1 \quad N \quad N \quad N+1 \quad N+1 \end{bmatrix} \begin{bmatrix} Z' Y + z' y \\ N \quad N \quad N+1 \quad N+1 \end{bmatrix} \quad (2.20)$$

y tomando

$$a = [1 + z (Z' Z)^{-1} z']^{-1} \quad (\text{escalar})$$

queda que

$$\text{Teta}_{N+1} = \begin{bmatrix} (Z' Z)^{-1} - (Z' Z)^{-1} \cdot z' \cdot a \cdot z (Z' Z)^{-1} \\ N \quad N \quad N+1 \quad N+1 \quad N \quad N \quad N+1 \quad N+1 \end{bmatrix} \begin{bmatrix} Z' Y + z' y \\ N \quad N \quad N+1 \quad N+1 \end{bmatrix}$$

$$\begin{aligned} \overline{\text{Teta}}_{N+1} &= \begin{pmatrix} Z' Z \\ N \quad N \end{pmatrix}^{-1} Z' Y + \begin{pmatrix} Z' Z \\ N \quad N \end{pmatrix}^{-1} z' y_{N+1} - \\ &- a \begin{pmatrix} Z' Z \\ N \quad N \end{pmatrix}^{-1} z' z_{N+1} \begin{pmatrix} Z' Z \\ N \quad N \end{pmatrix}^{-1} (z' y_{N+1} + Z' Y) \quad (2.21) \end{aligned}$$

sustituyendo 2.17 en 2.21 resulta

$$\begin{aligned} \overline{\text{Teta}}_{N+1} &= \overline{\text{Teta}}_N + \begin{pmatrix} Z' Z \\ N \quad N \end{pmatrix}^{-1} z' \cdot \\ &\left[\begin{array}{c} y_{N+1} \\ \left[\begin{array}{c} 1 - a z_{N+1} \begin{pmatrix} Z' Z \\ N \quad N \end{pmatrix}^{-1} z'_{N+1} \\ - a z_{N+1} \overline{\text{Teta}}_N \end{array} \right] \end{array} \right] \end{aligned}$$

$$\begin{aligned} \overline{\text{Teta}}_{N+1} &= \overline{\text{Teta}}_N + \begin{pmatrix} Z' Z \\ N \quad N \end{pmatrix}^{-1} z' \cdot \\ &\left[\begin{array}{c} y_{N+1} \\ \left[\begin{array}{c} 1 - a (a^{-1} - 1) \\ - a z_{N+1} \overline{\text{Teta}}_N \end{array} \right] \end{array} \right] \end{aligned}$$

$$\overline{\text{Teta}}_{N+1} = \overline{\text{Teta}}_N + \begin{pmatrix} Z' Z \\ N \quad N \end{pmatrix}^{-1} z' a \left[\begin{array}{c} y_{N+1} - z_{N+1} \overline{\text{Teta}}_N \end{array} \right]$$

y tomando

$$\begin{aligned} M_{N+1} &= \begin{pmatrix} Z' Z \\ N \quad N \end{pmatrix}^{-1} z' \left[\begin{array}{c} 1 + z_{N+1} \begin{pmatrix} Z' Z \\ N \quad N \end{pmatrix}^{-1} z'_{N+1} \end{array} \right]^{-1} \quad (2.22) \\ &= \begin{pmatrix} Z' Z \\ N \quad N \end{pmatrix}^{-1} z' a \end{aligned}$$

se tiene

$$\begin{array}{c} \text{Teta} \\ \text{N+1} \end{array} = \begin{array}{c} \text{Teta} \\ \text{N} \end{array} + M \begin{array}{c} \left[\begin{array}{cc} y & -z \\ \text{N+1} & \text{N+1} \end{array} \right] \begin{array}{c} \text{Teta} \\ \text{N} \end{array} \end{array} \quad (2.23)$$

Astrom y Eykhoff muestran que (12)

$$P = \alpha \begin{array}{c} \text{Z} \\ \text{N} \end{array} \begin{array}{c} \text{Z}' \\ \text{N} \end{array} \begin{array}{c} \text{Z} \\ \text{N} \end{array}^{-1}$$

es la matriz que representa la covarianza de los parámetros estimados, con α el llamado factor de olvido ($0 < \alpha \leq 1$) tal que:

$\alpha = 1 \Rightarrow$ igual peso a todas las medidas

$\alpha < 1 \Rightarrow$ mayor peso a las medidas actuales y menor a las pasadas

Reescribiendo M en términos de P se tiene

$$M = P \begin{array}{c} \text{z} \\ \text{N+1} \end{array} \begin{array}{c} \left[\begin{array}{cc} \alpha \text{Z}' \text{Z} & \\ & \text{z}' \text{z} \end{array} \right] \begin{array}{c} \text{z} \\ \text{N+1} \end{array} \end{array}^{-1} \begin{array}{c} \text{z}' \\ \text{N+1} \end{array} \begin{array}{c} \text{P} \\ \text{N} \end{array} \begin{array}{c} \text{z}' \\ \text{N+1} \end{array} \quad (2.24)$$

La matriz P se puede calcular también recursivamente:

$$P = \alpha \begin{array}{c} \text{Z} \\ \text{N+1} \end{array} \begin{array}{c} \text{Z}' \\ \text{N+1} \end{array} \begin{array}{c} \text{Z} \\ \text{N+1} \end{array}^{-1} = \alpha \begin{array}{c} \text{Z} \\ \text{N} \end{array} \begin{array}{c} \text{Z}' \\ \text{N} \end{array} \begin{array}{c} \text{Z} \\ \text{N} \end{array}^{-1} + \begin{array}{c} \text{z}' \\ \text{N+1} \end{array} \begin{array}{c} \text{z} \\ \text{N+1} \end{array}^{-1}$$

usando otra vez la identidad matricial mencionada anteriormente, con:

$$A = \begin{array}{c} \text{Z}' \\ \text{N} \end{array} \begin{array}{c} \text{Z} \\ \text{N} \end{array}^{-1} ; \quad B = \begin{array}{c} \text{z}' \\ \text{N+1} \end{array} ; \quad C = I ; \quad D = \begin{array}{c} \text{z} \\ \text{N+1} \end{array}$$

se tiene que P_{N+1} está dada por:

$$P_{N+1} = \alpha \begin{bmatrix} 2 & & & & \\ & (Z' Z)_{N N}^{-1} & & & \\ & & - & & \\ & & & (Z' Z)_{N N}^{-1} & \\ & & & & z'_{N+1} (1 + z_{N+1} (Z' Z)_{N N}^{-1} z'_{N+1})^{-1} \end{bmatrix}$$

$$z_{N+1} (Z' Z)_{N N}^{-1}$$

sustituyendo 2.24 en esta última ecuación se tiene:

$$P_{N+1} = P_N - M_{N+1} z_{N+1} P_N$$

$$P_{N+1} = \begin{bmatrix} I & & \\ & I & \\ & & I - M_{N+1} z_{N+1} \end{bmatrix} P_N \tag{2.25}$$

Así finalmente se tiene la solución recursiva del método de identificación por mínimos cuadrados dada por las ecuaciones 2.23, 2.24 y 2.25 que se agrupan a continuación:

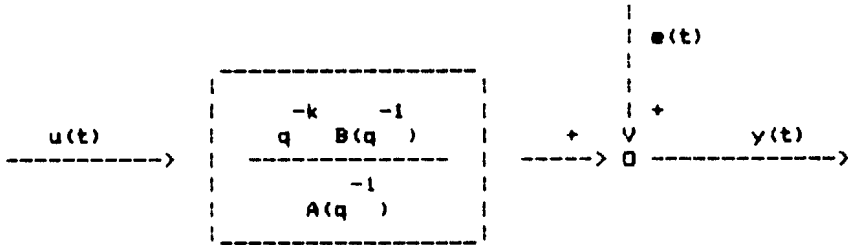
$$\hat{Teta}_{N+1} = \hat{Teta}_N + M_{N+1} \begin{bmatrix} y_{N+1} - z_{N+1} \hat{Teta}_N \end{bmatrix}$$

$$M_{N+1} = P_N z'_{N+1} \begin{bmatrix} \alpha^{-2} + z_{N+1} P_N z'_{N+1} \end{bmatrix}^{-1} \tag{2.26}$$

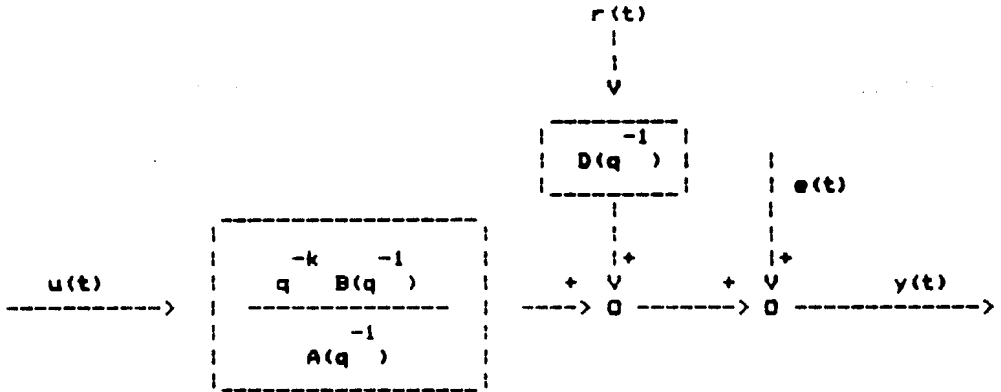
$$P_{N+1} = \begin{bmatrix} I & & \\ & I & \\ & & I - M_{N+1} z_{N+1} \end{bmatrix} P_N$$

2.2.4. Perturbaciones medibles.

Es común que algunas de las perturbaciones sobre el sistema sean medibles, es decir, en lugar de tener un esquema de la forma:



se tiene:



donde $r(t)$ es una perturbación medible sobre el sistema. Siendo este el caso puede hacerse el mismo tratamiento que en los puntos anteriores para la identificación de los parámetros del sistema, pero ahora teniendo un modelo de la siguiente forma:

$$\bar{A}(q^{-1}) y(t) = \frac{-k -1}{q} \bar{B}(q^{-1}) u(t) + \frac{-k -1}{q} \bar{D}(q^{-1}) r(t) + \text{eps}(t) \quad (2.27)$$

con

$$\bar{A}(q^{-1}) = 1 + \text{SUMA}_{i=1}^N (a_i q^{-i}) \quad ; \quad \bar{B}(q^{-1}) = \text{SUMA}_{i=0}^N (b_i q^{-i})$$

$$\bar{D}(q^{-1}) = 1 + \sum_{i=1}^N (d_i q^{-i})$$

El resultado de este tratamiento es un conjunto de ecuaciones idénticas a las ecuaciones 2.26 pero con:

$$\bar{Teta}' = (\bar{a}_1, \bar{a}_2, \dots, \bar{a}_n, \bar{b}_1, \bar{b}_2, \dots, \bar{b}_n, \bar{d}_1, \bar{d}_2, \dots, \bar{d}_n)$$

$$\bar{z}'_t = [-y(t-1), \dots, -y(t-n), u(t-k), \dots, u(t-k-n), r(t-k), \dots, r(t-k-n)]$$

En este trabajo se considera un modelo del tipo 2.27 en el que se tiene

- y(t) salida del proceso en el tiempo t
(temp. de salida del aceite en el colector)
- u(t) entrada al sistema en el tiempo t
(flujo másico del aceite a través del colector)
(senal de control)
- r(t) perturbación medible al sistema en el tiempo t
(radiación solar incidente en el tiempo t)

Como se ve en el capítulo 4 y como se comprobó en las distintas pruebas con el sistema, la variable atmosférica más significativa en el sistema es la radiación solar, razón por la cual se tomó esta como única perturbación medible. La influencia de la velocidad de viento, temperatura ambiente, etc. se incluye en el ruido $\epsilon(t)$.

REFERENCIAS

- (1) Almanza R. et al, "PROPUESTA PARA GENERAR ENERGIA ELECTRICA Y MECANICA USANDO ENERGIA SOLAR POR PROCESOS FOTOTERMOMECAVICOS A POTENCIAS DE 35 KW.", informe del IIUNAM (8054), México, mayo 1978, 150 pp.
- (2) Almanza R. et al, "SISTEMA GENERADOR SOLAR DE 35 KW INFORME DE ACTIVIDADES DE OCTUBRE A DICIEMBRE DE 1978 Y DESCRIPCION DEL SISTEMA.", informe del IIUNAM (8187), elaborado para Comisión Nacional de Energéticos, México, diciembre 1978, 131 pp.
- (3) Espana M. et al, "MODELO MATEMATICO GLOBAL Y SIMULACION DEL GENERADOR SOLAR", informe del IIUNAM (1121-2110), elaborado para SEPAFIN, México, agosto 1982, 51 pp.
- (4) Espana M., "SISTEMA GENERADOR SOLAR; SUBSISTEMA DE CONTROL. SIMULACION Y CONTROL DEL CICLO DE GENERACION DE VAPOR.", informe del IIUNAM (130), elaborado para SEPAFIN, México, marzo 1980, 106 pp.
- (5) Alonso A. et al, "SUBSISTEMA DE CONTROL DEL GENERADOR SOLAR. MODELOS Y SIMULACION DE UN ABSORVEDOR.", informe del IIUNAM (9133), elaborado para SEPAFIN, México, febrero 1981, 125 pp.
- (6) Espana M. et al, "SUBSISTEMA DE CONTROL; ANALISIS DE LAS SOLUCIONES DE ESTADO ESTACIONARIO DE LAS ECUACIONES DE LOS TUBOS ABSORVEDORES.", informe del IIUNAM (1121-2110), México, agosto 1982, 52 pp.
- (7) Espana M. et al, "MATHEMATICAL MODELS FOR A SOLAR GENERATING SYSTEM.", Departamento de Automatización IIUNAM, México.
- (8) Espana M. et al, "ESTUDIO DE REGULADORES Y CONTROLADORES AUTOSINTONIZABLES.", informe del IIUNAM (1103), México, agosto 1981, 164 pp.
- (9) Centro de Investigación y de Estudios Avanzados del IPN, Departamento de Ingeniería Eléctrica. "IDENTIFICACION", México, 119 pp.
- (10) Saucedo S., "REGULADORES AUTOAJUSTABLES DE VARIANZA MINIMA.", Centro de Investigación y de Estudios Avanzados del IPN, Departamento de Ingeniería Eléctrica, Tesis, México, 1979, 122 pp.
- (11) Strejc V., "LEAST SQUARES PARAMETER ESTIMATION.", Automatica, Vol. 16, pp. 535-550, 1980, Gran Bretana.
- (12) Astrom K. - Eykhoff P., "SYSTEM IDENTIFICATION, A SURVEY.", Automatica, Vol. 7, pp. 123-162, 1971, Gran Bretana.

- (13) Astrom K., "MAXIMUM LIKELIHOOD AND PREDICTION ERROR METHOD.", *Automatica*, Vol. 16, pp. 551-574, 1980, Gran Bretana.
- (14) Astrom K., "THEORY AND APPLICATION OF SELF TUNING REGULATORS.", *Automatica*, Vol. 13, pp. 457-476, 1980, Gran Bretana.
- (15) De Buen L., "MEDICIONES DE INSOLACION", informe del IIUNAM, México, 57 pp.
- (16) Referencia para calculo de la temperatura de cielo.
- (17) Alonso A. et al, "SUBSISTEMA DE CONTROL DEL GENERADOR SOLAR. MODELOS Y SIMULACION DE UN ABSORVEDOR.", informe del IIUNAM (9133), elaborado para SEPAFIN, México, febrero 1981, 125 pp.
- (18) Neuman J.L.- Alonso A.C., "RASTREADOR SOLAR ELECTRONICO", informe del IIUNAM, elaborado para SEPAFIN.
- (19) Astrom K., "INTRODUCTION TO STOCHASTIC CONTROL THEORY.", Academic Press 1970, 300 pp.
QA 402.3 A 87
- (20) Eykhoff, "SYSTEM IDENTIFICATION.", Wiley.
QA 402 E 93
- (21) L.A. Zadeh, "FROM CIRCUIT THEORY TO SYSTEM THEORY.", *Proc. IRE* 50, 1962.
- (22) Katsuhiko Ogata, "MODERN CONTROL ENGINEERING.", Prentice Hall, 836 pp.